

รหัสโครงการ SUT7-704-55-12-36



## รายงานการวิจัย

การประเมินผลกระทบด้านการจราจรของการออกแบบ

ช่องเก็บค่าผ่านทางระบบอัตโนมัติของประเทศไทย

(The Traffic Evaluation of Electronic Toll Collection System

Design in Thailand)

ได้รับทุนอุดหนุนการวิจัยจาก  
มหาวิทยาลัยเทคโนโลยีสุรนารี

ผลงานวิจัยเป็นความรับผิดชอบของหัวหน้าโครงการวิจัยแต่เพียงผู้เดียว

รหัสโครงการ SUT7-704-55-12-36



## รายงานการวิจัย

# การประเมินผลกระทบด้านการจราจรของการออกแบบ ช่องเก็บค่าผ่านทางระบบอัตโนมัติของประเทศไทย (The Traffic Evaluation of Electronic Toll Collection System Design in Thailand)

คณะกรรมการ

อาจารย์กานุจันทร์ ฤทธิ์  
สาขาวิชากรรมศาสนสั่ง สำนักวิชากรรมศาสตร์  
มหาวิทยาลัยเทคโนโลยีสุรนารี

ผู้ร่วมวิจัย

นายสันติวงศ์ ฤทธิ์  
นางสาวรุ่งอรุณ บุญถาน  
รองศาสตราจารย์ ดร. วัฒนาวงศ์ รัตนวราห

ได้รับทุนอุดหนุนการวิจัยจากมหาวิทยาลัยเทคโนโลยีสุรนารี ปีงบประมาณ พ.ศ. 2555  
ผลงานวิจัยเป็นความรับผิดชอบของหัวหน้าโครงการวิจัยแต่เพียงผู้เดียว

สิงหาคม 2556

## กิตติกรรมประกาศ

การวิจัยนี้ได้รับทุนอุดหนุนการวิจัยจากมหาวิทยาลัยเทคโนโลยีสุรนารี ปีงบประมาณ 2555 คณะผู้วิจัยขอขอบพระคุณ ผู้ว่าราชการท่างพิเศษแห่งประเทศไทย ที่อนุเคราะห์เจ้าหน้าที่ในการอำนวย ความสะดวกในการสำรวจข้อมูลภาคสนาม รวมทั้งคณะทำงานของโครงการวิจัยนี้ทุกคนที่ช่วยให้ โครงการวิจัยนี้สำเร็จลุล่วง

ประโยชน์ของผลงานวิจัยจะเกิดขึ้นเมื่อได้ หากผู้ที่เกี่ยวข้องมีได้นำไปสู่การปฏิบัติ คณะผู้วิจัยจึงขอ มองคุณความดี หรือประโยชน์ที่เกิดขึ้นจากผลงานวิจัยนี้ แด่ผู้ที่มีใจรักและต้องการพัฒนาระบบการ คมนาคมขนส่งของประเทศไทยมีความประสิทธิภาพและยั่งยืนสืบไป

## บทคัดย่อ

การวิจัยนี้ได้ศึกษาพฤติกรรมของผู้ใช้บริการทางพิเศษในการตัดสินใจเลือกชำระเงินค่าผ่านทางด้วยช่องเก็บเงินอัตโนมัติ (ETC) รวมถึงศึกษาการกำหนดจำนวนช่องเก็บเงิน และการจัดวางตำแหน่งของช่องเก็บเงิน ให้เกิดประสิทธิภาพสูงสุดจากการกำหนดสถานการณ์ต่างๆ จาก 3 ตัวแปรหลัก ได้แก่ ตัวแปรสัดส่วนการใช้ระบบ ETC ตัวแปรการจัดตำแหน่งค่าน้ำเงิน และตัวแปรปริมาณจราจร รวมสถานการณ์จำลองทั้งสิ้น 126 สถานการณ์ จากผลการศึกษาพบว่าในปี พ.ศ. 2556 มีผู้ใช้ระบบ ETC เป็นสัดส่วนร้อยละ 22 ของผู้ใช้ระบบทางด่วนทั้งหมด และจากการเพิ่มจำนวนช่องเก็บเงินแบบอัตโนมัติ จำนวน 1 ช่อง จะทำให้ความล่าช้าเฉลี่ยในการเดินทางมีการลดลงภายใต้ปริมาณรถที่ใช้ระบบ ETC ไม่เกิน 1,200 กันต่อชั่วโมง และการเพิ่มช่องเก็บเงินอัตโนมัติ จำนวน 2 ช่อง จะทำให้รองรับปริมาณจราจรของรถที่ใช้ระบบ ETC ในช่วง 1,200 ถึง 1,800 กันต่อชั่วโมง นอกจากนี้ในส่วนของการกำหนดตำแหน่งช่องเก็บค่าผ่านทางอัตโนมัติพบว่าการเพิ่มจำนวนช่องเก็บค่าผ่านทางอัตโนมัติเพียง 1 ช่อง เมื่อกำหนดให้ตำแหน่งของช่อง ETC อยู่ด้านขวา จะทำให้ความล่าช้าเฉลี่ยในการเดินทางต่ำสุด และเมื่อมีการเพิ่มช่อง ETC เป็น 2 ช่อง นั้น การกำหนดให้ช่อง ETC อยู่ช่องขวา สุด 1 ช่องและช่องกลาง 1 ช่อง จะทำให้มีความล่าช้าเฉลี่ยในการเดินทางผ่านค่าน้ำเงินมีค่าน้อยกว่าการกำหนดตำแหน่งรูปแบบอื่น ผลการศึกษานี้ยังแสดงถึงศักยภาพในการประยุกต์ใช้แบบจำลอง จราจรระดับจุลภาคเพื่อวิเคราะห์ความเหมาะสมในการออกแบบช่องเก็บค่าผ่านทางกับพื้นที่ศึกษา นอกจากนี้ยังสามารถนำผลการศึกษาไปใช้วิเคราะห์กับพื้นที่ใกล้เคียงและมีสัดส่วนปริมาณจราจรใกล้เคียงกับพื้นที่ศึกษา ซึ่งสามารถใช้เป็นข้อมูลประกอบในการจัดตำแหน่งช่องเก็บค่าผ่านทางต่อไป

**คำสำคัญ:** ช่องเก็บค่าผ่านทางอัตโนมัติ, ความล่าช้าเฉลี่ยและความถี่, การจัดรูปแบบช่องเก็บค่าผ่านทาง

## ABSTRACT

This research explored behaviors of toll way users that impact their decision to use the Electronic Toll Collection System (ETC). It also went on to explore and evaluated the efficiency of toll plaza in terms of number of ETC booths in toll plaza and its lane location. The three main parameters selected for the scenarios analyzed were (1) the varying ration of ETC enabled users (2) the varying locations of the dedicated ETC lane and (3) total vehicle volumes at the toll plaza. There were a total of 126 scenarios analyzed. Researched data indicated that in B.E.2556, the percentage of ETC user from the total toll user is 22%. It was found that the delay at the payment booth was reduced by increasing the ETC booth by 1 more lane under the condition that the volume of ETC users passing through the plaza less than 1,200 vehicles/hour. Meanwhile, increasing the ETC lanes by 2 lanes can accommodate an increased traffic volume to around 1,200 to 1,800 vehicles/hour. Other than that, in terms of the location of ETC lane, it was found that if for one ETC lane-plazas, installing the ETC lane at the far right is the best alternative. For toll plazas with 2 ETC lanes, the best layout is to have 1 lane in the middle and 1 lane at the far right. This layout shows the least delay when compared to other layouts. Furthermore, the results from this research showed that microscopic traffic models have potential for further applications and use in designing toll plaza lanes. Other than that, the results can also be used to analyze the system of the nearby area with similar traffic volume and can be used for further design improvements.

Key words: The Electronic Toll Collection System (ETC), Average Queuing Delay, Toll Plaza Configuration

## สารบัญ

|  | หน้า      |
|--|-----------|
| กิตติกรรมประกาศ                              | ก         |
| บทคัดย่อภาษาไทย                              | ข         |
| บทคัดย่อภาษาอังกฤษ                           | ค         |
| <b>สารบัญ</b>                                | <b>ง</b>  |
| สารบัญตาราง                                  | น         |
| สารบัญภาพ                                    | ฉ         |
| <b>บทที่ 1 บทนำ</b>                          | <b>1</b>  |
| 1.1 ความเป็นมาและความสำคัญของปัจจุหา         | 1         |
| 1.2 วัตถุประสงค์ของโครงการวิจัย              | 2         |
| 1.3 ขอบเขตของโครงการวิจัย                    | 2         |
| 1.4 ประโยชน์ที่คาดว่าจะได้รับ                | 3         |
| 1.5 วิธีดำเนินการวิจัย                       | 3         |
| <b>บทที่ 2 ทฤษฎีและงานวิจัยที่เกี่ยวข้อง</b> | <b>4</b>  |
| 2.1 แนวคิดระบบปฏิวัตกรรมจราจร                | 4         |
| 2.2 ระบบเก็บค่าผ่านทาง                       | 7         |
| 2.3 ทฤษฎีแคลวออย                             | 10        |
| 2.4 รูปแบบแคลวออยของระบบเก็บค่าผ่านทาง       | 16        |
| 2.5 กระบวนการจำลองแบบปัจจุหา                 | 17        |
| 2.6 การจำลองสภาพการจราจร                     | 18        |
| 2.7 โปรแกรม Aimsun NG                        | 22        |
| 2.8 งานวิจัยที่เกี่ยวข้อง                    | 24        |
| <b>บทที่ 3 วิธีดำเนินงานวิจัย</b>            | <b>27</b> |
| 3.1 พื้นที่ศึกษา                             | 27        |
| 3.2 การเก็บรวบรวมข้อมูล                      | 29        |
| 3.3 การพัฒนาแบบจำลอง                         | 31        |
| 3.4 การตรวจสอบและปรับเทียบแบบจำลอง           | 34        |
| 3.5 การจำลองสถานการณ์                        | 38        |

## สารบัญ (ต่อ)

|   | หน้า      |
|---|-----------|
| <b>บทที่ 4 ผลการศึกษา</b>   | <b>43</b> |
| 4.1 ผลการศึกษาจากการจำลองสถานการณ์ที่ปริมาณจราจร 1,000 คันต่อชั่วโมง    | 43        |
| 4.2 ผลการศึกษาจากการจำลองสถานการณ์ที่ปริมาณจราจร 2,000 คันต่อชั่วโมง    | 45        |
| 4.3 ผลการศึกษาจากการจำลองสถานการณ์ที่ปริมาณจราจร 3,000 คันต่อชั่วโมง    | 47        |
| <b>บทที่ 5 สรุปผลการศึกษา</b>   | <b>50</b> |
| 5.1 พฤติกรรมของผู้ใช้ทางด่วน ณ ด่านเก็บเงินบางขุนเทียน ขาออกในปัจจุบัน  | 50        |
| 5.2 การสร้างแบบจำลองคอมพิวเตอร์   | 50        |
| 5.3 การประเมินผลการเพิ่มจำนวนและการกำหนดตำแหน่งของด่านเก็บเงินอัตโนมัติ | 51        |
| <b>บรรณานุกรม</b>   | <b>54</b> |
| <b>ประวัติผู้วิจัย</b>  | <b>56</b> |

## สารบัญตาราง

|   | หน้า |
|---|------|
| ตารางที่ 2.1 สัญลักษณ์ที่ใช้ในรูปแบบของระบบถ่วงอย   | 15   |
| ตารางที่ 2.2 ความสามารถในการใช้เทคโนโลยีสารสนเทศในด้านการจราจรและ<br>ขนส่งของโปรแกรมต่างๆ                                       | 21   |
| ตารางที่ 3.1 สัดส่วนประเภทรถที่ผ่านด่านเก็บค่าผ่านทางในช่วงเวลาเร่งด่วน<br>ของวันที่ 13-15 มกราคม 2556                          | 31   |
| ตารางที่ 3.2 ผลการวิเคราะห์อัตราการให้บริการช่องเก็บเงินระบบ Manual แต่ละช่อง<br>เก็บค่าผ่านทาง                                 | 32   |
| ตารางที่ 3.3 เปรียบเทียบผลการปรับแก้แบบจำลองโดยกำหนดค่าระยะห่างระหว่างรถ<br>0.7 วินาทีและค่าระยะเวลาตอบสนอง 1.2 วินาที ตามลำดับ | 37   |
| ตารางที่ 3.4 แสดงการกำหนดสถานการณ์การจัดตำแหน่งช่องเก็บเงิน   | 40   |
| ตารางที่ 3.5 รูปแบบสถานการณ์ที่ใช้ในการประเมินประสิทธิภาพการจัดช่องเก็บค่าผ่านทาง   | 41   |

## สารบัญภาพ

|  | หน้า |
|--|------|
| รูปที่ 1.1 พื้นที่ศึกษา ด้านเก็บเงินบางชุมชนเที่ยน ทางหลวงพิเศษหมายเลข 37  | 2    |
| รูปที่ 2.1 ความสัมพันธ์ระหว่าง (ก) ความเร็ว-ปริมาณจราจร (ข) ปริมาณจราจร-ความหนาแน่น และ (ค) ความเร็ว-ความหนาแน่น | 7    |
| รูปที่ 2.2 บริเวณพื้นที่ด้านเก็บค่าผ่านทาง   | 8    |
| รูปที่ 2.3 ระบบเก็บค่าผ่านทางด้วยเงินสด  | 9    |
| รูปที่ 2.4 ระบบเก็บค่าผ่านทางอัตโนมัติ   | 10   |
| รูปที่ 2.5 ระบบที่มีหน่วยเคลวอย หนึ่งหน่วยให้บริการ  | 13   |
| รูปที่ 2.6 ระบบที่มีหน่วยให้บริการหลากหลายช่องแบบบานาน แต่มีเคลวอยเดียว  | 13   |
| รูปที่ 2.7 ระบบที่มีหน่วยให้บริการมากกว่าหนึ่ง และมีเคลวอยหลายเคลว   | 13   |
| รูปที่ 2.8 ระบบที่มีหนึ่งเคลวอยหลายชั้นตอนรับบริการแบบอนุกรม   | 14   |
| รูปที่ 3.1 พื้นที่ศึกษาด้านเก็บเงินบางชุมชนเที่ยน ทางหลวงพิเศษหมายเลข 37   | 28   |
| รูปที่ 3.2 สภาพการจราจรบริเวณด้านเก็บเงินบางชุมชนเที่ยนทางออก 3  | 28   |
| รูปที่ 3.3 ตำแหน่งและจำนวนของช่องเก็บค่าผ่านทางแต่ละประเภทในปัจจุบัน   | 29   |
| รูปที่ 3.4 ปริมาณจราจรายวันที่ผ่านด้านเก็บเงินบางชุมชนเที่ยนทางออก 3<br>ช่วงวันที่ 13-19 มกราคม 2556             | 30   |
| รูปที่ 3.5 ปริมาณจราจรายชั่วโมงที่ผ่านด้านเก็บเงินบางชุมชนเที่ยนทางออก 3<br>ช่วงวันที่ 13-19 มกราคม 2556         | 30   |
| รูปที่ 4.1 เปรียบเทียบความล่าช้าในการเดินทางกับสัดส่วนผู้ใช้งานระบบ ETC<br>ในช่วงปริมาณจราจ 1,000 กันต่อชั่วโมง  | 43   |
| รูปที่ 4.2 แสดงตัวอย่างสภาพจราจรบริเวณด้านเก็บค่าผ่านทาง กรณีมีปริมาณจราจ<br>1,000 กันต่อชั่วโมง                 | 44   |
| รูปที่ 4.3 เปรียบเทียบความล่าช้าในการเดินทางกับสัดส่วนผู้ใช้งานระบบ ETC<br>ในช่วงปริมาณจราจ 2,000 กันต่อชั่วโมง  | 45   |
| รูปที่ 4.4 แสดงตัวอย่างสภาพจราจรบริเวณด้านเก็บค่าผ่านทาง กรณีมีปริมาณจราจ<br>2,000 กันต่อชั่วโมง                 | 46   |

## สารบัญภาพ

|  | หน้า |
|--|------|
| รูปที่ 4.5 เปรียบเทียบความล่าช้าในการเดินทางกับสัดส่วนผู้ใช้งานระบบ ETC<br>ในช่วงปริมาณจราจร 3,000 คันต่อชั่วโมง | 47   |
| รูปที่ 4.6 แสดงตัวอย่างสภาพจราจรบริเวณด้านเก็บค่าผ่านทาง กรณีมีปริมาณจราจร<br>2,000 คันต่อชั่วโมง                | 48   |

# บทที่ 1

## บทนำ

### 1.1 ความเป็นมาและความสำคัญของปัญหา

สภาพการจราจรติดขัดในกรุงเทพมหานครนั้น เป็นปัญหาหลักที่ประชาชนล้วนต้องการให้ภาครัฐดำเนินการแก้ไข ซึ่งรัฐบาลได้ให้ความสำคัญในการพัฒนาระบบนส่งมวลชน อาทิ รถไฟฟ้ามหานคร รถไฟ BTS และรถโดยสาร BRT แต่ก็ยังไม่เพียงพอต่อความต้องการและครอบคลุมพื้นที่ในการเดินทางของประชาชนผู้อยู่อาศัยในเขตกรุงเทพมหานครและปริมณฑล ซึ่งทำให้การเดินทางจากเมืองรอบนอกยังใช้การเดินทางด้วยรถชนิดส่วนตัวเป็นรูปแบบการเดินทางหลัก โดยการเดินทางนี้จะครอบคลุมทั้งโครงข่ายถนนของกรุงเทพมหานคร ถนนวงแหวนรอบนอก และโครงข่ายทางด่วนของการทางพิเศษแห่งประเทศไทย ปัญหานี้จึงเป็นภาระหนักด่านเก็บค่าผ่านทางทั้งขาเข้า และขาออกทางพิเศษ เพื่อรอชำระเงินและรับเงินทอนค่าผ่านทาง เป็นต้นเหตุที่ทำให้เกิด quo Vadis ระหว่างกระบวนการจราจรบนถนนที่เชื่อมกับทางพิเศษนี้ หน่วยงานที่รับผิดชอบโดยตรงได้พยายามนำเทคโนโลยีของการจัดเก็บค่าผ่านทางอัตโนมัติ (Electronic Toll Collection System) มาใช้แทนการจัดเก็บค่าผ่านทางด้วยพนักงาน (Manual Toll Collection System) วิถีทั้งมีการเพิ่มจำนวนช่องเก็บเงินให้มากขึ้น แต่ก็ยังไม่สามารถลดปัญหาการติดขัดบริเวณหน้าด่านเก็บเงินได้อย่างมีประสิทธิภาพ

การกำหนดจำนวนช่องเก็บเงิน และการจัดวางตำแหน่งของช่องเก็บเงินทั้ง 2 ระบบ ให้มีความเหมาะสม และเกิดประสิทธิภาพสูงสุดนั้น จำเป็นต้องได้รับการศึกษาทั้งในด้านพฤติกรรมของผู้ใช้บริการทางพิเศษ ในการตัดสินใจเลือกชำระเงินค่าผ่านทางด้วยช่องเก็บเงินอัตโนมัติ เพื่อคาดการณ์ผลกระทบที่เกิดขึ้นจากการปรับเปลี่ยนการให้บริการ ทั้งในด้านของผลกระทบทางการจราจร ความยาวและค่าใช้จ่ายที่ลดลง ความคุ้มค่าทางเศรษฐศาสตร์ และผลกระทบทางลั่นแวดล้อมจากการลดการสื่อสารที่มีน้ำหนักของรถที่เข้าใช้ทาง การลดความพิษทางอากาศจากการเผาไหม้ของเครื่องยนต์บริเวณหน้าด่าน ซึ่งการวิจัยครั้งนี้ ต้องการชี้ให้เห็นถึงผลกระทบที่จะเปลี่ยนแปลงไปจากการปรับเปลี่ยนลักษณะการให้บริการของ การเพิ่มจำนวนช่องเก็บเงิน และการจัดวางตำแหน่งของช่องเก็บเงิน ให้มีความสอดคล้องกับสภาพ และพฤติกรรมของผู้ใช้บริการทางพิเศษ

## 1.2 วัตถุประสงค์ของโครงการวิจัย

1.2.1 เพื่อศึกษาพัฒนาระบบของผู้ใช้บริการทางพิเศษ ในการตัดสินใจเลือกชำระเงินค่าผ่านทางด้วยช่องเก็บเงินอัตโนมัติ (ETC)

1.2.2 เพื่อสร้างแบบจำลองด้วยคอมพิวเตอร์แสดงสภาพการจราจรบริเวณหน้าช่องเก็บเงินค่าผ่านทาง เพื่อศึกษาความยาวแควนอย ที่แปรผันตามจำนวนและตำแหน่งช่องเก็บเงินค่าผ่านทางที่ออกแบบ ภายใต้ข้อจำกัดทางด้านราคาภูมิศาสตร์ของทาง

## 1.3 ขอบเขตของโครงการวิจัย

การวิจัยนี้ได้มุ่งเน้นการศึกษาการกำหนดจำนวนช่องเก็บเงิน และการจัดวางตำแหน่งของช่องเก็บเงิน ให้มีความเหมาะสม และเกิดประสิทธิภาพสูงสุด โดยเลือกศึกษาด้านเก็บเงินที่มีปัญหาสภาพจราจร คิดขึ้นในปัจจุบัน จึงกำหนดให้ด้านเก็บเงิน บางบุนเทียน ข้ามออก ของทางด่วนพิเศษหมายเลข 37 ช่วง บางพลี-สุขสวัสดิ์ (รูปที่ 1) เป็นกรณีศึกษา เนื่องจากเป็นเส้นทางสำคัญในการกระจายสินค้าไปยังภาคใต้ของประเทศไทย และยังคงเกิดสภาพการจราจรติดขัดขึ้น แม้ว่าจะมีการติดตั้งช่องเก็บเงินค่าผ่านทางอัตโนมัติ ร่วมกับช่องเก็บเงินโดยพนักงาน รวมทั้งข้อจำกัดทางด้านพื้นที่ในการเพิ่มจำนวนช่องเก็บเงินให้สอดคล้องกับสภาพจราจรในอนาคต



รูปที่ 1 พื้นที่ศึกษา ด้านเก็บเงินบางบุนเทียน ทางหลวงพิเศษหมายเลข 37

## 1.4 ประโยชน์ที่คาดว่าจะได้รับ

ประโยชน์ที่คาดว่าจะได้รับจากการนิวัฒน์เพื่อให้หน่วยงานที่เกี่ยวข้อง อาทิ กรมทางหลวง และการทางพิเศษ สามารถนำโปรแกรมคอมพิวเตอร์ที่ได้มาประยุกต์ใช้เพื่อจัดทำแผนฯและจำนวนของจุดเก็บค่าผ่านทางพิเศษ เพื่อลดความยาวของแฉวรถที่รอจ่ายเงินบริเวณหน้าจุดเก็บเงินของทางหลวงพิเศษ

## 1.5 วิธีดำเนินการวิจัย

วิธีการดำเนินการวิจัยสามารถจัดแบ่งกระบวนการศึกษาได้ 7 ขั้นตอน ได้แก่

1.5.1 ศึกษาและรวบรวมผลงานวิจัยที่เกี่ยวข้องกับการวิเคราะห์ปัญหาเรื่องแฉวค่ายของ การให้บริการช่องชำระเงินค่าผ่านทาง ทั้งในประเทศและต่างประเทศ

1.5.2 ทำการศึกษาลักษณะทางกายภาพของบริเวณหน้าด่านเก็บเงินค่าผ่านทาง และคุณลักษณะต่างๆ ที่เกี่ยวข้องกับการให้บริการ

1.5.3 ศึกษาพฤติกรรม การแจกแจง ลักษณะของผู้เข้าใช้บริการ ประเภทของรถ สัดส่วน และลักษณะของyanพาหนะ ที่ใช้บริการในปัจจุบัน

1.5.4 การสร้างแบบจำลองทางคณิตศาสตร์ เพื่อใช้วิเคราะห์ความสามารถในการรองรับปริมาณผู้ใช้บริการของด่านเก็บค่าผ่านทาง ที่แปรผันตามการออกแบบจำนวนช่องชำระเงินค่าผ่านทาง และการกำหนดตำแหน่งของชนิดตู้ที่ให้บริการ ทั้งในระบบ Manual และ ระบบ ETC

1.5.5 พัฒนาแบบจำลองคอมพิวเตอร์ (Computer Model) ให้สามารถวิเคราะห์ผลได้ สอดคล้องกับแบบจำลองทางคณิตศาสตร์

1.5.6 วิเคราะห์ผลกระทบทางด้านการจราจร ของการปรับเปลี่ยนช่องชำระเงินค่าผ่านทาง จากระบบ Manual อีกครั้งเดียว เป็นการใช้ระบบ ETC ร่วมกับ ระบบ Manual และกำหนดเป็นจำนวนช่องให้บริการและผังการวางตำแหน่งของช่องให้บริการที่มีประสิทธิภาพ โดยเน้นที่การลดระยะเวลา รอคาย เพื่อให้แฉวค่ายสั้นที่สุด

1.5.7 สรุปผลลัพธ์และเขียนรายงานฉบับสมบูรณ์ เพื่อเผยแพร่ไปยังหน่วยงานที่เกี่ยวข้อง และตีพิมพ์วารสารทางวิชาการ

## บทที่ 2

### ทฤษฎีและงานวิจัยที่เกี่ยวข้อง

ในบทนี้จะกล่าวถึงการศึกษาประเด็นต่างๆ ที่เกี่ยวข้องกับการประเมินผลกระทบด้านการจราจรของการออกแบบช่องเก็บค่าผ่านทางระบบอัตโนมัติของประเทศไทย ซึ่งประกอบด้วยการศึกษาถึงแนวคิดระบบวิศวกรรมจราจร ระบบเก็บค่าผ่านทาง ทฤษฎีแคลคูลัส รูปแบบแคลคูลัสของระบบเก็บค่าผ่านทาง กระบวนการใช้แบบจำลองแก้ปัญหา การจำลองสภาพการจราจร โปรแกรม Aimsun NG และงานวิจัยที่เกี่ยวข้อง โดยมีรายละเอียดการศึกษาในแต่ละหัวข้อดังนี้

#### 2.1 แนวคิดระบบวิศวกรรมจราจร (Traffic System Concepts)

ในการศึกษาและวิเคราะห์การเคลื่อนตัวของกระแสจราจรนั้น จำเป็นต้องเข้าใจลักษณะพื้นฐานของสภาพการจราจร ซึ่งสามารถทำได้โดยกำหนดตัวแปรที่เหมาะสมที่สามารถใช้อธิบายลักษณะพื้นฐานของการเคลื่อนของกลุ่มယอดยานเหล่านั้น ตัวแปรสำคัญที่นิยมใช้บ่งบอกลักษณะของกระแสจราจร ได้แก่ ปริมาณจราจรหรืออัตราการไหล (Traffic volume or Flow) ความเร็ว (Speed) และเวลาในการเดินทาง (Travel time) ความหนาแน่น (Density) และการครอบครองพื้นที่ (Occupancy) ระยะห่าง (Spacing) และช่วงห่าง (Headway)

โดยตัวแปรสำคัญในการวิเคราะห์ในระดับมหภาค (Macroscopic parameters) ได้แก่ ปริมาณจราจร และอัตราการไหล ความเร็ว และความหนาแน่น สำหรับตัวแปรที่ใช้วิเคราะห์ในระดับจุลภาค (Microscopic parameters) ได้แก่ ความเร็วของယอดยานแต่ละคัน ระยะห่าง และช่วงห่าง (Gerlough & Huber, 1976)

- ปริมาณจราจรหรืออัตราการไหล (Traffic volume or Flow) หมายถึง จำนวนรถที่ผ่านถนนช่วงใดช่วงหนึ่งในช่วงเวลาหนึ่ง มีหน่วยเป็น คัน/ชม. ใช้สัญลักษณ์คือ  $q$

- ระยะช่วงห่างรถนัต (Headway) หมายถึง ค่าระยะเวลาหรือระยะเวลาที่ระหว่างรถ 2 คัน ที่เคลื่อนที่ไปในช่องทางเดียวกัน การกำหนดค่า Headway กระทำได้ 2 อย่าง คือ

ก. ใช้ชั้นเวลา (Time Headway) ใช้วัดเวลาของรถ 2 คัน โดยนับเวลาเมื่อส่วนหน้าของรถคันแรกผ่านจุดที่กำหนดจนถึงเมื่อส่วนหน้าของรถคันต่อมาผ่านจุดๆ นั้น ใช้สัญลักษณ์คือ  $h_t$

๗. ใช้วิธีนับระยะทาง (Space Headway) คือระยะทางระหว่างส่วนหน้าของรถคันแรกกับส่วนหน้าของรถคันที่แล่นตามมา ใช้สัญลักษณ์คือ  $h_d$

- ความหนาแน่นของการจราจร (Density) หมายถึง การนับจำนวนยานพาหนะต่อความยาวของถนนช่วงใดช่วงหนึ่ง มีหน่วยเป็น คัน/ช่องจราจร/กม. ใช้สัญลักษณ์คือ  $k$

- ความเร็ว (Speed) คือ อัตราการเคลื่อนที่ในหน่วยระยะทางต่อเวลา หรือคือส่วนกลับของเวลาที่ขวดยานใช้ในการเคลื่อนที่ในระยะทางที่กำหนด คุณด้วยระยะทางนั้น ในกระแสจราจร ယวดยานแต่ละคันจะวิ่งด้วยความเร็วที่แตกต่างกัน การอธิบายคุณสมบัติความเร็วของกระแสจราจรจึงใช้ลักษณะการกระจายตัวของความเร็วของယวดยานในกระแสจราจรในการอธิบายคุณสมบัติดังกล่าว จำเป็นต้องใช้ค่าความเร็วเฉลี่ยเป็นตัวแทนความเร็วของယวดยานทั้งหมดในกระแสจราจร สำหรับอธิบายลักษณะของกระแสจราจรนั้น โดยความเร็วเฉลี่ยสามารถคำนวณหาได้ 2 วิธี และให้ค่าที่แตกต่างกัน ได้แก่

- Time mean speed (TMS) คือ ค่าเฉลี่ยความเร็วของယวดยานทั้งหมดที่วิ่งผ่านตำแหน่งใดๆ บนถนนหรือช่องจราจรในช่วงเวลาที่กำหนด มีหน่วยเป็น กิโลเมตรต่อชั่วโมง ใช้สัญลักษณ์คือ  $U_t$
- Space mean speed (SMS) คือ ค่าเฉลี่ยความเร็วของယวดยานทั้งหมดที่ครอบคลุมช่วงถนนที่พิจารณาในช่วงเวลาที่กำหนด มีหน่วยเป็น กิโลเมตรต่อชั่วโมง ใช้สัญลักษณ์คือ  $U_s$

- เวลาในการเดินทาง (Travel Time) คือ เวลาทั้งหมดที่ขวดยานใช้ในการเดินทางในช่วงถนน หรือระยะทางที่กำหนด ขณะที่ เวลารถวิ่ง (Running time) คือ เวลาทั้งหมดเฉพาะช่วงที่รถวิ่งที่ใช้ในการเดินทางในช่วงถนนหรือระยะทางที่กำหนด ความแตกต่างกันระหว่างเวลาทั้งสองประเภทนี้คือ กรณีเวลารถวิ่ง จะไม่นำความล่าช้าที่เกิดจากการหยุดรถ (Stopped delays) มาพิจารณาเป็นเวลาที่ใช้ในการเดินทาง ขณะที่เวลาในการเดินทาง จะนำความล่าช้าดังกล่าวมาพิจารณาร่วมด้วย ดังนั้น ความเร็วเดินทางเฉลี่ย จะอ้างอิงกับเวลาในการเดินทางเฉลี่ย และความเร็วรถวิ่งเฉลี่ย จะอ้างอิงกับเวลารถวิ่งเฉลี่ย

- เวลาเฉลี่ยเวลาในการเดินทาง (Average Travel Time) คือ ค่าผลรวมของเวลาการเดินทางของรถแต่ละคันหารด้วยจำนวนรถ

- ความล่าช้าในการเดินทาง (Travel Time Delay) คือ เวลาทั้งหมดที่สูญเสียไปจากการเดินทางโดยรถชนต์ ที่อยู่นอกเหนือการควบคุมของผู้ขับขี่ ซึ่งทำให้เกิดความล่าช้าจากการหยุดรถ (Stopped delays) ในช่วงถนนหรือระยะทางที่กำหนด ของรถแต่ละคัน โดยคำนวณได้จาก ความ

แตกต่างระหว่างเวลาในการเดินทางที่เกิดขึ้นจริงกับเวลาในการเดินทางในสภาพกระแสการจราจรที่ไม่แออัด มีหน่วยเป็น วินาที/กัน

- ความล่าช้าเฉลี่ยในการเดินทาง (Average Travel Time Delay) คือ ค่าผักร่วมของความล่าช้าในการเดินทางของรถแต่ละคันหารด้วยจำนวนรถ ในช่วงถนนหรือระยะทางที่กำหนด มีหน่วยเป็น วินาที

- การไหลแบบคอกขาด (Bottleneck) เป็นช่วงของถนนที่มีลักษณะการบีบอัดความจุปริมาณจราจรซึ่งมักเกิดจากช่วงถนนที่มีการลดจำนวนช่องจราจร เช่น บริเวณที่เป็นสะพาน หรืออุโมงค์

- ช่องจราจรปรับเปลี่ยนทิศทาง (Reverse Lane) คือ ช่องจราจรที่สามารถปรับเปลี่ยนทิศทางได้ ส่วนมากเป็นช่องจราจรที่ติดกับช่องจราจรที่สวนทิศทางกัน มักใช้กับการแก้ปัญหาจราจรในช่วงโถงเร่งด่วน โดยปรับทิศทางช่องจราจรไปตามทิศทางที่มีปริมาณจราจรมากกว่าเพื่อช่วยเพิ่มความจุของถนน ในการระบายรถในช่วงโถงเร่งด่วน

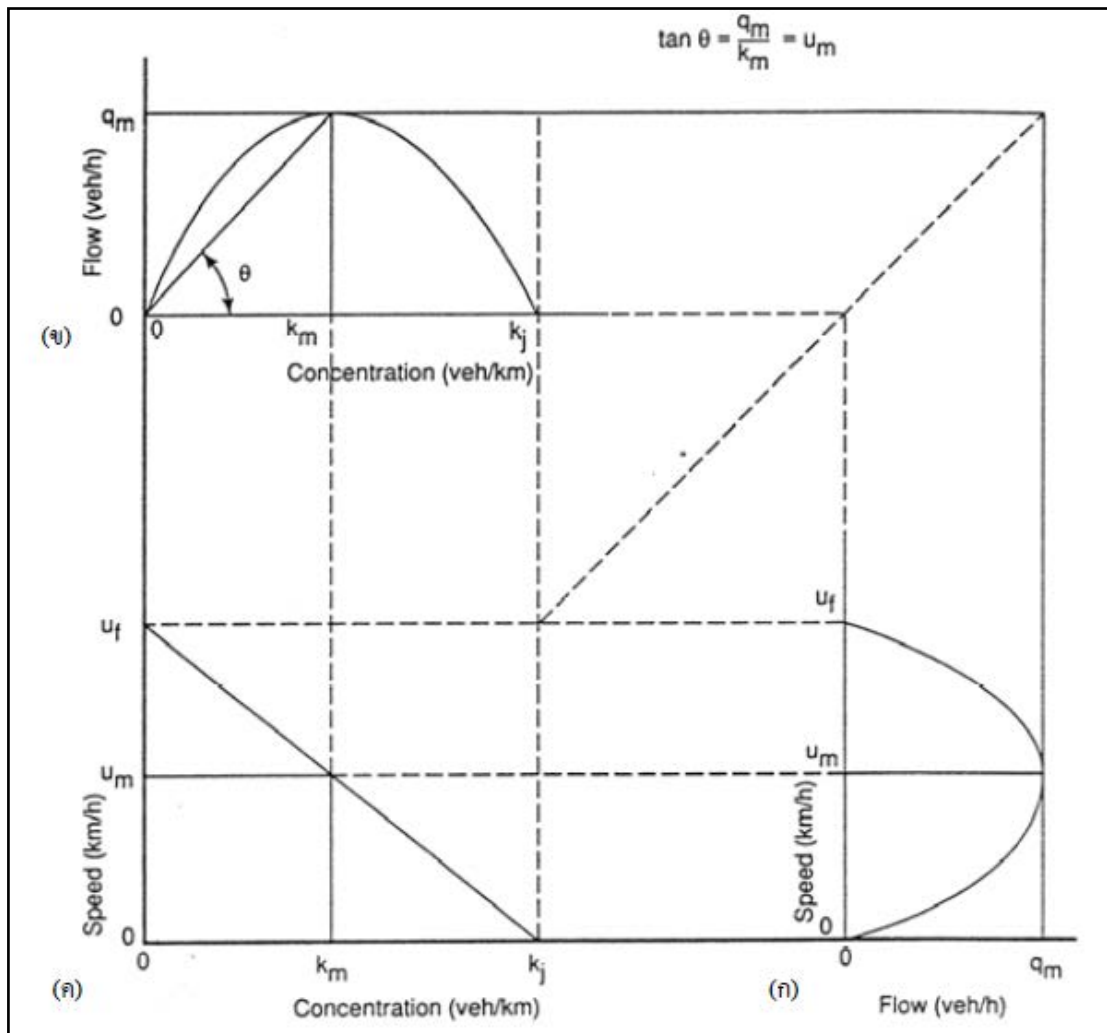
ความสัมพันธ์พื้นฐานของกระแสจราจร ตัวแปรที่มีความสัมพันธ์กันในการจราจรคือ ปริมาณจราจร (Volume) ความเร็ว (Speed) ความหนาแน่น (Density) โดยมีสมการคือ  $q = uk$

ความสัมพันธ์ระหว่างความเร็วและปริมาณจราจร (Volume) ภายใต้สภาพการไหลที่ไม่มีการขัดจังหวะจากปัจจัยนอก อันได้แก่ ทางแยก ป้ายจราจร สัญญาณไฟจราจร ที่มาควบคุมการไหล ของการจราจร ซึ่งจะพบว่าความเร็วมีค่าลดลงเมื่อปริมาณจราจรหรือการไหลที่ค่าเพิ่มขึ้น ความสัมพันธ์นี้จะเป็นจริงไปจนกระทั่งถึงจุดหนึ่งซึ่งปริมาณจราจรมีการไหลมีค่ามากที่สุด หลังจากนั้นทั้งความเร็วและการไหลจะลดลงเหลือเพียงความหนาแน่นเท่านั้นที่ยังคงเพิ่มขึ้น ความสัมพันธ์นี้จะแตกต่างกันสำหรับถนนต่าง ๆ ที่ไม่เหมือนกัน

ความสัมพันธ์ระหว่างปริมาณจราจรกับความหนาแน่น โดยทั่วไปเมื่อปริมาณจราจรหรือการไหลเพิ่มขึ้นความหนาแน่นก็จะเพิ่มไปด้วยจนกระทั่งถึงจุดความหนาแน่นวิกฤต (Critical Density) หรือการไหลสูงสุด หลังจากจุดนี้ไปแล้วปริมาณจราจรหรือการไหลจะลดลงถึงแม้ว่าความหนาแน่นจะยังคงเพิ่มขึ้นต่อไปอีก จุดที่ไม่มีการไหลของจราจรต่อไปแล้วจะเป็นจุดแสดงความหนาแน่นสูงสุดซึ่งเรียกว่าความหนาแน่นแออัด (Jam density) ความชันของเส้นตรงที่ลากเชื่อมจากจุดเริ่มต้นไปยังจุดใด ๆ บนกราฟเส้นโค้ง ความเร็วเฉลี่ยจากช่วงห่าง (Space mean speed) ที่ปริมาณของจราจร ณ จุดนั้น

ความสัมพันธ์ระหว่างความเร็วกับความหนาแน่น ตามปกติความเร็วจะลดลงเมื่อความหนาแน่นเพิ่มขึ้นจนกระทั่งความเร็วของจราจรเข้าใกล้ศูนย์ที่ความหนาแน่นแออัดมากถึง ทั้งนี้

ความสัมพันธ์ของปริมาณจราจร ความเร็ว และความหนาแน่นของกระแสน้ำท่าทาง สามารถแสดง  
ความสัมพันธ์ ดังรูปที่ 2.1



รูปที่ 2.1 ความสัมพันธ์ระหว่าง (ก) ความเร็ว-ปริมาณจราจร (ข) ปริมาณจราจร-ความหนาแน่น

และ (ค) ความเร็ว-ความหนาแน่น

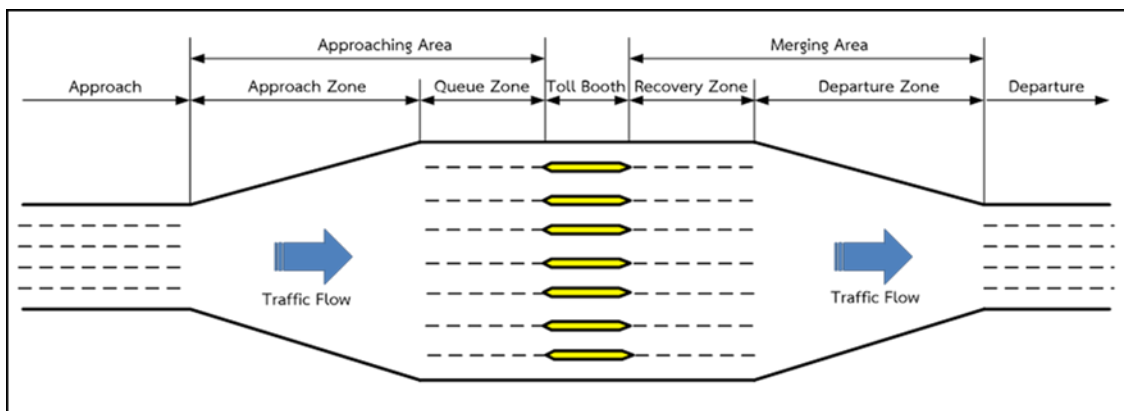
ที่มา: ดัดแปลงจาก May, 1990

## 2.2 ระบบเก็บค่าผ่านทาง

ค่าณเก็บค่าผ่านทาง คือ พื้นที่สำหรับเก็บค่าธรรมเนียมในการผ่านทางสำหรับถนนที่ต้องการ  
เก็บค่าธรรมเนียมจากผู้ใช้ทาง ซึ่งส่วนใหญ่จะเป็นถนนที่มีการควบคุมทางเข้า-ออก มีมาตรฐานการ  
ออกแบบชั้นทางพิเศษ และมีสิ่งอำนวยความสะดวกทางถนนเพื่อให้ผู้ใช้ทางสามารถเดินทาง

ได้สະគັກແລະປລອດກັບ ທີ່ນີ້ລັກຍະນະຂອງດ່ານເກີນຄ່າຜ່ານທາງຍັງມີຫລາຍປະເທດ ຕາມລັກຍະນະການໃໝ່ບົກລາຍການທີ່ແຕກຕ່າງກັນ ໂດຍເວລາໃນການໃໝ່ບົກລາຍການຍັງມີຄວາມແຕກຕ່າງກັນ ເນື່ອຈາກຫລາຍປ່ອງຈີຍ ເຊັ່ນ ປ່ອງຈີຍທາງດ້ານພັນການເກີນຄ່າຜ່ານທາງ ປ່ອງຈີຍທາງດ້ານສະພາວຳກາສ ປ່ອງຈີຍທາງດ້ານການອອກແບບດ້ານເຮົາຄົມືຕ ທີ່ນີ້ເວລາການໃໝ່ບົກລາຍຍັງມີຜລກະຮບທີ່ແຄວຄອຍຂອງຮຣັກທີ່ມາໃໝ່ບົກລາຍ (Schaufler, 1997) ຜໍ່ຈະທຳໄໝໃໝ່ເກີດເວລາໃນການເດີນທາງທີ່ຢ່າງເຂົ້ນ ພາຍໃນການປ່ຽນປ່ອງເວລາການໃໝ່ບົກລາຍທີ່ເວົ້າເຂົ້ນຈະຊ່ວຍໄໝເວລາໃນການຮອຄອຍໃນແຄວຄອຍນ້ອຍລົງ ສ່າງຜລດີຕ່ອງຮະບົນເສຍສູກິຈ ສະພາພວດລຸ້ມ ແລະຮະບົນກາຍກາພ

ໃນບົກລາຍພື້ນທີ່ເກີນຄ່າຜ່ານທາງອາຈະສາມາຮັກໃຫ້ພື້ນທີ່ເກີນຄ່າຜ່ານທາງທີ່ສອງທີ່ສອງທີ່ສໍາຫຼັບເກີນຄ່າຜ່ານທາງໃນທີ່ສອງທີ່ສໍາຫຼັບເກີນຄ່າຜ່ານທາງເດີຍໄດ້ ໂດຍພື້ນທີ່ເກີນຄ່າຜ່ານທາງປະກອບດ້ວຍ 3 ສ່ວນຫລັກ ຈະ ດັງຮູບທີ່ 2.2 ປະກອບດ້ວຍ



ຮູບທີ່ 2.2 ບົກລາຍພື້ນທີ່ດ່ານເກີນຄ່າຜ່ານທາງ

**1) Approaching Area** ອີ່ສ່ວນຂອງພື້ນທີ່ກ່ອນເຂົ້າດ່ານເກີນຄ່າຜ່ານທາງ ຜໍ່ເປັນພື້ນທີ່ບໍ່ຢາຍຈຳນວນຂ່ອງຈາຈາກໃໝ່ເພີ່ມເຂົ້ນຈານວນຂ່ອງຈາຈາກປະກິດກ່ອນເຂົ້າດ່ານເກີນຄ່າຜ່ານທາງໄປສູ່ຈຳນວນຂ່ອງຈາຈາກທີ່ເທົ່າກັນຈຳນວນຂ່ອງເກີນຄ່າຜ່ານ ຜໍ່ປະກອບດ້ວຍພື້ນທີ່ 2 ສ່ວນຄື່ອງ

- Approach Zone ອີ່ບົກລາຍຂ່ວງຂໍາຍຂ່ອງຈາຈາກເພື່ອນໍາໄປສູ່ຈຳນວນເກີນຄ່າຜ່ານທາງໂດຍໄປເຂົ້ມກັບ Queue Zone ດັງຮູບ 2.2
- Queue Zone ອີ່ບົກລາຍຂ່ອງຈາຈາກທີ່ບໍ່ຢາຍໄປກັບຂ່ອງເກີນຄ່າຜ່ານທາງເພື່ອໃໝ່ເປັນແຄວຄອຍສໍາຫຼັບຈັດຮັບເປົ້າຫຼັກຄ່າຜ່ານທາງ ດັງຮູບ 2.2

2) Toll booth คือ พื้นที่สำหรับเก็บค่าผ่านทาง ซึ่งประเภทของช่องเก็บค่าผ่านทางแบ่งเป็นหลายประเภทตามรูปการชำระค่าผ่านทาง โดยในประเทศไทยมีใช้ 2 ประเภท คือ

- ระบบเก็บค่าผ่านทางด้วยเงินสด (Manual Toll Collection) เป็นระบบเก็บค่าผ่านทางโดยใช้พนักงานในการเก็บค่าผ่านทางแบบเงินสด ดังรูปที่ 2.3
- ระบบเก็บค่าผ่านทางอัตโนมัติ (Electronic Toll Collection) เป็นระบบเก็บค่าผ่านทางที่ใช้อุปกรณ์อิเล็กทรอนิกส์บริหารจัดการเก็บค่าผ่านทาง โดยมีอุปกรณ์ที่ติดมากับรถสำหรับใช้เป็นตัวส่งข้อมูลกับค่านเก็บค่าผ่านทาง โดยที่บริเวณช่องเก็บค่าผ่านทางจะมีอุปกรณ์รับสัญญาณเพื่ออ่านข้อมูลจากรถ เพื่อตัดจำนวนเงินที่ผู้ใช้ทางต้องจ่ายเงินเข้าไปในระบบ ก่อนแล้ว โดยที่ผู้ใช้ทางไม่ต้องหยุดรถที่ช่องเก็บค่าผ่านทาง ดังรูปที่ 2.4

3) Merging Area คือ ส่วนของพื้นที่หลังช่องเก็บค่าผ่านทาง ซึ่งเป็นบริเวณที่ลดจำนวนช่องจราจรจากจำนวนช่องจราจรที่เท่ากันจำนวนช่องเก็บค่าผ่านทางกลับไปสู่จำนวนช่องจราจรปกติประกอบด้วยพื้นที่ 2 ส่วนคือ

- Recovery Zone เป็นบริเวณพื้นที่หลังด้านเก็บค่าผ่านทางซึ่งมีช่องจราจรนานาไปกับช่องเก็บค่าผ่านทางเพื่อให้รถสามารถใช้ความเร่งเพื่อปรับระดับความเร็วก่อนที่รถจะไปรวมกันที่ช่วง Departure Zone ดังรูป 2.2
- Departure Zone คือบริเวณช่วงของถนนที่ลดจำนวนช่องจราจรถให้เท่ากับจำนวนช่องจราจรปกติเพื่อนำเข้าสู่ถนนปกติ ดังรูป 2.2



รูปที่ 2.3 ระบบเก็บค่าผ่านทางด้วยเงินสด (Manual Toll Collection)



รูปที่ 2.4 ระบบเก็บค่าผ่านทางอัตโนมัติ (Electronic Toll Collection)

### 2.3 ทฤษฎีแคลคอล

ทฤษฎีแคลคอลจะมีแบบจำลองเชิงปริมาณที่มีลักษณะแตกต่างกันหลายแบบขึ้นอยู่กับรูปแบบและลักษณะของผู้เข้ามารับบริการ ลักษณะของหน่วยบริการ และลักษณะของแคลคอล นอกจากนี้ยังเกี่ยวข้องกับปัจจัยอื่น ๆ เช่น พฤติกรรมของผู้ที่เข้ามารับบริการที่อยู่ในระบบแคลคอล เป็นต้น ซึ่งในการศึกษาแคลคอล ผู้ศึกษาจะต้องแยกส่วนประกอบต่าง ๆ ของโครงสร้างระบบ แคลคอลให้มีความชัดเจน เพื่อที่จะสามารถทำความเข้าใจแคลคอลนั้นๆ ได้อย่างถูกต้อง (Gross & Harris, 1998)

#### 2.3.1. ลักษณะของผู้มารับบริการ

ผู้มารับบริการที่เข้าสู่ระบบ จะมีลักษณะที่แตกต่างกัน ซึ่งเราสามารถพิจารณาในประเด็นต่อไปนี้

- **จำนวนประชากร (Population)** หมายถึง ผู้ที่มีโอกาสเข้ามาใช้บริการในระบบแคลวอย ซึ่ง เรายังพบว่าบางระบบจำนวนประชากรมีโอกาสที่จะเข้าสู่ระบบเป็นจำนวนมาก เช่น ธนาคาร บัมบี้มัน โรงพยาบาล เป็นต้น เราจะเรียกว่า จำนวนประชากรไม่จำกัด บางระบบจำนวน ประชากรที่มีโอกาสเข้าสู่ระบบมีจำนวนน้อย เช่น จำนวนเครื่องจักรของโรงงานที่ต้องซ่อมมี จำนวน 10 เครื่อง เป็นต้น เราจะเรียกว่า จำนวนประชากรจำกัด ซึ่งในการวิเคราะห์ระบบ แคลวอยต้องสามารถระบุถึงจำนวนประชากรได้ว่า มีลักษณะจำกัดหรือไม่จำกัด
- **ลักษณะการเข้ามารับบริการ (Arrival Characteristics)** เราสามารถแบ่งลักษณะในการเข้า มารับบริการออกเป็น 2 ลักษณะที่สำคัญ คือ
  - การเข้ามารับบริการแบบคงที่ หมายถึง การเข้ามารับบริการในอัตราที่สม่ำเสมอ เช่น ในระบบสายการผลิตของโรงงานอุตสาหกรรมต่างๆ เป็นต้น
  - การเข้ามารับบริการแบบสุ่ม หมายถึง การเข้ามารับบริการมีลักษณะที่ไม่แน่นอนไม่ สม่ำเสมอ ไม่สามารถทราบล่วงหน้า และการเข้ามารับบริการในแต่ละรายจะมีความ เป็นอิสระต่อกัน โดยปกติแล้วลักษณะการเข้ามารับบริการส่วนใหญ่จะเป็นแบบสุ่ม โดยที่อัตราการเข้ามารับบริการจะมีการแจกแจงแบบปัวซอง
- **พฤติกรรมของผู้มารับบริการ (Behavior)** บางระบบผู้เข้ามารับบริการจะมีความอดทนในการรอ เพื่อที่จะได้รับบริการ ในขณะที่บางระบบผู้เข้ามารับบริการอาจจะไม่รอรับบริการ หรืออาจเปลี่ยนไปใช้หน่วยบริการอื่นแทน บางกรณีผู้มารับบริการมีระดับความสำคัญที่สูง เข้ามารับบริการ ซึ่งอาจใช้สิทธิพิเศษที่จะไม่เข้าสู่ระบบแคลวอยได้ ทำให้ได้รับบริการก่อน เป็นต้น โดยปกติแบบจำลองแคลวอยส่วนใหญ่จะมีสมมติฐานที่ผู้เข้ามารับบริการจะรอ จนกว่าจะได้รับบริการ

### 2.3.2. ลักษณะหน่วยบริการ

มีประเด็นสำคัญที่ต้องพิจารณาจะเกี่ยวข้องกับอัตราการให้บริการแก่ผู้มารับบริการ (Service Rate) ซึ่งการให้บริการของหน่วยบริการจะมีการให้บริการ 2 ลักษณะ คือ

- อัตราการให้บริการแบบคงที่ หมายถึง การให้บริการในแต่ละรายจะใช้เวลาที่เท่าๆกัน เช่น การบรรจุนำ้มีลักษณะเดียวกัน เช่น แต่ละขวดจะใช้เวลา 5 วินาที ดังนั้น อัตราการ ให้บริการจะเท่ากัน 12 ขวดต่อนาที
- อัตราการให้บริการแบบสุ่ม ซึ่งเป็นการให้บริการในแต่ละรายใช้เวลาที่ไม่เท่ากัน ซึ่งจะ ขึ้นอยู่กับความต้องการของลูกค้าแต่ละราย การรวมรวมข้อมูลของการให้บริการมักจะอยู่ใน

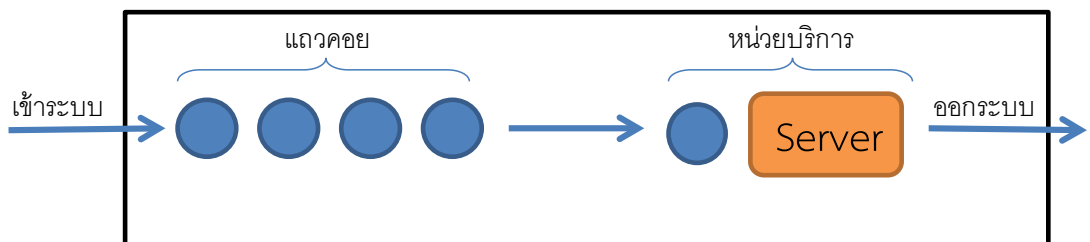
รูปของเวลาที่ใช้ในการบริการ (Service Time) ของแต่ละราย แล้วนำหาค่าเฉลี่ย โดยส่วนใหญ่ลักษณะหน่วยบริการจะเป็นเวลาที่ใช้ในการบริการแบบสุ่ม และมีการแจกแจงแบบเอกซ์โพเนนเชียล

### 2.3.3 สักยณะของแคลวอย

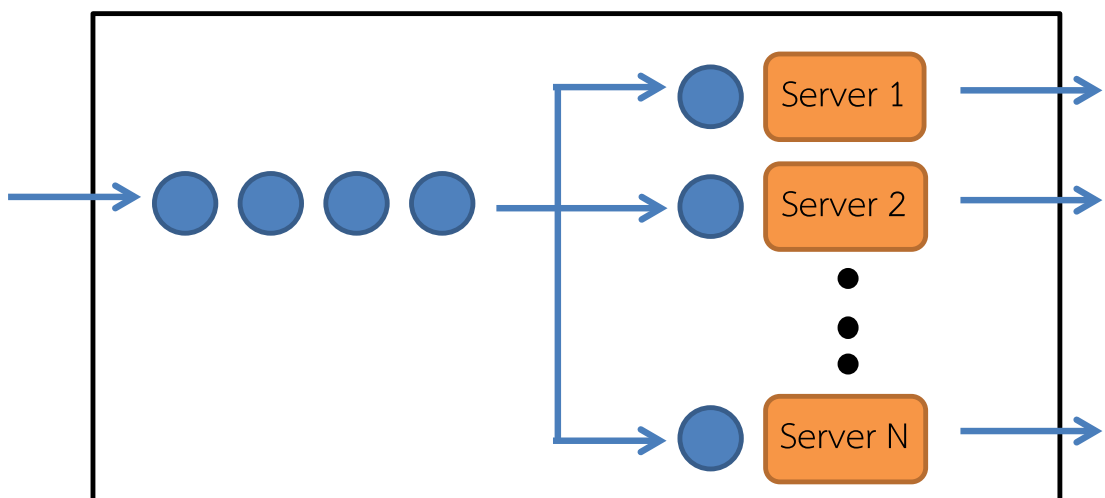
เมื่อผู้ใช้บริการ เข้ามายังระบบ ถ้าขั้นตอนนี้ผู้ให้บริการว่าง ผู้ใช้บริการจะเข้ารับบริการได้ทันที โดยไม่ต้องค่อย กรณีนี้จะไม่เกิดคิวหรือแคลวอยขึ้น แต่ถ้าหากผู้ให้บริการไม่ว่าง ในขณะนั้น ผู้ใช้บริการจะต้องค่อยซึ่งอาจจะค่อยเป็นคนแรกหรือค่อยต่อจากผู้อื่นที่กำลังค่อยอยู่ เราสามารถพิจารณาลักษณะของระบบแคลวอยได้ จากการคัดประกอบหลัก 6 ประการ คือ

1. รูปแบบการเข้ามาของผู้ใช้บริการ (Arrival pattern of customer) หมายถึง รูปแบบการเข้ามา หรือกระบวนการเข้า ของจำนวนผู้ใช้บริการเฉลี่ยต่อหนึ่งหน่วยเวลา (mean arrival rate) หรืออธิบาย ด้วยระยะเวลาห่างระหว่างการเข้ามาของผู้ใช้บริการโดยเฉลี่ย (mean inter-arrival time) การเข้ามาอาจ มีลักษณะแน่นอน (deterministic) หรือไม่แน่นอนที่เรียกว่าแบบสุ่ม (random) ซึ่งสามารถกำหนดได้ ด้วยการแจกแจงความน่าจะเป็น นอกจากนี้ จำนวนประชากรของผู้ใช้บริการบางระบบอาจมีขนาด จำกัด (finite) บางระบบมีขนาดไม่จำกัด (infinite) ซึ่งมีผลต่างกันต่ออัตราการเข้าระบบ
2. การให้บริการ (Service process) อธิบายได้ด้วยอัตราให้บริการโดยเฉลี่ย (mean service rate) ซึ่งหมายถึง จำนวนผู้ได้รับบริการแล้วเสร็จโดยเฉลี่ยต่อหนึ่งหน่วยเวลา หรือเวลาบริการโดยเฉลี่ยต่อหนึ่งผู้ใช้บริการ (mean service time)
3. ระเบียบการให้บริการ (Service discipline) หมายถึง กฎเกณฑ์ที่ใช้ในการให้บริการว่าจะ ให้บริการแก่ผู้มารับบริการรายใดก่อน เช่น มา ก่อนรับบริการก่อน (First Come First Serve, FCFS) มาทีหลังรับบริการก่อน (Last Come First Serve, LCFS) ผู้มารับบริการที่มีความจำเป็นได้รับบริการ ก่อน โดยรูปแบบการบริการที่มีการใช้งานอย่างแพร่หลายมากที่สุดเป็นแบบมา ก่อนรับก่อน (FCFS) และจะเป็นรูปแบบการบริการที่ใช้ตลอดโครงการวิจัยนี้
4. ขีดความสามารถของระบบในการให้บริการ (System capacity) หมายถึง จำนวนผู้ใช้บริการซึ่ง รวมทั้งจำนวนผู้กำลังรับบริการและผู้ที่กำลังค่อยที่ระบบจะรองรับได้ ณ เวลาหนึ่งๆ บางระบบจะไม่มีแคลวอย บางระบบมีความสามารถยาวแคลวอยจำกัด และบางระบบจะมีความสามารถยาวแคลวอยไม่จำกัด

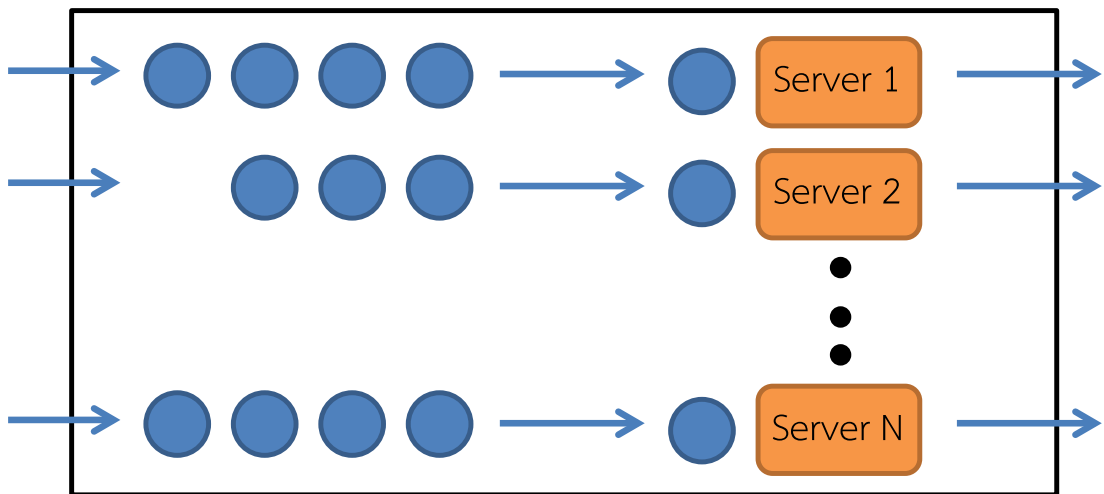
5. จำนวนผู้ให้บริการคู่ขนาน (Number of parallel servers) บางระบบจะมีผู้ให้บริการเพียงหนึ่งเดียว ดังรูปที่ 2.5 หรือบางระบบอาจมีหนึ่งเดียวอยแต่มีจำนวนผู้ให้บริการมากกว่า 1 หน่วย ดังรูปที่ 2.6 หรือมีหลายเดียวอยหลายหน่วยให้บริการ ดังรูปที่ 2.7



รูปที่ 2.5 ระบบที่มีหนึ่งเดียวอย-หนึ่งหน่วยบริการ

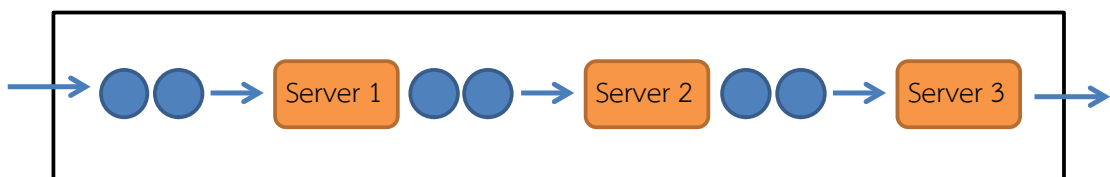


รูปที่ 2.6 ระบบที่มีหน่วยบริการหลายช่องแบบขนาน แต่มีเดียวอยเดียวเดียว



รูปที่ 2.7 ระบบที่มีหน่วยให้บริการมากกว่าหนึ่ง และมีแคลวอยaltyแคลว

6. จำนวนขั้นตอนการให้บริการ (Number of service stage) ระบบแคลวอยaltyของระบบมีเพียง ขั้นตอนบริการเพียงขั้นตอนเดียว บางระบบจะประกอบด้วยหลายขั้นตอน รูปที่ 2.8 เป็นตัวอย่าง ระบบแคลวอยที่มีหน่วยบริการแบบอนุกรม การเข้ารับบริการมีหลายขั้นตอนต่อเนื่องกัน



รูปที่ 2.8 ระบบที่มีหนึ่งแคลวอยaltyขั้นตอนรับบริการแบบอนุกรม

ด้วยองค์ประกอบหลัง 6 องค์ประกอบข้างต้น ทำให้เกิดระบบแคลวอยที่แตกต่างกัน ได้มาก many การ พัฒนาแบบจำลองของระบบแคลวอยจำเป็นต้องพิจารณาให้เหมาะสมกับระบบจริงมากที่สุด

#### 2.3.4 สัญลักษณ์ที่ใช้ในแบบจำลองแคลวอย

ในการกำหนดองค์ประกอบของระบบแคลวอย มีรูปแบบทั่วไปดังนี้

$$(A / B / C) : (X / Y / Z)$$

โดยที่

- A บอกถึงการแจกแจงของการเข้ามา ด้วยการกำหนดการแจกแจงความน่าจะเป็นของระยะเวลาห่างระหว่างการเข้ามา (inter arrival-time distribution)
- B บอกถึงการแจกแจงของการบริการ ด้วยการกำหนดการแจกแจงความน่าจะเป็นของเวลาบริการ (service time distribution)
- C บอกถึงจำนวนผู้ให้บริการคู่ขนาน (number of parallel servers) หรือจำนวนช่องบริการคู่ขนาน (number of parallel service channels)
- X บอกถึงกฎระเบียบของคิว (queue discipline) ในการให้บริการ
- Y บอกถึงขีดความสามารถสามารถของระบบในการรองรับผู้ใช้บริการ คือจำนวนผู้ใช้บริการสูงสุดที่ระบบจะรับໄວ่ได้
- Z บอกถึงขนาดของประชากรผู้ใช้บริการ

ตารางที่ 2.1 สัญลักษณ์ที่ใช้ในรูปแบบของระบบเควคอย (มานพ วรากักษ์, 2550)

| ลักษณะ   | สัญลักษณ์ | ความหมาย  |
|--|-----------|---|
| การแจกแจงความน่าจะเป็นของระยะเวลาห่างระหว่างเข้า (A) | M         | แบบเลขชี้กำลัง (เอกซ์โพเนนเชียล)                  |
|  | D         | คงที่ (deterministic)                             |
|  | $E_k$     | เออแอลก์ k เฟส (k-phase Erlang) $k = 1, 2, \dots$ |
|  | $H_k$     | ไฮเพอร์เอกซ์โพเนนเชียล k เฟส                      |
|  | G         | ทั่วไป ไม่จำกัดรูปแบบการแจกแจง                    |
| การแจกแจงความน่าจะเป็นของเวลาบริการ (B)              | M         | แบบเลขชี้กำลัง                                    |
|  | D         | คงที่   |
|  | $E_k$     | เออแอลก์ k เฟส                                    |
|  | $H_k$     | ไฮเพอร์เอกซ์โพเนนเชียล k เฟส                      |
|  | G         | ทั่วไป ไม่จำกัดรูปแบบการแจกแจง                    |
| จำนวนผู้ให้บริการคู่ขนาน (C)                         |           | 1, 2, ..., c, ..., $\infty$                       |
| กฎระเบียบคิว (X)                                     | FCFS      | มาก่อน ได้รับบริการก่อน                           |
|  | LCFS      | มาทีหลัง ได้รับบริการก่อน                         |

|                                |                  |  |
|--------------------------------|------------------|--|
|                                | SIRO<br>PR<br>GD | ดำเนินการให้บริการเป็นแบบสุ่ม<br>มีสิทธิ์พิเศษ<br>กฎระเบียบทั่วไป (General discipline) |
| ขีดความสามารถของระบบ (Y)       | 1,2,...,m,...,∞  |  |
| ขนาดของประชากรผู้ใช้บริการ (Z) | 1,2,...,K,...,∞  |  |

สัญลักษณ์มาตรฐานบางตัวที่ใช้บอกรักษณะต่างๆ ขององค์ประกอบตามรูปแบบ A/B/C : X/Y/Z สรุปไว้ในตารางที่ 2.1 และระบบคิวที่กำหนดจะเป็นระบบมีหนึ่งแควคอย นอกจากจะกำหนดเป็นอย่างอื่น ตัวอย่างเช่น ระบบแควคอย (M/M/2) : (FCFS/∞/∞) หมายถึง ระบบคิวที่ช่วงเวลาห่างระหว่างผู้เข้ามา และเวลาบริการต่างมีการแจกแจงความน่าจะเป็นแบบชี้กำลัง (exponential distribution) มีหนึ่งแควคอย โดยมีผู้ให้บริการ 2 หน่วย หรือ 2 ช่องบริการแบบคู่บานาน กฎเกณฑ์การรับบริการเป็นแบบมาก่อน ได้รับบริการก่อน ขีดความสามารถของระบบและขนาดของประชากรผู้ใช้บริการต่างมีขนาดไม่จำกัด

## 2.4 รูปแบบแควคอยของระบบเก็บค่าผ่านทาง

โดยทั่วไปรูปแบบแควคอยที่ด้านเก็บค่าผ่านทางจะเป็นรูปแบบที่มีผู้ให้บริการมากกว่าหนึ่ง และมีแควคอยหลายແคว ให้บริการแบบคู่บานานกัน โดยอัตราการให้บริการจะขึ้นอยู่กับประเภทของด้านเก็บเงิน และประเภทของผู้ใช้บริการ เช่น ความแตกต่างของประเภทรถที่เข้าด้าน โดยรถยนต์ กับรถบรรทุกจะมีใช้เวลาในการเข้าใช้บริการที่แตกต่างกัน ซึ่งพบว่ารถบรรทุกจะใช้เวลามากกว่าเนื่องจากมีอัตราเร่ง และขนาดของรถที่คล่องตัวน้อยกว่ารถยนต์ทั่วไป แต่เนื่องจากการวิเคราะห์แควคอยในรูปแบบที่มีผู้ให้บริการมากกว่าหนึ่ง และมีแควคอยหลายແคว มีการวิเคราะห์ที่ยุ่งยากซับซ้อน และมีตัวแปรต่าง ๆ มากนัก จึงไม่เป็นที่นิยมในการศึกษามากนัก การวิจัยส่วนใหญ่จึงใช้แบบจำลองในการศึกษาความขาวแควคอยบริเวณทางเข้าและทางออกเพียงหนึ่งทาง หากพิจารณาแล้วลักษณะของที่รถที่เข้าสู่ช่องชำระเงินจะมีทางออกเพียงทางเดียว คือมีจำนวนหน่วยบริการเพียงหน่วยเดียว แต่ในความเป็นจริงของบริเวณหน้าด้านชำระเงินจะมีจำนวนช่องทางเข้าสู่ช่องชำระเงินหลายช่องให้เลือกตัดสินใจ ก่อนเข้าสู่ระบบแควคอย ดังนั้นในงานวิจัยส่วนใหญ่จึงทำการศึกษาวิเคราะห์ในกรณีที่เป็นแบบ M/M/1 และ M/M/C โดยตั้งสมมติฐานตามเงื่อนไขของระบบแควคอยว่า อัตราการเข้าใช้บริการเป็นแบบ Poisson โดยเวลาการให้บริการจะขึ้นอยู่กับประเภทของด้านเก็บ

เงิน สำหรับรูปแบบด่านเก็บเงินแบบ Manual จะมีเวลาการให้บริการที่แตกต่างไปขึ้นอยู่กับแต่ละผู้ใช้บริการ และพนักงานเก็บเงิน สำหรับรูปแบบด่านเก็บเงินแบบ ETC จะมีเวลาการให้บริการแบบคงที่

ปัจจัยสำคัญ 2 ปัจจัยที่มีผลต่อเวลารวมของรถที่ใช้บริการในการรอเข้าด่านเก็บเงินคือ ถ้าค่อยบริเวณ Approaching Area ก่อนเข้าด่านเก็บเงิน เนื่องจากลักษณะการไหลของกระแสจราจรบริเวณด่านเก็บเงินจะเคลื่อนตัวช้าลงหรือหยุดเพื่อรอเข้าด่านเก็บเงิน และการติดขัดบริเวณ Merging Area หลังด่านเก็บเงินเนื่องจากการรวมกันของกระแสจราจรในแต่ละช่องจราจร การชะลอตัวหรือหยุดเนื่องจากปริมาณจราจรหลังด่านเก็บค่าผ่านทางเกินความจุของถนน ทำให้รถไม่สามารถไหลอย่างอิสระได้ โดยพฤติกรรมของผู้ใช้บริการจะเลือกช่องจราจรความยาวและความกว้างอย่างที่สุดในแต่ละประเภทด่านเก็บเงินที่ต้องการใช้บริการ เพื่อให้เกิดเวลาในการเดินทางน้อยที่สุด

## 2.5 กระบวนการจำลองแบบปัญหา

แม้ว่า การจำลองแบบปัญหาไม่จำเป็นต้องอาศัยคอมพิวเตอร์ในการแก้ปัญหาเสมอไป แต่การใช้แบบจำลองปัญหาในปัจจุบันมักใช้กับปัญหาที่มีความยุ่งยากซับซ้อน จึงต้องอาศัยคอมพิวเตอร์ สำหรับช่วยคำนวณหาข้อมูลต่าง ๆ ที่ต้องการสำหรับการวิเคราะห์ คัดเลือกหาวิธีการแก้ปัญหาที่เหมาะสม ทำการจำลองสถานการณ์โดยอาศัยตัวแบบจำลองทางคอมพิวเตอร์นั้น ตัวแบบต้องทำงานได้เสถียรระบบงานจริง ขึ้นตอนสำหรับดำเนินการจำลองแบบปัญหาโดยใช้คอมพิวเตอร์ มีดังต่อไปนี้

1. การตั้งปัญหาและการให้คำจำกัดความของระบบงาน (Problem Formulation and System Definition) ขั้นตอนนี้เป็นขั้นตอนที่สำคัญที่สุดในการจำลองแบบปัญหา ขั้นตอนนี้เป็นการกำหนดวัตถุประสงค์ของการศึกษาระบบ การกำหนดขอบเขต ข้อจำกัดต่างๆและวิธีการวัดผลของระบบงาน
2. การสร้างแบบจำลอง (Model Formulation) จากลักษณะของระบบงานที่จะต้องทำการศึกษา เขียนแบบจำลองที่สามารถอธิบายพฤติกรรมของระบบงานตามวัตถุประสงค์ของการศึกษา
3. การจัดเตรียมข้อมูล (Data Preparation) วิเคราะห์หาข้อมูลต่างๆที่จำเป็นสำหรับแบบจำลอง และจัดเตรียมข้อมูลให้อยู่ในรูปแบบที่จะนำไปใช้งานกับแบบจำลองได้
4. การแปลงแบบจำลอง (Model Translation) แปลงแบบจำลองไปอยู่ในรูปของโปรแกรมคอมพิวเตอร์

5. การทดสอบความถูกต้อง (Validation) เป็นการวิเคราะห์เพื่อช่วยให้ผู้เขียนและผู้ใช้แบบจำลองมั่นใจว่าแบบจำลอง ที่ได้นั้น สามารถใช้แทนระบบงานจริงตามวัตถุประสงค์ของการศึกษาได้
6. การออกแบบการทดลอง (Strategic Planning) เป็นการออกแบบการทดลองที่ทำให้แบบจำลองสามารถให้ข้อมูลที่ใช้ในการวิเคราะห์ หากลัพธ์ตามที่ต้องการ
7. การวางแผนการใช้งานแบบจำลอง (Tactical Planning) เป็นการวางแผนว่าจะใช้งานแบบจำลองในการทดลองอย่างไร จึงจะได้ข้อมูลสำหรับวิเคราะห์ผลเพียงพอ (ด้วยระดับความเชื่อมั่นในผลการวิเคราะห์ที่เหมาะสม) ความแตกต่างระหว่างขั้นตอนนี้กับขั้นตอนการออกแบบการทดลองมีอยู่ว่า ในการออกแบบการทดลองเป็นแต่เพียงการน้อมถอดีๆ ของกระบวนการทดลอง ส่วนขั้นตอนนี้เป็นการน้อมกว่าจะต้องดำเนินการทดลองตามเงื่อนไขดังกล่าวกี่ครั้งจึงจะได้จำนวนข้อมูลที่เหมาะสม กล่าวคือ “ได้ความมั่นยำสำคัญทางสถิติที่ยอมรับได้ในราคานี้”
8. การดำเนินการทดลอง (Experimentation) เป็นการคำนวณหาข้อมูลต่างๆ ที่ต้องการและความไวของ การเปลี่ยนแปลงข้อมูลจากแบบจำลอง
9. การตีความผลการทดลอง (Interpretation) จากผลการทดลอง ตีความว่าระบบงานจริงมีปัญหาอย่างไร และการแก้ปัญหาจะได้ผลอย่างไร
10. การนำไปใช้งาน (Implementation) จากผลการทดลอง เลือกวิธีการที่จะแก้ปัญหาได้ดีที่สุด นำไปกับระบบงานจริง
11. การจัดทำเป็นเอกสารการใช้งาน (Documentation) เป็นการบันทึกกรรมในการจัดทำแบบจำลอง โครงการสร้างของแบบจำลอง วิธีการใช้งานและผลที่ได้จากการใช้งาน เพื่อประโยชน์สำหรับผู้ที่จะนำแบบจำลองไปใช้งาน และเพื่อประโยชน์ในการปรับปรุงดัดแปลงแบบจำลองเมื่อเกิดการเปลี่ยนแปลงระบบ

## 2.6 การจำลองสภาพการจราจร

ปัญหารการจราจรคับคั่งเป็นปัญหาใหญ่ที่สำคัญและส่งผลกระทบต่อสภาพเศรษฐกิจ สังคมและสภาพแวดล้อม การแก้ปัญหานี้มีความซับซ้อนมาก ต้องมีการศึกษาสภาพการจราจรที่เกิดขึ้นอย่างถ่องแท้ และครอบคลุมพื้นที่ที่ประสบปัญหา แต่เนื่องจากข้อจำกัดในด้านของขนาด และความ слับซับซ้อนของโครงข่ายการจราจร ซึ่งเป็นโครงข่ายขนาดใหญ่และมีองค์ประกอบมากมายจึง

เป็นการยกที่จะทำการวิเคราะห์ลักษณะทางด้านการจราจรให้มีความถูกต้องที่สุด แต่เนื่องจาก ความก้าวหน้าทางเทคโนโลยีในปัจจุบันที่สามารถใช้คอมพิวเตอร์เข้ามามีส่วนช่วยในการจัดการกับ สภาพการจราจร โดยการจำลองสภาพการจราจร (Traffic Simulation) ที่สามารถนำมาใช้เป็นตัวแทน ของลักษณะสภาพการจราจรที่เกิดขึ้นจริงบนท้องถนนหนึ่ง ๆ ได้หรืออาจจะทำการประยุกต์ แบบจำลองในสถานการณ์ต่าง ๆ เพื่อประเมินทางเลือกซึ่งสามารถนำไปใช้ประโยชน์ในการพัฒนา ด้านต่าง ๆ ต่อไปได้ ทั้งนี้ในปัจจุบันมีหลายหน่วยงานที่ได้มีการพัฒนาแบบจำลองด้านจราจรขึ้น ไม่ว่าจะทำการจำลองในระดับจุลภาค (Micro-Simulation) กึ่งจุลภาคกับมหาภาค (Meso-Simulation) และในระดับมหาภาค (Macro-Simulation) ที่ขึ้นอยู่กับเป้าหมายของการนำไปใช้งานที่มีรูปแบบ ค่อนข้างหลากหลาย

แบบจำลองการจราจรระดับจุลภาคเป็นการจำลองโดยการใช้งานคอมพิวเตอร์ที่แสดงลักษณะการ เคลื่อนตัวของยวดยานแต่ละคันในระบบ โครงข่ายถนนซึ่งมีพื้นฐานการจำลองมาจากทฤษฎีการ เคลื่อนตัวตามกันของรถ (Car Following) การเปลี่ยนช่องทาง (Lane Changing) และระยะระหว่างรถ ที่ยอมรับได้ (Gap Acceptance) มีความสามารถจำลองระบบทางแยกที่มีความซับซ้อน โครงข่ายที่มี ความคับคั่งทางด้านจราจรและการนำระบบความก้าวหน้าทางเทคโนโลยีเข้ามาประยุกต์ใช้ได้อีกด้วย ทั้งนี้การจำลองการจราจรในระดับจุลภาคมีข้อดี คือ สามารถเลียนแบบพฤติกรรมที่แท้จริงของผู้ขับขี่ และสมรรถนะของระบบได้สูง สามารถนำมาใช้เป็นเครื่องมือในการพัฒนาระบบที่มีความ เหมาะสมและมีประสิทธิภาพ ง่ายและสะดวกในการประเมินผลกระทบจากโครงการใหม่ ๆ

### 2.6.1 แบบจำลองจราจรระดับจุลภาค

แบบจำลองจราจรระดับจุลภาคเป็นแบบจำลองคอมพิวเตอร์ เพื่อศึกษาลักษณะการเคลื่อนตัว รถแต่ละคันที่วิ่งบนโครงข่ายถนน โดยกำหนดกฎนิยามของพฤติกรรมการขับขี่ของรถ และ ประสิทธิภาพของรถแต่ละประเภท แบบจำลองจราจรระดับจุลภาคสามารถปฏิบัติการได้โดยการตั้ง ค่ารูปแบบโครงข่ายถนน การใส่ข้อมูลของรถที่เสมือนจริง การกำหนดแนวเส้นการเคลื่อนตัวของรถ ผ่านโครงข่ายถนน และทำการสรุป วิเคราะห์ผลของรถทั้งหมด เพื่อวัดประสิทธิภาพนโยบายต่างที่ วางแผนไว้

### 2.6.2 ข้อดีของแบบจำลองจราจรระดับจุลภาค

- สามารถวิเคราะห์ปัญหาจราจรที่ซับซ้อนได้ เช่น การวิเคราะห์ระบบจราจรอัจฉริยะ (ITS) การวิเคราะห์ทางแยก การวิเคราะห์การเคลื่อนตัวแบบ shockwave ผลกระทบจราจรต่อการเกิดอุบัติกรณี
- สามารถศึกษาถึงผลกระทบจากการเปลี่ยนแปลง โครงข่าย หรือสิ่งอำนวยความสะดวกความสะดวกบนโครงข่าย เช่น ป้ายข้อความจราจรปรับเปลี่ยนได้ (VMS)
- สามารถพัฒนาแบบจำลองระบบใหม่ๆ ได้ และวิเคราะห์ประสิทธิภาพที่มีความเหมาะสม
- สามารถวิเคราะห์ผลกระทบด้านจราจรจากการออกแบบด้านเรขาคณิต หรือการควบคุมจราจร เช่น การออกแบบวงเวียน การออกแบบสัญญาณไฟจราจร การออกแบบทางเดินเท้า
- สามารถวิเคราะห์ประสิทธิภาพของเด็กอย่างซึ่งเกิดจากการปรับปรุงสิ่งอำนวยความสะดวกความสะดวก เช่น การเพิ่มทางซื่อม การติดตั้ง ramp metering
- สามารถจำลองสภาพจราจรแบบ real time
- แบบจำลองเป็นการวิเคราะห์การเคลื่อนตัวรถแต่ละคัน ซึ่งจะได้ผลการวิเคราะห์ดีกว่าการวิเคราะห์การเคลื่อนตัวของรถแบบกลุ่ม
- เป็นการจำลองพฤติกรรมคนขับรถ และ โครงข่ายถนนที่มีประสิทธิภาพเสมือนจริงที่สุด
- สามารถนำข้อมูลที่วิเคราะห์ได้มาจัดลำดับเพื่อวัดประสิทธิภาพในแต่ละทางเลือกได้
- สามารถปรับเปลี่ยนข้อมูลจราจรได้ง่าย
- สามารถวิเคราะห์ข้อมูล ที่มีลักษณะรูปแบบการเข้าของปริมาณจราจร และรูปแบบการให้บริการที่ซับซ้อนจนไม่สามารถคำนวณทางคณิตศาสตร์

### 2.6.3 ข้อจำกัดและข้อเสียของแบบจำลองจราจรระดับชุมชน

- ต้องใช้เวลาในการสร้างแบบจำลองให้สมீอ่อนจริงที่มีความซับซ้อนให้สมீอ่อนจริงมากที่สุด
- ต้องการข้อมูลมากในการสร้างแบบจำลองที่สมீอ่อนจริงมากที่สุด
- การใส่ข้อมูลที่ผิดพลาดเล็กน้อยอาจนำไปสู่ผลการวิเคราะห์ที่คลาดเคลื่อนมาก
- มีความยากในการสร้างแบบจำลองที่ให้ผลลัพธ์แน่นอน จึงต้องทำการทดลองซ้ำๆ หลายครั้ง เพื่อวิเคราะห์ค่าสถิติในการอ้างอิงผลการวิเคราะห์
- เนื่องจากแบบจำลองเป็นการสุ่มการดำเนินการ ทำให้ผลการวิเคราะห์มีความแตกต่างกันในการทดสอบแต่ละครั้ง

ในปัจจุบันมีการพัฒนาแบบจำลองทางด้านการจราจรในระดับชุมชนให้เลือกใช้งานอย่างแพร่หลาย ซึ่งแต่ละแบบจำลองมีสมรรถนะในการจำลองเหตุการณ์ได้แตกต่างกัน การเลือกใช้งานก็จะเป็นที่ จำต้องทำการประเมินถึงความเหมาะสม สามารถพัฒนาแบบจำลองได้ในระดับที่น่าเชื่อถือ มีความยืดหยุ่นและให้ความถูกต้องเที่ยงตรงมากที่สุด ซึ่งโปรแกรมที่นิยมใช้งานกัน เช่น Aimsun NG CONTRAM CARFLO CORSIM HUTSIM INTEGRATION PARAMICS และ VISSIM เป็นต้น

จากตารางที่ 2.2 แสดงการเปรียบเทียบความสามารถของโปรแกรมต่าง ๆ ในการใช้เทคโนโลยีสารสนเทศกับการจราจร ของโปรแกรมต่าง ๆ จะเห็นได้ว่าแบบจำลองแต่ละนั้นมีความสามารถในการจำลองหลากหลายโดยแตกต่างกันไป การคำนึงถึงความสามารถของโปรแกรมใช้งานและเป้าหมายของการศึกษาจึงเป็นทางเลือกหนึ่งที่สามารถนำมาใช้ตัดสินใจเลือกใช้โปรแกรมที่มีประสิทธิภาพในการจำลองสภาพการต่าง ๆ เพื่อให้ได้ผลตามเป้าหมายได้ (ITS, 2000)

**ตารางที่ 2.2 ความสามารถในการใช้เทคโนโลยีสารสนเทศในด้านการจราจรและขนส่งของโปรแกรมต่างๆ**

| การใช้เทคโนโลยีสารสนเทศกับการขนส่ง (Transport Telematics Function) | Aimsun NG | CONTRAM | CARFLO | CORSIM | HUTSIM | INTEGRATION | PARAMICS | VISSIM |
|--|-----------|---------|--------|--------|--------|-------------|----------|--------|
| การยับยั้งการจราจร (Traffic calming)                               | -         | -       | -      | -      | X      | X           | X        | X      |
| พฤติกรรมผู้ขับขี่ (Driver behavior)                                | X         | -       | -      | X      | -      | X           | X        | -      |
| สภาพเครือข่าย (Network conditions)                                 | X         | -       | -      | -      | X      | -           | X        | -      |
| ค่าการจราจรติดขัด (Congestion pricing)                             | -         | -       | -      | -      | X      | -           | X        | -      |
| อุบัติการณ์ (Incidents)  | X         | -       | X      | X      | X      | X           | X        | X      |
| รถจักรยานยนต์ (Motorcycles)  | -         | -       | -      | -      | -      | -           | -        | -      |
| การสะสมของ隊วิ่ง (Queue spill back)                                 | X         | -       | -      | X      | X      | X           | X        | X      |
| การควบคุมทางเข้า ออกทางคู่วน (Ramp metering)                       | X         | -       | -      | X      | X      | X           | X        | X      |
| ระบบสัญญาณไฟจราจรสัมพันธ์ (Co-ordinated traffic signals)           | X         | X       | -      | X      | X      | X           | X        | X      |

|  |   |   |   |   |   |   |   |   |
|--|---|---|---|---|---|---|---|---|
| ระบบสัญญาณไฟจราจรแบบปรับได้<br>(Adaptive traffic signals)              | X | X | - | X | X | X | X | X |
| อุปกรณ์ทางด้านการจราจร (Traffic devices)                               | X | - | - | - | - | X | X | - |
| การทำนายรูปแบบการไหลของเครือข่าย<br>(Network flow pattern predictions) | - | - | - | - | X | X | X | X |
| ปฏิกรรมต่อกันระหว่างยานพาหนะ<br>(Vehicle interaction)                  | X | - | - | X | - | X | X | - |
| การสร้างเครือข่ายแบบกราฟิก   | X | X | - | - | X | - | - | X |
| การนำเสนอผลลัพธ์แบบกราฟิก  | X | X | - | X | X | X | X | X |

การคัดเลือกแบบจำลองจะต้องคำนึงถึงเป้าหมายในสิ่งที่ต้องการศึกษา ซึ่งในการศึกษานี้มุ่งประเด็น ด้านการประเมินแนวทางการจัดการระบบช่องเก็บค่าผ่านทางพิเศษเพื่อจัดการกับสภาพการจราจร คับคั่งในช่วงเวลาเร่งด่วน โดยการจำลองมาตรการการจัดการเก็บค่าผ่านทางพิเศษ เมื่อพิจารณา ความสามารถในการใช้เทคโนโลยีสารสนเทศในด้านการจราจรและขนส่งร่วมกับความสามารถในการเลียนแบบพฤติกรรมการจราจรของแบบจำลองดังตารางที่ 2.2 พบว่า Aimsun NG เป็นโปรแกรม ที่มีความเหมาะสมที่สุด ที่เป็นเครื่องมือสำหรับใช้ในการจำลองสถานการณ์ในการศึกษานี้

## 2.7 โปรแกรม Aimsun NG

โปรแกรม Aimsun NG พัฒนาโดย J. Barcelo และ J.L. Ferrer ที่ the Polytechnic University of Catalunya ในเมือง Barcelona ปัจจุบันมีการพัฒนาต่อเนื่องและคุ้มครองเชิงการค้าโดย TSS – Transport Simulation Systems โปรแกรม Aimsun NG เป็นชุดเครื่องมือที่ใช้ในการวางแผนการ ขนส่งการจำลองการจราจรในระดับจุลภาค และการวิเคราะห์ข้อมูลการจราจรและความต้องการ ทางการจราจร (AIMSUN's Microsimulator User's Manual Version 5.1, 2006)

Aimsun NG เป็นโปรแกรมซึ่งมีสถาปัตยกรรมซึ่งอนุญาตให้ทำการเพิ่มเติมส่วนประกอบได้อย่างไม่ จำกัดจำนวน ทั้งส่วนที่ทำการผลิตโดย TSS และส่วนที่พัฒนาโดยผู้ใช้ ซึ่งผู้ใช้สามารถทำการเข้าถึง ตัวแกนของโปรแกรม Aimsun NG และทำการปรับแต่งความสามารถของตัวโปรแกรมได้เหมือนกับ ที่กระทำโดย TSS

## 2.7.1 องค์ประกอบหลักตามลักษณะการใช้งานของโปรแกรม Aimsun NG

สามารถแบ่งองค์ประกอบหลักตามลักษณะการใช้งานของ Aimsun NG ได้ 4 ส่วน ดังนี้

### 1) Aimsun Simulator

Aimsun Simulator สามารถจำลองสภาพการจราจรในเครือข่ายถนนได้หลายรูปแบบ เช่น ถนนในเมือง ทางคู่วน (freeways) ทางหลวง (highways) ถนนวงแหวน และถนนที่มีการรวมกันของรูปแบบข้างต้น และระบบสามารถแบ่งแยกชนิดของถนนและผู้ขับขี่ได้ โดยพฤติกรรมของถนนพานะทุกๆ คันในเครือข่ายถนนนั้นจะถูกจำลองอย่างต่อเนื่องตลอดช่วงเวลาในการจำลองแบบโดยอ้างอิงกับแบบจำลองพฤติกรรมของผู้ขับขี่หลายแบบ (แบบจำลองการเคลื่อนที่ตามกันแบบจำลองการเปลี่ยนช่องทางจราจร แบบจำลองการยอมรับช่องว่าง)

Aimsun Simulator มีความสามารถในการจำลองการเกิดอุบัติเหตุ การจำลองระบบควบคุมการจราจรแบบปรับได้ เช่น SCATS, VS-PLUS, C-Regular และระบบที่ให้ความสำคัญกับระบบขนส่งสาธารณะ การใช้เครื่องมือทางการจราจร เช่น สัญญาณไฟจราจร เครื่องตรวจจับ ป้ายปรับเปลี่ยนข้อความ (VMS - Variable Message Signs) เป็นต้น การประเมินผลกระทบที่มีต่อสิ่งแวดล้อมที่เกิดจากการปล่อยมลภาวะและการใช้พลังงาน การให้รายละเอียดของผลลัพธ์ในเชิงสถิติ เช่น อัตราการไหล ความเร็ว ระยะเวลาในการเดินทาง เป็นต้น

### 2) Aimsun Modeller

Aimsun NG ถูกออกแบบมาเพื่อให้นำไปใช้กับสภาพแวดล้อมจริงได้อย่างเหมาะสม โดยสามารถนำเข้าและจัดการกับข้อมูลระบบสารสนเทศทางภูมิศาสตร์ (GIS, Geographic Information System) จากแหล่งข้อมูลหลาย ๆ แห่งได้ เช่น ESRI Tele Atlas และ NAVTEQ เป็นต้น โดยโปรแกรมจะทำการอ่านข้อมูลแคด (CAD: Computer-Aided Design) และบิตแมพ (bitmap) เข้ามาจากแหล่งข้อมูล ทำให้ผู้ใช้สามารถแก้ไขและนำเสนอโครงการได้อย่างสะดวก Aimsun สามารถทำการแปลงข้อมูลจากโปรแกรมอื่น ๆ ได้ เช่นจาก EMME/2 CONTRAM CUBE และ SATURN เป็นต้น ทั้งนี้ Aimsun NG ยังสามารถบรรจุข้อมูลการตรวจจับ ทั้งในรูปแบบอฟไลน์จากฐานข้อมูลที่มีอยู่หรือออนไลน์ในเวลาจริง (real time) เพื่อใช้กับ simulator planner หรือ โมดูล visualization

### 3) Aimsun Planner

Aimsun Planner เป็นส่วนประกอบที่ใช้ในการวิเคราะห์ความต้องการทางการจราจร โดยมีจุดประสงค์หลัก 2 ข้อคือ

- เพื่อสนับสนุนกระบวนการทั้งหมดที่จำเป็นสำหรับการคำนวณเมตริกการเดินทางต้นทาง-ปลายทาง (Origin-Destination Matrix) ซึ่งเป็นที่ต้องการโดยวิเคราะห์ความต้องการทางการจราจรเพื่อการวางแผนการขนส่ง
- ทำให้มีแพล็ตฟอร์มการคำนวณสำหรับการจัดการของเมตริกการเดินทางต้นทาง-ปลายทางเพื่อสร้างข้อมูลเข้าสู่การจำลองในระดับจุลภาค

### 4) Aimsun Server

Aimsun Server เป็น Aimsun รุ่นที่ไม่มีส่วนต่อประสานกราฟิกกับผู้ใช้ (GUI: Graphical User Interface) และสามารถเข้าถึงได้ผ่านทางเครือข่าย สำหรับเมื่อมีความต้องการในการประมวลผลที่เร็ว กว่าเวลาจริง เช่น เมื่อยูไนต์อนุษัญญาคุณภาพเพื่อตรวจสอบความถูกต้องของแผนการการจัดการการจราจรก่อนที่จะมีการนำไปใช้จริง

โดยองค์ประกอบที่จะนำมาใช้อย่างมากในงานวิจัยนี้นี้ คือ Simulator เพื่อใช้ในการจำลองแบบ โดยโปรแกรม Aimsun NG มีข้อดี คือ สามารถจำลองเครือข่ายที่มีขนาดใหญ่ได้ สามารถจำลองรูปแบบของเครือข่ายได้หลากหลาย จำนวนยานพาหนะที่สามารถจำลองได้นั้นมีจำนวนมาก สามารถใช้ในการวางแผนการจัดการการจราจรได้ สามารถจำลองโครงข่ายการจราจรที่มีความหนาแน่นและการเกิดอุบัติเหตุได้ แต่ข้อจำกัดของ Simulator คือ ในส่วนของข้อมูลสำหรับระบบช่วยเหลือในการนำทางและการให้สัญญาณสำหรับป้ายปรับเปลี่ยนข้อความ จะต้องมาจากระบบภายนอกเท่านั้น

## 2.8 งานวิจัยที่เกี่ยวข้อง

Poon & Dia (2005) ได้ทำการพัฒนาแบบจำลองจราจรระดับจุลภาคเพื่อประเมินประสิทธิภาพด้านเก็บค่าผ่านทางทางโดยใช้โปรแกรม AINSUN ที่ค่าณเก็บเงิน Brisbane และ Gateway Bridge ซึ่งเป็นค่าณเก็บเงินที่มีระบบเก็บเงินแบบ ETC 3 ช่อง ระบบ Manual 4 ช่อง และระบบสม 2 ช่อง แบบจำลองนี้ได้ทำการทดสอบและคุณภาพจากการปรับเปลี่ยนจำนวนช่องเก็บเงิน การเพิ่มขึ้นของจำนวนรถบรรทุกหนัก การเพิ่มขึ้นของจำนวนปริมาณจราจรที่ปี 2011 โดยมีวัตถุประสงค์เพื่อ

เพิ่มประสิทธิภาพในการบริการค่าผ่านทาง เก็บเงิน โดยวัดประสิทธิภาพของความล่าช้า และการเข้าระบบ ผลการวิเคราะห์ในแต่ละทางเลือกพบว่าการเพิ่มขึ้นของสัดส่วนรถบรรทุกหนักจะมีผลกระทบ เล็กน้อยต่อประสิทธิภาพของระบบ ในปี 2011 ซึ่งมีปัญหาการจราจรติดขัด และเกิดความล่าช้าที่ค่าผ่านทาง เก็บเงินมากที่สุด พบว่าทางเลือกในการแก้ปัญหาที่ 3 คือการเพิ่มจำนวนช่องเก็บเงินแบบ ETC 4 ช่อง จะสามารถช่วยลดปัญหาการจราจร ได้ดีที่สุด

Al-Deek (2001) ได้ทำการวิเคราะห์ความอ่อนไหวของความล่าช้าบริเวณค่าผ่านทาง โดยใช้แบบจำลอง TPSIM ซึ่งเป็นแบบจำลองแบบ Stochastic-oriented discrete-event โดยทำวิเคราะห์เหตุการณ์ที่แตกต่างกัน 84 เหตุการณ์ โดยเหตุการณ์ที่แตกต่างกันในการวิเคราะห์ขึ้นอยู่กับ ตัวแปร 3 ตัวแปร ได้แก่ สัดส่วนการใช้ ETC ตำแหน่งช่องเก็บเงิน และสัดส่วนปริมาณจราจร ในส่วนของปัจจัยที่ใช้วัดผลกระทบวิเคราะห์มี 3 ปัจจัย คือ การเข้าใช้ค่าผ่านทาง เก็บเงิน ความล่าช้าเฉลี่ยของรถคัน และ ความล่าช้าโดยรวมที่ค่าผ่านทาง เก็บเงิน โดยผลกระทบวิเคราะห์พบว่าหากสัดส่วนการใช้ ETC เพิ่มขึ้นร้อยละ 10 จะส่งผลให้ความล่าช้าโดยรวมที่ค่าผ่านทาง เก็บเงินลดลงร้อยละ 50 และส่งผลให้เวลาในการรอคันที่รถคันจะลดลง 90 วินาที นอกจากนี้ยังพบว่าการเคลื่อนย้ายตำแหน่งช่อง ETC ช่องเดียวไปตำแหน่งซ้ายสุดของค่าผ่านทาง เก็บเงินจะไม่ส่งผลต่อการเปลี่ยนแปลงต่อความล่าช้าที่รถคันอยู่ แต่มีนัยสำคัญ ในขณะที่ การเคลื่อนย้ายตำแหน่งช่อง ETC 2 ช่องจากช่องกลางของค่าผ่านทาง เก็บเงินไปตำแหน่งซ้ายสุดของค่าผ่านทาง เก็บเงิน จะทำให้ความล่าช้าเพิ่มขึ้น ร้อยละ 30 แต่หากเคลื่อนย้ายตำแหน่งช่อง ETC 3 ช่องจากช่องกลางของค่าผ่านทาง เก็บเงินไปตำแหน่งซ้ายสุดของค่าผ่านทาง เก็บเงินจะส่งผลให้ลดความล่าช้าลงร้อยละ 5

Van Dijk, Hermans, Teunisse และ Schuurman (1999) ได้ทำการรวบรวมการศึกษาถ่วงคันและแบบจำลอง เพื่อใช้ในการออกแบบค่าผ่านทาง เก็บเงิน โดยมีวัตถุประสงค์เพื่อจำนวน และประเภทของค่าผ่านทาง เก็บเงินในรูปแบบการเก็บเงินแบบรูปแบบเดียว และการเก็บเงินผสมผสาน โดยใช้ข้อมูลตำแหน่งระบบเก็บค่าผ่านทาง รูปแบบการเข้าใช้บริการค่าผ่านทาง เก็บเงิน เวลาการให้บริการ โดยวัดประสิทธิภาพของตำแหน่งค่าผ่านทาง เก็บเงิน โดยใช้ตัวแปรด้านเวลาในการรอใช้บริการ ความยาวถ่วงคัน และประสิทธิภาพการทำงานค่าผ่านทาง เก็บเงิน โดยกำหนดรูปแบบการเข้าช่องเก็บเงิน 3 รูปแบบ โดย รูปแบบแรกคือกำหนดให้ค่าผ่านทาง เก็บเงินสามารถชำระค่าผ่านทาง รูปแบบเดียว และแยกช่องจราจรมารูปแบบการจ่ายเงิน ซึ่งข้อดีของรูปแบบนี้คือสามารถวิเคราะห์ระบบถ่วงคันได้ง่าย แต่มีข้อเสียคือช่องจราจรไม่สามารถให้บริการได้เต็มประสิทธิภาพ ซึ่งบางช่องจราจรอาจเกิดปัญหารถเกินความจุ ในขณะที่ บางช่องจราจรมีรถวิ่งน้อย รูปแบบที่สองคือการจัดให้ค่าผ่านทาง เก็บเงินรองรับการจ่ายเงินทุกประเภท ทั้งนี้

รถทุกคันจะต้องอยู่ในแฉวคอยเดียวกัน ข้อดีของรูปแบบนี้ คือ สามารถเพิ่มประสิทธิภาพการทำงานของค่าณเก็บเงิน แต่ข้อเสีย คือ เกิดแฉวคอยที่ยาวมาก เนื่องจากมีแฉวคอยเดียวกันนี้ขึ้นกับตัวแปรเวลาในการให้บริการแต่ละค่าณ รูปแบบที่สาม เป็นการทดสอบระหว่างสองรูปแบบคือกำหนดให้ช่องเก็บเงินมีรูปแบบการจ่ายเงินหลักไว้ โดยสามารถเปลี่ยนรูปแบบการจ่ายเงินได้ หากช่องเก็บเงินอีกรูปแบบมีการให้บริการเกินความจุ ทั้งนี้จะต้องแยกช่องจราจรมาตรตามรูปแบบการจ่ายเงิน โดยข้อดีรูปแบบนี้คือจะเกิดความสมดุลการประสิทธิภาพการทำงานแต่ละช่องเก็บเงิน ลดความแปรปรวนของเวลาให้บริการให้น้อยลง ผลการศึกษาพบว่า เมื่อมีการเปลี่ยนแปลงระบบเก็บเงินจากรูปแบบเดียว ให้เป็นระบบทดสอบใน 1 ช่องเก็บเงิน จะทำให้ความต้องการจำนวนช่องเก็บเงินน้อยลง

Chao (2000) ได้อธิบายถึงประเด็นการออกแบบค่าณเก็บเงินบนทางหลวง โดยผู้เขียนได้วิเคราะห์การออกแบบหลาย ๆ ค่าณเพื่อค้นหารูปแบบที่ดีที่สุด ภายใต้ข้อจำกัดในการวางแผนของช่องเก็บเงิน โดยผลการทดลอง Chao ได้อธิบายถึง ความล่าช้าเฉลี่ย เวลาการออกค่าโดยสารในการเข้าช่องเก็บเงิน ว่าไม่ได้รับผลกระทบจากการวางแผนของช่องเก็บเงินที่มีรูปแบบการเก็บเงินที่ต่างกัน

Ito (2005) ได้ทำการพัฒนาระบบการสร้าง Simulation model ค่าณเก็บค่าผ่านทาง โดยใช้โปรแกรม ARENE 6.0 เพื่อวิเคราะห์เวลาในการเดินทางบริเวณค่าณเก็บค่าผ่านทาง โดยทำการแบ่งกรณีศึกษา 3 กรณี คือ กรณีที่ 1 เป็นการติดตั้งตู้เก็บค่าผ่านทางแบบ Manual อายุต่อเดียว 4 ตู้ กรณีที่ 2 เป็นการติดตั้งตู้เก็บค่าผ่านทางแบบ Manual 3 ตู้ และ ETC 1 ตู้ กรณีที่ 3 เป็นการติดตั้งตู้เก็บค่าผ่านทางแบบ Manual 3 ตู้ และแบบทดสอบชั่วโมงต่อช่องจราจร พนบว่า กรณีที่ 2 รถที่ใช้ช่อง ETC จะใช้เวลาในการเดินทางผ่านค่าณเก็บค่าผ่านทางน้อยกว่ากรณีที่ 1 และ 3 แต่รถที่ช่อง Manual ในกรณีที่ 2 จะใช้เวลาในการเดินทางผ่านค่าณเก็บค่าผ่านทางมากกว่ากรณีที่ 1 และ 3 โดยรถที่ใช้ช่อง Manual ในกรณีที่ 1 จะใช้เวลาในการเดินทางผ่านค่าณเก็บค่าผ่านทางเท่ากับกรณีที่ 3 และ เมื่อปริมาณรถเพิ่มขึ้นเป็น 1,000 คันต่อชั่วโมงต่อช่องจราจร พนบว่าการติดตั้งตู้เก็บค่าผ่านทางแบบ ETC จะทำให้ใช้เวลาในการเดินทางเพิ่มมากขึ้นกว่ากรณีติดตั้งตู้เก็บค่าผ่านทางแบบ Manual อายุเดียว และกรณีติดตั้งตู้เก็บค่าผ่านทางแบบทดสอบพสมพาน นอกจากนี้ได้ทำการทดสอบเปรียบเทียบเวลาในการเดินผ่านค่าณเก็บเงินในกรณี 2 และกรณีที่ 3 ในปริมาณรถเข้าค่าณที่แตกต่างกัน ผลการทดสอบพนบว่า เมื่อปริมาณจราจรมากกว่า 800 คันต่อชั่วโมงต่อช่องจราจร จะส่งผลให้เวลาในการเดินทางในกรณีติดตั้งตู้ ETC จะมากกว่ากรณี ติดตั้งตู้แบบทดสอบพสมพาน

## บทที่ 3

### วิธีดำเนินงานวิจัย

การศึกษานี้ได้ทำการจำลองสถานการณ์การจัดซื้องเก็บค่าผ่านทางให้มีความเหมาะสมกับสภาพการจราจร ดังนั้นวิธีดำเนินงานสำหรับการศึกษานี้จึงประกอบด้วย การพัฒนาแบบจำลองโดยใช้โปรแกรม Aimsun การรวบรวมข้อมูลที่จำเป็นต้องใช้สำหรับสร้างโครงข่ายในแบบจำลอง การจัดสัดส่วนของประเภทรถ การสร้างปริมาณการเดินทาง การกำหนดการให้บริการซ่องเก็บค่าผ่านทาง หลังจากนั้นทำการปรับแก้และตรวจสอบความถูกต้องของแบบจำลองเพื่อให้ได้แบบจำลองที่ใกล้เคียงความเป็นจริงมากที่สุด ในส่วนสุดท้ายเป็นการนำเสนอการประยุกต์ใช้งานแบบจำลองในการจัดซ่องเก็บค่าผ่านทาง ซึ่งได้ออกแบบสถานการณ์ต่าง ๆ เพื่อเป็นทางเลือกในการประเมินผล

#### 3.1 พื้นที่ศึกษา

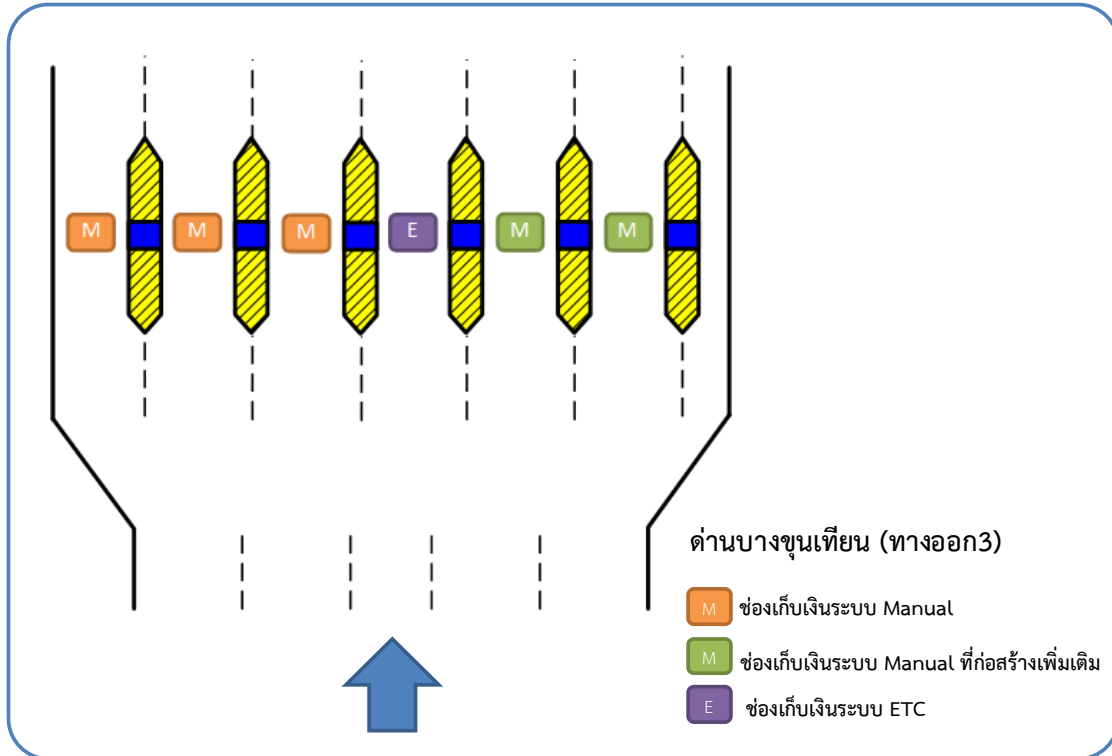
การวิจัยนี้ได้ศึกษาถึงความเหมาะสมของ การกำหนดจำนวนช่องเก็บเงิน และการจัดวางตำแหน่งของช่องเก็บเงินในแต่ละประเภท ให้มีความเหมาะสมและเกิดประสิทธิภาพสูงสุด โดยเลือกศึกษาค่าณเก็บเงินที่มีปัญหาสภาพจราจรติดขัดในปัจจุบัน จึงกำหนดให้ค่าณเก็บเงิน บางบุนเทียน ทางออก 3 ของทางคู่นพิเศษหมายเลข 37 ช่วงบางพลี-สุขสวัสดิ์ (รูปที่ 3.1) เป็นกรณีศึกษา เนื่องจากเป็นเส้นทางสำคัญในการกระจายสินค้าไปยังภาคใต้ของประเทศไทย และยังคงเกิดสภาพการจราจรติดขัดขึ้น โดยมีปริมาณจราจรเฉลี่ย 18,000 คันต่อวัน โดยเฉพาะในช่วงเวลา 08:00-11:00 น. ซึ่งเป็นช่วงชั่วโมงเร่งด่วนที่มีจำนวนรถเข้ามาใช้บริการจำนวนมาก เฉลี่ยประมาณ 1,800 คัน/ชม. จนเกินความจุที่ค่าณเก็บเงินรองรับได้ ทำให้เกิดปัญหาการติดขัดบริเวณหน้าค่าณ ไม่สามารถบรรบายนรถได้ทัน ดังรูปที่ 3.2 เมื่อจะมีการติดตั้งช่องเก็บเงินค่าผ่านทางอัตโนมัติ (ETC) ร่วมกับช่องเก็บเงินโดยพนักงาน (Manual) และได้มีการแก้ไขปัญหาการจราจรดังกล่าว โดยการเพิ่มช่องเก็บเงินแบบ Manual จำนวน 2 ช่อง ทำให้มีช่องเก็บเงินทั้งสิ้น 6 ช่อง แบ่งเป็นระบบ Manual จำนวน 5 ช่อง และช่อง ETC จำนวน 1 ช่อง ดังรูปที่ 3.3 แต่ยังมีปัญหาสภาพการจราจรติดขัดบริเวณหน้าค่าณอยู่ โดยเฉพาะในเวลาเร่งด่วน รวมทั้งข้อจำกัดทางค่าณพื้นที่ในการเพิ่มจำนวนช่องเก็บเงินให้สอดคล้องกับสภาพจราจรในอนาคต จึงเป็นที่มาในการศึกษาเพื่อทำการวิเคราะห์รูปแบบการติดตั้งช่องเก็บค่าผ่านทางที่มีความเหมาะสม เพื่อให้เกิดความล่าช้าเฉลี่ยในการเดินทางน้อยที่สุดในการผ่านช่องเก็บค่าผ่านทาง



รูปที่ 3.1 พื้นที่ศึกษา ด้านเก็บเงินบางชุนเทียน ทางหลวงพิเศษหมายเลข 37



รูปที่ 3.2 สภาพการจราจรบริเวณด้านเก็บเงินบางชุนเทียนทางออก 3



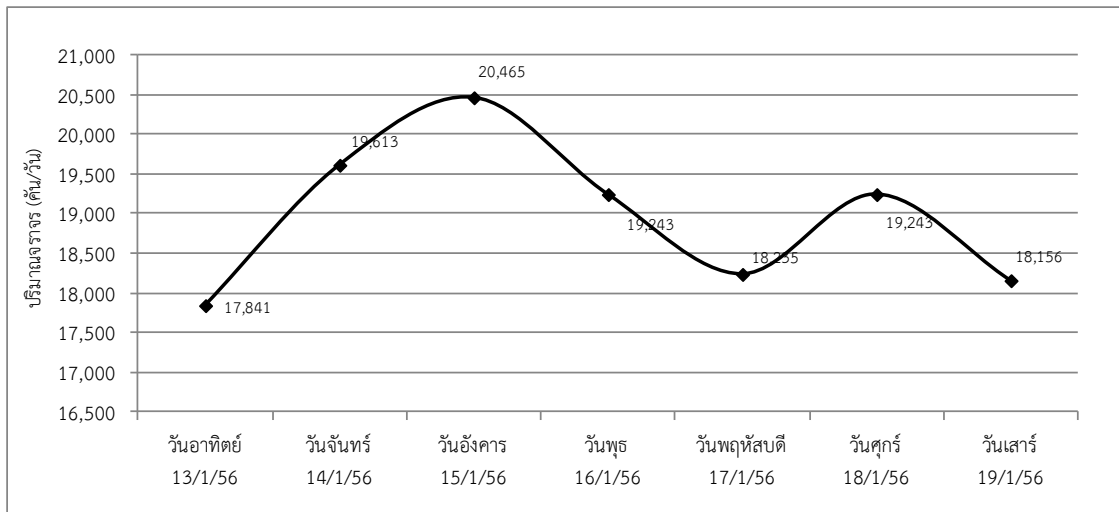
รูปที่ 3.3 ตำแหน่งและจำนวนของช่องเก็บค่าผ่านทางแต่ละประเภทในปัจจุบัน

## 3.2 การเก็บรวมข้อมูล

### 3.2.1 การเก็บข้อมูลปริมาณการเดินทาง

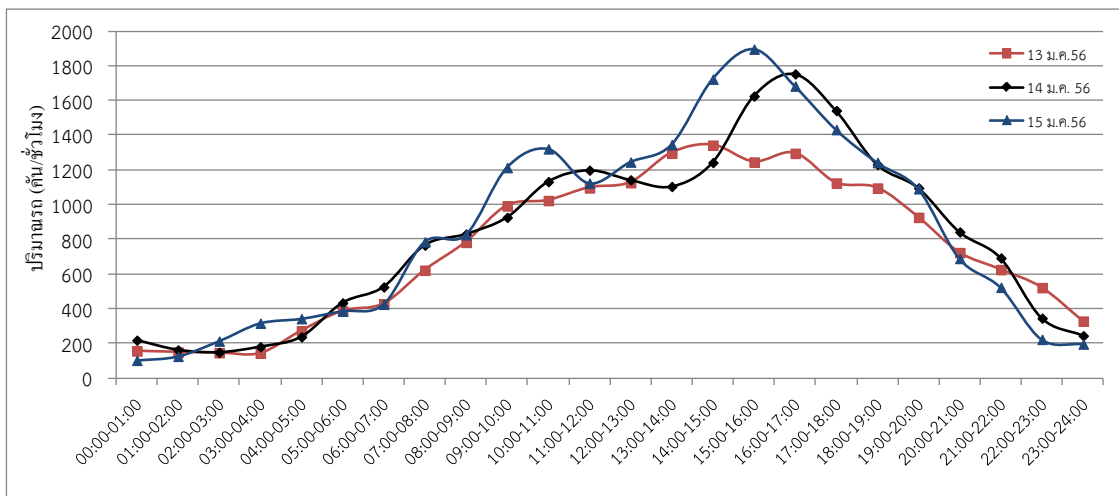
ในการศึกษานี้ได้ทำการรวบรวมข้อมูลปริมาณรถที่ผ่านด่านเก็บเงินบางขุนเทียนทางออก 3 ในรอบสัปดาห์ ช่วงวันที่ 13-19 มกราคม 2556 ดังรูปที่ 3.4 ที่ได้ความอนุเคราะห์ข้อมูลจากการทางพิเศษแห่งประเทศไทย เพื่อทำการคัดเลือกปริมาณจราจรในรอบสัปดาห์ ในการวิเคราะห์ปรับปรุงช่องเก็บค่าผ่านทาง

จากรูปที่ 3.4 ในการศึกษานี้ได้ทำการคัดเลือกปริมาณจราจรที่ผ่านด่านเก็บค่าผ่านทาง ในช่วงวันที่ 13-15 มกราคม 2556 เพื่อเป็นตัวแทนในวันธรรมด้า วันหยุด และวันที่มีปริมาณจราจรสูงสุด โดยเลือกช่วงเวลา 15:00-18:00 น. ซึ่งเป็นช่วงที่มีปริมาณจราจรสูงสุด ดังรูปที่ 3.5 เพื่อใช้ในการทดสอบ ความถูกต้องของแบบจำลอง



รูปที่ 3.4 ปริมาณจราจรรายวันที่ผ่านด่านเก็บเงินบางขุนเทียนทางออก 3  
ในช่วงวันที่ 13-19 มกราคม 2556

ในการศึกษานี้ได้ทำการแบ่งประเภทรถเป็น 3 ประเภท ได้แก่ รถยนต์ส่วนบุคคล รถบรรทุก และรถใช้ระบบ ETC โดยมีสัดส่วนรถที่ผ่านด่านเก็บเงินดังตารางที่ 3.1 ซึ่งพบว่าในช่วงชั่วโมงเร่งด่วนจะมีรถเข้าใช้บริการเฉลี่ย 1,665 คัน/ชม. แบ่งเป็นรถประเภทรถยนต์ส่วนบุคคล ประมาณ 54 % รถบรรทุกประมาณ 24 % รถใช้ระบบ ETC ประมาณ 22 %



รูปที่ 3.5 ปริมาณจราจรรายชั่วโมงที่ผ่านด่านเก็บเงินบางขุนเทียนทางออก 3  
ในช่วงวันที่ 13-15 มกราคม 2556

### ตารางที่ 3.1 สัดส่วนประเภทรถที่ผ่านด่านเก็บค่าผ่านทางในช่วงเวลาเร่งด่วน ของวันที่ 13-15

มกราคม 2556

| ประเภทรถ                |             | 13 ม.ค. 56         |                    |                    | 14 ม.ค. 56         |                    |                    | 15 ม.ค. 56         |                    |                    |
|-------------------------|-------------|--------------------|--------------------|--------------------|--------------------|--------------------|--------------------|--------------------|--------------------|--------------------|
|                         |             | 15:00-<br>16:00 น. | 16:00-<br>17:00 น. | 17:00-<br>18:00 น. | 15:00-<br>16:00 น. | 16:00-<br>17:00 น. | 17:00-<br>18:00 น. | 15:00-<br>16:00 น. | 16:00-<br>17:00 น. | 17:00-<br>18:00 น. |
| บุริમាណรถรวม (ทั้น/ชม.) |             | 1,245              | 1,295              | 1,124              | 1,896              | 1,683              | 1,432              | 1,625              | 1,753              | 1,542              |
| จำนวนผู้ใช้รถ<br>ประจำ  | ระบบ Manual | 61.50%             | 66.03%             | 62.61%             | 41.01%             | 43.36%             | 51.78%             | 54.24%             | 53.50%             | 50.93%             |
|                         | รถบรรทุก    | 22.67%             | 17.31%             | 7.08%              | 42.86%             | 38.74%             | 31.61%             | 22.97%             | 21.03%             | 14.81%             |
|                         | รถ ETC      | 15.83%             | 16.67%             | 30.31%             | 16.14%             | 17.89%             | 16.61%             | 22.79%             | 25.47%             | 34.26%             |

#### 3.2.2 การเก็บข้อมูลอัตราการให้บริการช่องเก็บค่าผ่านทาง

ในการศึกษานี้ได้ทำการสำรวจเวลาให้บริการของช่องเก็บเงิน ด้วยการสุ่มนับเวลาการให้บริการของรถแต่ละคันที่ผ่านช่องเก็บค่าผ่านที่ชำระค่าผ่านทางระบบ Manual แต่ละช่อง ในวันที่ 15 มกราคม 2556 ดังตารางที่ 3.2 ผลการวิเคราะห์พบว่าอัตราการให้บริการช่องเก็บเงินระบบ Manual ได้ค่า เนลลี่ยาร์ให้บริการของช่องเก็บค่าผ่านทางระบบ Manual เท่ากับ 14.22 วินาที/คัน โดยมีค่า Standard deviation เท่ากับ 2.233 วินาทีต่อคัน

#### 3.3 การพัฒนาแบบจำลอง

ผู้จัดฯ ได้ทำการคัดเลือกแบบจำลองจากรายโดยใช้โปรแกรม Aimsun ดังได้กล่าวถึงรายละเอียดไว้ในบทที่ 2 ทั้งนี้การพัฒนาแบบจำลองจากรายโดยใช้โปรแกรม Aimsun เพื่อใช้ในการจำลองสภาพจราจรของพื้นที่ศึกษามีขั้นตอนดังต่อไปนี้

##### 3.3.1 การสร้างโครงข่ายแบบจำลอง

เป็นกระบวนการสร้างแบบจำลองลักษณะทางกายภาพของด่านเก็บค่าผ่านทาง เพื่อให้ใกล้เคียงสภาพการจริงมากที่สุด ประกอบด้วยข้อมูลลักษณะರ\_exact ของพื้นที่ศึกษา เช่นข้อมูล ช่องจราจรช่องจราจร ลักษณะช่องทาง ความกว้าง ความยาวในแต่ละช่องทาง ฯลฯ ซึ่งได้รวบรวมข้อมูลจากการทางพิเศษ หลังจากนั้นนำเข้าແນที่ภาพถ่ายทางอากาศ เพื่อใช้ในการกำหนดตำแหน่งต่างๆในรูปแผนที่ทับซ้อน (Overlay) เพื่อใช้ในการพัฒนาแบบจำลองโครงข่ายในส่วน Modeler ของโปรแกรม Aimsun ต่อไป รูปที่ 3.6 แสดงหน้าจอของโปรแกรม Aimsun หลังจากทำการใส่ข้อมูล ภาพภาพและสภาพจราจรของพื้นที่ศึกษาเรียบร้อยแล้ว

ตารางที่ 3.2 ผลการวิเคราะห์อัตราการให้บริการช่องเก็บเงินระบบ Manual และช่องเก็บค่าผ่านทาง

| No.   | ตู้ No.1 | ตู้ No.2 | ตู้ No.3 | ตู้ No.5 | ตู้ No.6 |
|---|----------|----------|----------|----------|----------|
| 1   | 14.3     | 15.2     | 13.5     | 14.8     | 12       |
| 2   | 11.5     | 18.3     | 12.6     | 13.1     | 18.6     |
| 3   | 12.6     | 15       | 12.2     | 13       | 11.7     |
| 4   | 23.4     | 21       | 12.7     | 13.5     | 13.3     |
| 5   | 22.5     | 16.4     | 13.2     | 14       | 16.2     |
| 6   | 14.5     | 13.6     | 13.2     | 13.7     | 14.6     |
| 7   | 12.2     | 14.6     | 14.1     | 13.1     | 15.5     |
| 8   | 11.7     | 15.2     | 13.7     | 12.5     | 14.4     |
| 9   | 12.2     | 14.6     | 14.9     | 15.5     | 14.1     |
| 10  | 12.5     | 16.2     | 14.8     | 14.2     | 13.2     |
| 11  | 15.4     | 14.5     | 14.9     | 13.5     | 13.5     |
| 12  | 15.4     | 11.2     | 18.8     | 13.1     | 15.3     |
| 13  | 13.1     | 15.5     | 13.5     | 13.5     | 15.2     |
| 14  | 12.3     | 12.5     | 13.1     | 13.5     | 11.6     |
| 15  | 14.7     | 13.8     | 11.9     | 14.2     | 14.6     |
| 16  | 14       | 11.4     | 13.4     | 13.3     | 14.7     |
| 17  | 14.4     | 13.3     | 15.5     | 11.8     | 12.5     |
| 18  | 20.7     | 12.4     | 12.6     | 13.8     | 15.5     |
| 19  | 14.1     | 16.1     | 11.2     | 12.3     | 13.4     |
| 20  | 17       | 14       | 11.6     | 14.8     | 16.7     |
| 21  | 17       | 12.2     | 13.1     | 13.5     | 17.9     |
| 22  | 11.3     | 15.8     | 11.7     | 15       | 11.4     |
| 23  | 17.5     | 11.3     | 14.4     | 12.5     | 12.3     |
| 24  | 11.6     | 12       | 13.8     | 13.7     | 13.8     |
| 25  | 16.1     | 16.5     | 14.8     | 13.7     | 20.4     |
| 26  | 13.8     | 12.4     | 12.8     | 11.5     | 12.6     |
| 27  | 13.8     | 13.6     | 12.5     | 12.3     | 11.9     |
| 28  | 13.4     | 13.3     | 14.3     | 15.5     | 14.1     |
| 29  | 13.9     | 14.7     | 16.6     | 14.4     | 18.1     |
| 30  | 17.9     | 15.6     | 12.2     | 20.8     | 15.4     |
| Avg.  | 14.827   | 14.407   | 13.587   | 13.803   | 14.483   |
| St.Dev.   | 3.103    | 2.158    | 1.587    | 1.650    | 2.239    |
| Max.  | 23.4     | 21       | 18.8     | 20.8     | 20.4     |
| Min.  | 11.3     | 11.2     | 11.2     | 11.5     | 11.4     |
| <b>Avg.=14.22 sec. St.Dev.=2.233 Max=23.4 sec Min=11.2 sec.</b> |          |          |          |          |          |



รูปที่ 3.6 แสดงลักษณะกายภาพของค่านเก็บค่าผ่านทาง ด้วยโปรแกรม Aimsun

### 3.3.2 การกำหนดปริมาณการเดินทาง

ขั้นตอนนี้เป็นการกำหนดปริมาณการเดินทางจากโซนศ้นทางไปยังโซนปลายทางรวมไปถึงสัดส่วนของรถแต่ละประเภท

### 3.3.3 การกำหนดอัตราการให้บริการช่องเก็บค่าผ่านทาง

ในการสร้างแบบจำลอง ได้กำหนดให้เครื่องมือ Ramp metering แทนแบบจำลองด้านเก็บเงินเนื่องจากมีลักษณะการทำงานใกล้เคียงมากที่สุด โดยกำหนดให้เวลาให้บริการของช่องเก็บค่าผ่านทางระบบ Manual แต่ละช่อง เท่ากับ 14.22 วินาทีต่อคัน และค่า Standard deviation เท่ากับ 2.233 วินาทีต่อคัน ซึ่งได้จากการเก็บข้อมูลในหัวข้อที่ 3.3.2 ในส่วนของช่องเก็บค่าผ่านทางระบบ ETC กำหนดให้ไม่มีเครื่องมือ Ramp metering เนื่องจากในสภาพจริงรถที่ใช้ระบบ ETC ไม่จำเป็นต้องหยุดบริเวณด้านเก็บค่าผ่านทางแต่ได้กำหนดความเร็วไว้ที่ด้านให้ว่างไม่เกิน 30 กิโลเมตรต่อชั่วโมง เนื่องจากรถต้องชะลอความเร็วเมื่อเข้าด้านเก็บค่าผ่านทาง

### 3.4 การตรวจสอบและปรับเทียบแบบจำลอง (Model Calibration)

การปรับเทียบแบบจำลองให้สอดคล้องกับสภาพความเป็นจริง (Calibration) โดยใช้ข้อมูลการจราจรที่ได้สำรวจไว้ และการทดสอบความน่าเชื่อถือและความแม่นยำของแบบจำลองที่ได้ทำการปรับแก้แล้ว (Validation) มีวัตถุประสงค์เพื่อให้แบบจำลองที่สร้างขึ้นสามารถสะท้อนสภาพการจราจรที่แท้จริงของพื้นที่ศึกษาแต่ละพื้นที่ให้ใกล้เคียงที่สุดเท่าที่จะทำได้ เพื่อให้ผลลัพธ์จากการวิเคราะห์หรือประเมินประสิทธิภาพแนวทางแก้ไขปัญหาระดับด้วยแบบจำลองมีระดับความถูกต้องน่าเชื่อถือสูง การปรับเทียบแบบจำลองทำโดยการประมวลผลแบบจำลองช้าๆ ด้วยค่าพารามิเตอร์ต่างๆ ในแบบจำลองที่ปรับเปลี่ยน จนได้ค่าพารามิเตอร์ที่ให้ผลการจำลองสภาพจราจรได้ใกล้เคียงกับสภาพจราจรจริงมากที่สุด ซึ่งการปรับเทียบนี้มีความจำเป็นอย่างยิ่ง เนื่องจากโปรแกรมจำลองสภาพจราจรเองไม่สามารถครอบคลุมทุกปัจจัยที่มีผลต่อสภาพจราจรได้ครบถ้วน โดยเฉพาะปัจจัยที่เป็นปัจจัยเฉพาะของแต่ละพื้นที่ ดังนั้นเป้าหมายของการปรับเทียบ คือการหาค่าของกลุ่มพารามิเตอร์สำหรับแบบจำลองที่ได้ผลลัพธ์การจำลองสภาพจราจรที่ดีที่สุด

สิ่งที่ต้องคำนึงถึงในการปรับเทียบแบบจำลอง ได้แก่

- 1) การกำหนดระดับความถูกต้องของการปรับเทียบ
- 2) การเลือกพารามิเตอร์สำหรับปรับเทียบที่เหมาะสม
- 3) การเลือกค่าของพารามิเตอร์ที่มีผลต่อสภาพจราจร อันได้แก่ ความจุของถนน การเลือกเส้นทาง
- 4) ปรับเทียบแบบจำลองโดยรวม โดยปรับเทียบสภาพจราจรต่างๆ เช่น เวลาในเดินทาง ความล่าช้า และความขาว黑夜อย

#### 3.4.1 การปรับแก้แบบจำลอง

เมื่อทำการพัฒนาแบบจำลองแล้วสิ่นขั้นตอนต่อไปจะต้องทำการปรับแก้แบบจำลองให้มีความสอดคล้องใกล้เคียงกับสภาพการจราจรที่เป็นจริงมากที่สุด การปรับแก้แบบจำลองเป็นขั้นตอนที่อาศัยความสามารถในการปรับแก้แบบจำลองให้มีความเหมาะสม โดยการปรับเปลี่ยนตัวแปรต่างๆ โดยผู้ใช้งานทั้งนี้เนื่องจากค่าที่โปรแกรมกำหนดมาอาจไม่สอดคล้องกับสภาพจริง การปรับแก้นี้จะต้องปรับแก้องค์ประกอบ 3 ประเภท ได้แก่

- 1) แบบจำลองการเคลื่อนตัวตามกันของรถ (Car Following Model)
- 2) แบบจำลองการเปลี่ยนช่องทางจราจร (Lane Changing Model)
- 3) แบบจำลองการยอมรับระยะระหว่างรถ (Gap Acceptance Model)

ทั้งนี้การปรับแก้ดังกล่าวค่อนข้างมีความยุ่งยาก ทางเลือกหนึ่งคือ การคัดเลือกตัวแปรที่มักจะใช้เป็นตัวแปรหลักในการปรับแก้ อาทิ พฤติกรรมความก้าวเร็วของผู้ขับขี่ (Driver Aggression) ความตระหนักของผู้ขับขี่ (Driver Awareness) ความเร่งและความหน่วงของyanพาหนะ ความเร็ว yanพาหนะ ระยะห่างระหว่างรถ (Headway) และระยะเวลาตอบสนอง (Reaction Time) แต่อย่างไรก็ดีตัวแปรที่มีความสำคัญที่สุดที่ควรใช้ในการปรับแก้แบบจำลองได้แก่ ระยะห่างระหว่างรถและระยะเวลาตอบสนอง (Prabnasak, Yue, & Australia, 2001)

การปรับแก้แบบจำลองมีขั้นตอนอันประกอบด้วยการปรับแก้กระบวนการรันแบบจำลอง การตรวจสอบลักษณะโครงข่ายร่วมกับการสังเกตพฤติกรรมการขับขี่สภาพแวดล้อมทั่วไปของแบบจำลอง ซึ่งดำเนินการในส่วนของ Modeler หลังจากที่ได้ทำการปรับแก้ในขั้นต้นแล้ว กระบวนการปรับแก้โดยใช้การทดสอบผลลัพธ์ของแบบจำลอง ประกอบด้วยการรันแบบจำลองโดยการเปลี่ยนแปลงค่าตั้งต้นและเปลี่ยนค่าพารามิเตอร์ต่าง ๆ เช่น ค่าระยะห่างระหว่างรถและระยะเวลาตอบสนอง เพื่อให้ได้ผลลัพธ์ต้องตามหลักสถิติ ทั้งนี้ในการปรับเปลี่ยนค่าพารามิเตอร์นั้นผู้ใช้สามารถเปลี่ยนค่าตัวแปรหลักในแบบจำลองพื้นฐานได้เช่นกัน โดยเปลี่ยนแบบจำลองการเคลื่อนตัวของรถแบบจำลองการเปลี่ยนช่องทาง แบบจำลองการยอมรับระยะห่างระหว่างรถในโปรแกรม เพื่อให้ได้แบบจำลองที่สอดคล้องกับความเป็นจริงมากที่สุด สำหรับการศึกษาครั้งนี้ถือว่าตัวแปรทางด้านการจราจรมีความละเอียดสูงและมีหลายตัวแปรซึ่งต้องอาศัยเวลาในการปรับเปลี่ยนแบบจำลองตั้งกล่าว จึงเลือกตัวแปรที่มีความสำคัญเพียง 2 ตัวได้แก่ ค่าระยะห่างระหว่างรถและระยะเวลาตอบสนอง (Gardes, May, Dahlgren, & Skabardonis, 2002)

ค่าเดิมที่โปรแกรมกำหนดสำหรับค่าระยะห่างระหว่างรถและระยะเวลาตอบสนอง ถูกกำหนดไว้ที่ 1.0 วินาที แต่อย่างไรก็ตามมีการศึกษานทางด่วน I-405 ประเทศสหรัฐอเมริกาที่ให้ค่าระยะห่างระหว่างรถเท่ากับ 1.65 วินาทีและค่าระยะเวลาตอบสนอง 0.42 วินาทีอกจากนี้ (Gardes, et al., 2002) พบว่าที่ San Francisco บนทางด่วน I-80 ให้ค่าระยะห่างระหว่างรถเท่ากับ 0.68 วินาทีและค่าระยะเวลาตอบสนอง 0.60 วินาที สำหรับการศึกษาครั้งนี้พบว่าค่าทั้งสองเป็นค่าที่ได้ศึกษาในต่างประเทศอาจมีความไม่เหมาะสมกับพฤติกรรมการขับขี่ที่แท้จริงของประเทศไทย ทั้งนี้ (Junsuwan, 2001) ได้มีการศึกษาในด้านการประเมินระบบควบคุมสัญญาณไฟแบบเป็นพื้นที่ในกรุงเทพมหานครด้วยการจำลองคอมพิวเตอร์ซึ่งเป็นการศึกษาในพื้นที่ย่านธุรกิจพบว่าให้ค่าระยะห่างระหว่างรถเท่ากับ 1.3 วินาที และระยะเวลาตอบสนองมีค่า 1.3 วินาที ทว่าในการศึกษานี้ได้ทำการศึกษานระบบทางพิเศษซึ่งพุติกรรมต่าง ๆ ย่อมมีความแตกต่างระบบโครงข่ายถนนด้านล่าง จึงได้ทำการศึกษาค่าทั้งสองอีกด้วย โดยอาศัยช่วงที่มีการศึกษาไว้แล้วดังที่ได้กล่าวมา

### 3.4.2 การตรวจสอบความถูกต้อง (Model Validation)

ก่อนที่จะมีการนำแบบจำลองที่ได้นำไปประยุกต์ใช้ จำเป็นจะต้องมีการตรวจสอบความถูกต้องของแบบจำลองอีกครั้งถึงความสามารถของแบบจำลองในการแสดงผล ไม่ว่าจะในกระบวนการรันโปรแกรมควรที่จะมีการตรวจสอบหาความผิดพลาดจากการกำหนดค่าต่าง ๆ (Coding Error) และตรวจสอบความคลื่อนตัวของယาดยาน การทำงานของระบบโดยรวมว่าสมเหตุสมผลหรือไม่ อาริเช่นการตรวจสอบความถูกต้องของแบบจำลองโดยการจำลองโครงข่ายในระดับจุลภาค (Microscopic) การวิเคราะห์ค่าปริมาณรถที่ผ่านด้านเก็บค่าผ่านทาง โดยทำการเปรียบเทียบผลกับข้อมูลจริงจากภาคสนาม โดยใช้หลักการทดสอบทางสถิติ (Gardes, et al., 2002)

จากการพัฒนาแบบจำลองโดยการกำหนดลักษณะทางกายภาพระบบทางพิเศษพร้อมกับการปรับเปลี่ยนลักษณะการควบคุมช่องทางต่าง ๆ เพื่อให้มีลักษณะที่ใกล้เคียงกับความเป็นจริงมากที่สุด ได้มีการทดสอบเพื่อหาค่าพารามิเตอร์ทางด้านจราจรเพื่อให้ได้ผลที่ใกล้เคียงสภาพความเป็นจริงมากที่สุด โดยในกระบวนการปรับแก้แบบจำลองได้มีการปรับเปลี่ยนค่าระยะห่างระหว่างรถและระยะเวลาตอบสนองในการประมวลผล ร่วมกับการเปลี่ยนค่าตั้งต้น โดยผลที่ได้นำมาวิเคราะห์คือค่าปริมาณรถที่ผ่านด้านเก็บค่าผ่านทาง

โดยกำหนดค่าระยะห่างระหว่างรถในช่วง 0.4 ถึง 1.2 วินาที และค่าระยะเวลาตอบสนองในช่วง 0.4 ถึง 2.1 วินาที ทำการประมวลผลโดยทำการทดสอบค่าปริมาณรถที่ผ่านด้านเก็บค่าผ่านทาง โดยผลที่ได้จากแบบจำลองจะถูกนำไปเปรียบเทียบกับค่าที่ได้จากการสำรวจในภาคสนาม ทั้งนี้ผลกระบวนการปรับแก้แบบจำลองโดยกำหนดค่าระยะห่างระหว่างรถและค่าระยะเวลาตอบสนองที่มีความเหมาะสมมีค่า 0.7 และ 1.2 วินาที ตามลำดับ ดังในตารางที่ 3.3 ซึ่งแสดงค่าเบริญบีริบปริมาณรถที่ผ่านด้านเก็บค่าผ่านทางจากแบบจำลอง และค่าที่สำรวจได้จากการสำรวจ ช่วงเร่งด่วนเย็นเวลา 16.00-17.00 น. ของวันที่ 13-15 มกราคม 2556 โดยการพิจารณาค่า GEH (Quadstone, 2003) ซึ่งเป็นค่าทางสถิติที่พัฒนามาจากสถิติไคสแควร์ (Chi-squared) เพื่อใช้การเปรียบเทียบค่าในกระบวนการปรับแก้แบบจำลอง (Quadstone, 2003) ดังสมการที่ 1 ซึ่งค่านี้ได้ผ่านการประเมินผลเบริญบีริบและความสอดคล้องกับข้อมูลในภาคสนาม สามารถสรุปผลด้านการจราจรที่ได้จากการประเมินผลด้วยแบบจำลอง และสามารถสรุปผลด้านการจราจรในพื้นที่ส่วนข่ายภายใต้ระดับปริมาณจราจรที่ทำการศึกษา

$$GEH = \sqrt{\frac{(Simulated - Observed)^2}{0.5 * (Simulated + Observed)}}$$
สมการที่ 1

|       |          |                   |
|-------|----------|-------------------|
| เมื่อ | GEH < 5  | ผ่านการพิจารณา    |
|       | 5<GEH<10 | ต้องตรวจสอบใหม่   |
|       | 10<GEH   | ไม่ผ่านการพิจารณา |

ตารางที่ 3.3 เปรียบเทียบผลการปรับแก้แบบจำลองโดยกำหนดค่าระยะห่างระหว่างรถ 0.7 วินาทีและค่าระยะเวลาตอบสนอง 1.2 วินาที ตามลำดับ

| วันที่     | ช่องจราจร       | แบบจำลอง | สำรวจจริง | GEH   |
|------------|-----------------|----------|-----------|-------|
| 13-ม.ค.-56 | ช่อง 1 (Manual) | 196      | 218       | 1.529 |
|            | ช่อง 2 (Manual) | 212      | 192       | 1.407 |
|            | ช่อง 3 (Manual) | 256      | 232       | 1.536 |
|            | ช่อง 4 (ETC)    | 1,290    | 1,262     | 0.784 |
|            | ช่อง 5 (Manual) | 292      | 243       | 2.996 |
|            | ช่อง 6 (Manual) | 248      | 278       | 1.850 |

| วันที่     | ช่องจราจร       | แบบจำลอง | สำรวจจริง | GEH   |
|------------|-----------------|----------|-----------|-------|
| 14-ม.ค.-56 | ช่อง 1 (Manual) | 182      | 215       | 2.342 |
|            | ช่อง 2 (Manual) | 197      | 234       | 2.520 |
|            | ช่อง 3 (Manual) | 248      | 326       | 4.604 |
|            | ช่อง 4 (ETC)    | 963      | 1,069     | 3.326 |
|            | ช่อง 5 (Manual) | 236      | 296       | 3.679 |
|            | ช่อง 6 (Manual) | 221      | 181       | 2.821 |

| วันที่     | ช่องจราจร       | แบบจำลอง | สำรวจจริง | GEH   |
|------------|-----------------|----------|-----------|-------|
| 15-ม.ค.-56 | ช่อง 1 (Manual) | 203      | 182       | 1.514 |
|            | ช่อง 2 (Manual) | 198      | 172       | 1.912 |
|            | ช่อง 3 (Manual) | 246      | 269       | 1.433 |
|            | ช่อง 4 (ETC)    | 913      | 1,042     | 4.126 |
|            | ช่อง 5 (Manual) | 235      | 283       | 2.983 |
|            | ช่อง 6 (Manual) | 228      | 273       | 2.843 |

จากการตรวจสอบความถูกต้องของแบบจำลอง กับข้อมูลจริงภาคสนาม ดังตารางที่ 3.3 ซึ่งให้เห็นว่า แบบจำลองที่ออกแบบขึ้นจากการศึกษารั้งนี้มีความถูกต้องอยู่ในเกณฑ์ที่ยอมรับได้ (GEH <5) ซึ่งแสดงให้เห็นว่าแบบจำลอง Aimsun สามารถนำไปประยุกต์ใช้ในการบริการค่าผ่านทางได้

### 3.5 การจำลองสถานการณ์

ในหัวข้อนี้จะเป็นการนำแบบจำลองที่ผ่านการตรวจสอบความถูกต้องไปประยุกต์ใช้ในการออกแบบ และบริหารค่าผ่านเงิน ให้มีประสิทธิภาพสูงสุด โดยใช้การจำลองสถานการณ์ในการจัดรูปแบบค่าผ่านเงินที่แตกต่างกัน เพื่อวิเคราะห์หารูปแบบที่เหมาะสมที่สุดที่จะทำให้รถใช้เวลาในการชำระค่าผ่านทางน้อยที่สุด

ทั้งนี้แบบจำลองยังสามารถช่วยในการประเมินการออกแบบและการจัดการค่าผ่านเงิน ค่าผ่านเงินในอนาคตเมื่อมีปริมาณจราจร และสัดส่วนประเภทรถเปลี่ยนแปลง ซึ่งสามารถช่วยให้หน่วยงานที่รับผิดชอบสามารถวางแผนได้มีประสิทธิภาพมากขึ้น

จุดประสงค์หลักของการพัฒนาแบบจำลองนี้เพื่อแสดงให้เห็นถึงความสามารถในการจัดรูปแบบค่าผ่านเงินที่เหมาะสมของพื้นที่กรณีศึกษา คือ ค่าผ่านเงินค่าผ่านทางบันทุนเที่ยน ทางออก 3 ที่มีตู้เก็บเงินจำนวน 6 ตู้ มีช่องให้บริการแรกค้าน้ำด้วยมือเป็นตู้สำหรับรถบรรทุก โดยการสมมติสถานการณ์ที่มีความแตกต่างกัน ไปของปริมาณจราจรที่ผ่านค่าน้ำ และสัดส่วนของผู้ใช้ระบบ ETC เพื่อเปรียบเทียบประสิทธิภาพการจัดรูปแบบค่าผ่านเงินว่ารูปแบบใดมีความเหมาะสมที่สุด

ในการศึกษานี้ได้ทำการทดลองแบบ Multi-level factorial design โดยมีตัวแปรทั้งสิ้น 3 ตัวแปร ได้แก่ ตัวแปรสัดส่วนการใช้ ETC ตัวแปรการจัดตำแหน่งค่าผ่านเงิน และตัวแปรปริมาณจราจร โดยตัวแปรที่ใช้วัดประสิทธิภาพ ในการศึกษารั้งนี้ คือ ตัวแปรความล่าช้าเฉลี่ยในการเดินทางที่เกิดจากแคลวอย (Average Queuing Delay) เป็นตัวแปรเปรียบเทียบแทน การวิเคราะห์ความยาวแคลวอย บริเวณหน้าค่าผ่านทาง เนื่องจากสามารถวิเคราะห์แยกผลกระทบของรถแต่ละประเภทที่ต้องเสียเวลาจากการรอคอยเพื่อเข้าสู่ค่าผ่านทาง ได้ ในขณะที่การวัดความยาวแคลวอยสามารถวัดความยาวแคลวอยได้เพียงความยาวแคลวอยของรถทุกประเภทที่เข้าสู่ค่าผ่านเงินค่าผ่านทางเนื่องจากรถทุกประเภทต้องใช้ช่องจราจรร่วมกันในการเข้าสู่ค่าผ่านทาง ทำให้ไม่สามารถวิเคราะห์แยกความยาวแคลวอยของรถแต่ละประเภทได้อีกทั้งเป็นการยากในการวัดความยาวแคลวอยบริเวณหน้าค่าผ่านเงินค่าผ่านทางเนื่องจากความยาวแคลวอยของรถทุกประเภทที่เข้าสู่ค่าผ่านทางมีการเปลี่ยนแปลงทุกเวลาเนื่องจากมีรถเข้าสู่ค่าผ่านทางตลอดเวลา นอกจากนี้ในงานวิจัยต่างๆที่วิเคราะห์

ประสิทธิภาพของค่าณฑ์ค่าผ่านทาง เช่น งานวิจัยของ (Al-Deek & Mohamed, 2000; Ito & Hiramoto, 2006; Kłodzinski & Al-Deek, 2002) ส่วนใหญ่ได้ใช้ตัวแปรความล่าช้าเฉลี่ยในการเดินทางที่เกิดจาก隊伍อย (Average Queuing Delay) ในการวิเคราะห์ผลกระทบจาก隊伍อยหน้าค่าณฑ์ค่าผ่านทาง ดังนั้นในการศึกษานี้จึงได้ใช้ตัวแปร ความล่าช้าเฉลี่ยในการเดินทางที่เกิดจาก隊伍อย (Average Queuing Delay) ในการวิเคราะห์ผลกระทบจาก隊伍อยหน้าค่าณฑ์ค่าผ่านทาง โดยตัวแปรความล่าช้าเฉลี่ยในการเดินทางที่เกิดจาก隊伍อย (Average Queuing Delay) เป็นเวลาที่เฉลี่ยที่รถแต่ละคันใช้ในการรอเข้าคิว隊伍อยต่อระยะทาง 1 กม.หน้าค่าณฑ์ค่าผ่านทาง จนกระทั่งรถสามารถผ่านค่าณฑ์ค่าผ่านทางไปได้ซึ่งมีหน่วยเป็น วินาที ในการทดลองครั้งนี้ได้มุ่งเน้นในช่วงสภาพจราจรสูงสุด คือ ช่วงเวลา 15:00-18:00 น. โดยในแต่ละตัวแปรจะแบ่งระดับตัวแปรย่อย ดังนี้

- 1) ตัวแปรสัดส่วนการใช้ ETC จะทำการทดลองโดยแบ่งสัดส่วนเป็น 7 ระดับ คือ สัดส่วนผู้ใช้ระบบ ETC 20%, 30%, 40%, 50%, 60%, 70% และ 80%
- 2) ตัวแปรปริมาณจราจรที่ผ่านค่าณฑ์ค่าผ่านทาง แบ่งเป็น 3 ระดับคือ
  - ปริมาณจราจร 1,000 คันต่อชั่วโมง ซึ่งเป็นตัวแทนแสดงถึงสภาพจราจรในกรณีไม่มีปัญหาการติดขัดบริเวณหน้าค่าณฑ์ค่าผ่านทาง
  - ปริมาณจราจร 2,000 คันต่อชั่วโมง ซึ่งเป็นตัวแทนแสดงถึงสภาพจราจรในปัจจุบันที่เริ่มมีความล่าช้าในการเดินทางเนื่องจากเกิดการติดขัดจาก隊伍อยในการเข้าใช้บริการค่าณฑ์ค่าผ่านทาง
  - ปริมาณจราจร 3,000 คันต่อชั่วโมง แสดงถึงสภาพจราจรสูงสุดที่การทางพิเศษแห่งประเทศไทยได้ทำการคาดการณ์ไว้เพื่อวิเคราะห์ความคุ้มทุนในการก่อสร้างโครงการ
- 3) ตัวแปรการจัดทำแผนผังคู่กับเงินแบ่งรูปแบบติดตั้ง 6 รูปแบบตามลักษณะข้อจำกัดทางภาษาภาพที่สามารถออกแบบได้ ดังตารางที่ 3.4

ตารางที่ 3.4 แสดงการกำหนดสถานการณ์การจัดตำแหน่งค่านเก็บเงิน

| จำนวนตู้ ETC | ชื่อสถานการณ์ | ตำแหน่งตู้เก็บเงิน |   |   |   |   |   |
|--------------|---------------|--------------------|---|---|---|---|---|
|              |               | 1                  | 2 | 3 | 4 | 5 | 6 |
| 1ตู้         | 1E-4          | M                  | M | M | E | M | M |
|              | 1E-5          | M                  | M | M | M | E | M |
|              | 1E-6          | M                  | M | M | M | M | E |
| 2ตู้         | 2E-3&4        | M                  | M | E | E | M | M |
|              | 2E-3&6        | M                  | M | E | M | M | E |
|              | 2E-5&6        | M                  | M | M | M | E | E |

M คือ ช่องเก็บเงินแบบ Manual

E คือ ช่องเก็บเงินแบบ ETC

เมื่อทำการรวมตัวแปรทั้งสามตัวแปรจะต้องทำการทดลองสถานการณ์ทั้งสิ้น  $7 \times 6 \times 3 = 126$  สถานการณ์ ดังตารางที่ 3.5 ซึ่งในแต่ละสถานการณ์จะมีค่าตัวแปรแต่ละสถานการณ์แตกต่างกันไป เพื่อแสดงให้เห็นถึงประสิทธิภาพการจัดช่องเก็บเงินเมื่อมีปริมาณจราจร และสัดส่วนการใช้ ETC แตกต่างกันไป

ตารางที่ 3.5 รูปแบบสถานการณ์ที่ใช้ในการประเมินประสิทธิภาพการจัดซ่องเก็บค่าผ่านทาง

| สถาน<br>การณ์<br>ที่ | ตำแหน่ง<br>ช่องเก็บเงิน | ETC | Manual | ปริมาณ<br>รถ |
|----------------------|-------------------------|-----|--------|--------------|
| 1                    | 1E-4                    | 0.2 | 0.8    | 1,000        |
| 2                    | 1E-4                    | 0.3 | 0.7    | 1,000        |
| 3                    | 1E-4                    | 0.4 | 0.6    | 1,000        |
| 4                    | 1E-4                    | 0.5 | 0.5    | 1,000        |
| 5                    | 1E-4                    | 0.6 | 0.4    | 1,000        |
| 6                    | 1E-4                    | 0.7 | 0.3    | 1,000        |
| 7                    | 1E-4                    | 0.8 | 0.2    | 1,000        |
| 8                    | 1E-4                    | 0.2 | 0.8    | 2,000        |
| 9                    | 1E-4                    | 0.3 | 0.7    | 2,000        |
| 10                   | 1E-4                    | 0.4 | 0.6    | 2,000        |
| 11                   | 1E-4                    | 0.5 | 0.5    | 2,000        |
| 12                   | 1E-4                    | 0.6 | 0.4    | 2,000        |
| 13                   | 1E-4                    | 0.7 | 0.3    | 2,000        |
| 14                   | 1E-4                    | 0.8 | 0.2    | 2,000        |
| 15                   | 1E-4                    | 0.2 | 0.8    | 3,000        |
| 16                   | E-4                     | 0.3 | 0.7    | 3,000        |
| 17                   | 1E-4                    | 0.4 | 0.6    | 3,000        |
| 18                   | 1E-4                    | 0.5 | 0.5    | 3,000        |
| 19                   | 1E-4                    | 0.6 | 0.4    | 3,000        |
| 20                   | 1E-4                    | 0.7 | 0.3    | 3,000        |
| 21                   | 1E-4                    | 0.8 | 0.2    | 3,000        |
| 22                   | 1E-5                    | 0.2 | 0.8    | 1,000        |
| 23                   | 1E-5                    | 0.3 | 0.7    | 1,000        |
| 24                   | 1E-5                    | 0.4 | 0.6    | 1,000        |
| 25                   | 1E-5                    | 0.5 | 0.5    | 1,000        |
| 26                   | 1E-5                    | 0.6 | 0.4    | 1,000        |
| 27                   | 1E-5                    | 0.7 | 0.3    | 1,000        |
| 28                   | 1E-5                    | 0.8 | 0.2    | 1,000        |
| 29                   | 1E-5                    | 0.2 | 0.8    | 2,000        |
| 30                   | 1E-5                    | 0.3 | 0.7    | 2,000        |

| สถาน<br>การณ์ที่ | ตำแหน่งช่อง<br>เก็บเงิน | ETC | Manual | ปริมาณ<br>รถ |
|------------------|-------------------------|-----|--------|--------------|
| 64               | 2E-3&4                  | 0.2 | 0.8    | 1,000        |
| 65               | 2E-3&4                  | 0.3 | 0.7    | 1,000        |
| 66               | 2E-3&4                  | 0.4 | 0.6    | 1,000        |
| 67               | 2E-3&4                  | 0.5 | 0.5    | 1,000        |
| 68               | 2E-3&4                  | 0.6 | 0.4    | 1,000        |
| 69               | 2E-3&4                  | 0.7 | 0.3    | 1,000        |
| 70               | 2E-3&4                  | 0.8 | 0.2    | 1,000        |
| 71               | 2E-3&4                  | 0.2 | 0.8    | 2,000        |
| 72               | 2E-3&4                  | 0.3 | 0.7    | 2,000        |
| 73               | 2E-3&4                  | 0.4 | 0.6    | 2,000        |
| 74               | 2E-3&4                  | 0.5 | 0.5    | 2,000        |
| 75               | 2E-3&4                  | 0.6 | 0.4    | 2,000        |
| 76               | 2E-3&4                  | 0.7 | 0.3    | 2,000        |
| 77               | 2E-3&4                  | 0.8 | 0.2    | 2,000        |
| 78               | 2E-3&4                  | 0.2 | 0.8    | 3,000        |
| 79               | 2E-3&4                  | 0.3 | 0.7    | 3,000        |
| 80               | 2E-3&4                  | 0.4 | 0.6    | 3,000        |
| 81               | 2E-3&4                  | 0.5 | 0.5    | 3,000        |
| 82               | 2E-3&4                  | 0.6 | 0.4    | 3,000        |
| 83               | 2E-3&4                  | 0.7 | 0.3    | 3,000        |
| 84               | 2E-3&4                  | 0.8 | 0.2    | 3,000        |
| 85               | 2E-5&6                  | 0.2 | 0.8    | 1,000        |
| 86               | 2E-5&6                  | 0.3 | 0.7    | 1,000        |
| 87               | 2E-5&6                  | 0.4 | 0.6    | 1,000        |
| 88               | 2E-5&6                  | 0.5 | 0.5    | 1,000        |
| 89               | 2E-5&6                  | 0.6 | 0.4    | 1,000        |
| 90               | 2E-5&6                  | 0.7 | 0.3    | 1,000        |
| 91               | 2E-5&6                  | 0.8 | 0.2    | 1,000        |
| 92               | 2E-5&6                  | 0.2 | 0.8    | 2,000        |
| 93               | 2E-5&6                  | 0.3 | 0.7    | 2,000        |

ตารางที่ 3.5 รูปแบบสถานการณ์ที่ใช้ในการประเมินประสิทธิภาพการจัดซื้องกีบค่าผ่านทาง (ต่อ)

| สถาน<br>การณ์<br>ที่ | ตำแหน่งช่องเก็บ<br>เงิน | ET<br>C | Manu<br>al | ปริมาณ<br>รถ | สถาน<br>การณ์<br>ที่ | ตำแหน่งช่องเก็บ<br>เงิน | ET<br>C | Manu<br>al | ปริมาณ<br>รถ |
|----------------------|-------------------------|---------|------------|--------------|----------------------|-------------------------|---------|------------|--------------|
| 31                   | 1E-5                    | 0.4     | 0.6        | 2,000        | 94                   | 2E-5&6                  | 0.4     | 0.6        | 2,000        |
| 32                   | 1E-5                    | 0.5     | 0.5        | 2,000        | 95                   | 2E-5&6                  | 0.5     | 0.5        | 2,000        |
| 33                   | 1E-5                    | 0.6     | 0.4        | 2,000        | 96                   | 2E-5&6                  | 0.6     | 0.4        | 2,000        |
| 34                   | 1E-5                    | 0.7     | 0.3        | 2,000        | 97                   | 2E-5&6                  | 0.7     | 0.3        | 2,000        |
| 35                   | 1E-5                    | 0.8     | 0.2        | 2,000        | 98                   | 2E-5&6                  | 0.8     | 0.2        | 2,000        |
| 36                   | 1E-5                    | 0.2     | 0.8        | 3,000        | 99                   | 2E-5&6                  | 0.2     | 0.8        | 3,000        |
| 58                   | 1E-6                    | 0.3     | 0.7        | 3,000        | 121                  | 2E-3&6                  | 0.3     | 0.7        | 3,000        |
| 59                   | 1E-6                    | 0.4     | 0.6        | 3,000        | 122                  | 2E-3&6                  | 0.4     | 0.6        | 3,000        |
| 60                   | 1E-6                    | 0.5     | 0.5        | 3,000        | 123                  | 2E-3&6                  | 0.5     | 0.5        | 3,000        |
| 61                   | 1E-6                    | 0.6     | 0.4        | 3,000        | 124                  | 2E-3&6                  | 0.6     | 0.4        | 3,000        |
| 62                   | 1E-6                    | 0.7     | 0.3        | 3,000        | 125                  | 2E-3&6                  | 0.7     | 0.3        | 3,000        |
| 63                   | 1E-6                    | 0.8     | 0.2        | 3,000        | 126                  | 2E-3&6                  | 0.8     | 0.2        | 3,000        |

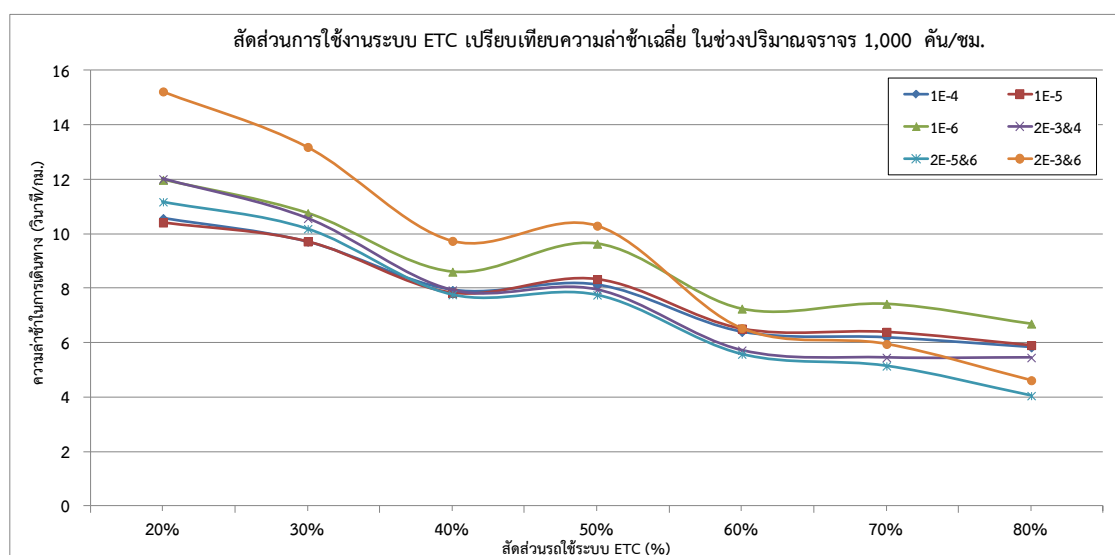
- Al-Deek, H., & Mohamed, A. (2000). SIMULATION AND EVALUATION OF THE ORLANDO-ORANGE COUNTY EXPRESSWAY AUTHORITY (OOCEA) ELECTRONIC TOLL COLLECTION PLAZAS USING TPSIM (COPYRIGHT).
- Gardes, Y., May, A. D., Dahlgren, J., & Skabardonis, A. (2002). *Freeway calibration and application of the Paramics model*. Paper presented at the 81st Annual Meeting of the Transportation Research Board, Washington, DC.
- Ito, T., & Hiramoto, T. (2006). A general simulator approach to ETC toll traffic congestion. *Journal of Intelligent Manufacturing*, 17(5), 597-607.
- Junsuwan, S. (2001). Assessment of Area Traffic Control System in Bangkok by the Microscopic Simulation Model. *Thesis for the Degree of Master, Faculty of Engineering*(Chulalongkorn University).
- Klodzinski, J., & Al-Deek, H. M. (2002). Transferability of a stochastic toll plaza computer model. *Transportation Research Record: Journal of the Transportation Research Board*, 1811(1), 40-49.
- Prabnasak, J., Yue, W. L., & Australia, S. (2001). Using aaSIDRA and PARAMICS in Evaluation of a Traffic Signal Coordination Development in Khon Kaen City, Thailand.
- Quadstone, L. (2003). *PARAMICS V4.2 Modelling for Traffic Problems V4*. Edinburgh.

## บทที่ 4

### ผลการศึกษา

เนื้อหาในบทนี้เป็นการนำเสนอผลการศึกษาที่ได้จากการพัฒนาแบบจำลองที่ผ่านการตรวจสอบความถูกต้องของแบบจำลอง เพื่อประเมินความสามารถในการจัดซ่องเก็บค่าผ่านทางในรูปแบบต่างๆ ตามที่ได้กล่าวไว้ในท้ายบทที่ 3 โดยนำผลการวิเคราะห์ที่ได้จะแสดงในรูปของความล่าช้าเฉลี่ยในการเดินทาง โดยได้แบ่งการวิเคราะห์เป็น 3 ส่วน ตามสภาพจราจรที่กำหนดสถานการณ์ขึ้น ได้แก่ สภาพปริมาณจราจรที่ 1,000 คันต่อชั่วโมง 2,000 คันต่อชั่วโมง และ 3,000 คันต่อชั่วโมง

#### 4.1 ผลการศึกษาจากการจำลองสถานการณ์ที่ปริมาณจราจร 1,000 คันต่อชั่วโมง



รูปที่ 4.1 เปรียบเทียบความล่าช้าในการเดินทาง กับสัดส่วนผู้ใช้งานระบบ ETC  
ในช่วงปริมาณจราจร 1,000 คันต่อชั่วโมง

รูปที่ 4.1 แสดงความความล่าช้าเฉลี่ยในการเดินทางผ่านด่านเก็บเงิน เปรียบเทียบกับแต่ละรูปแบบของการติดตั้งด่านเก็บเงิน และสัดส่วนการใช้ระบบ ETC ในสถานการณ์ที่มีปริมาณจราจรผ่านด่านเก็บค่าผ่านทาง 1,000 คันต่อชั่วโมง เพื่อวิเคราะห์รูปแบบที่เหมาะสมในการติดตั้งตู้เก็บเงินในสถานการณ์ต่าง ๆ จากรูปที่ 4.1 พบร่วางในกรณีที่มีสภาพจราจรอยู่ในช่วง 1,000 คันต่อชั่วโมง ด่านเก็บค่าผ่านทางยังสามารถให้บริการได้ภายใต้ความจุที่สามารถรองรับได้ทั้งในช่องแบบ Manual และช่อง ETC ทำให้มีความล่าช้าเฉลี่ยในการเดินทางน้อย โดยมีค่าอยู่ในช่วง 4-16 วินาทีต่อ กิโลเมตร

โดยลักษณะ Graf จะมีค่าความล่าช้าเฉลี่ยในการเดินทางแปรผกผันกับสัดส่วนการใช้ ETC ซึ่งชี้ให้เห็นว่าเมื่อมีสัดส่วนการใช้ ETC มากขึ้นจะช่วยให้ความล่าช้าเฉลี่ยในการเดินทางเข้าสู่ด้านเก็บเงินมีค่าลดลงในทุกรูปแบบการติดตั้งค่าผ่านทางแบบเดียวกัน เนื่องจากต้องจ่ายเงิน ตัวอย่างสภาพการจราจรบริเวณด้านเก็บเงิน แสดงดังรูปที่ 4.2



1.) รูปแบบช่องเก็บค่าผ่านทางแบบ 1E-4

2.) รูปแบบช่องเก็บค่าผ่านทางแบบ 2E-3&4

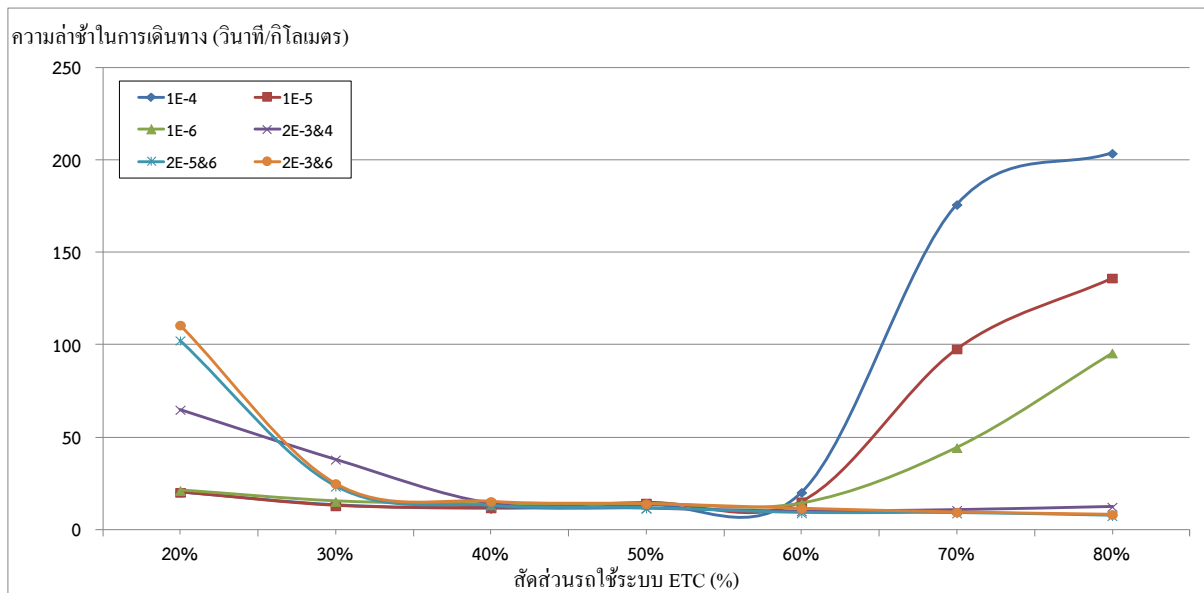
**รูปที่ 4.2** แสดงตัวอย่างสภาพการจราจรบริเวณด้านเก็บค่าผ่านทางในรูปแบบการจัดช่องเก็บค่าผ่านทางแบบ 1E-4 และ แบบ 2E-3&4 กรณีมีปริมาณจราจร 1,000 คันต่อชั่วโมง

เมื่อวิเคราะห์ความล่าช้าเฉลี่ยในการเดินทางเปรียบเทียบในกรณีที่สัดส่วนการใช้ระบบ ETC น้อยกว่า 30% พ布ว่ารูปแบบที่เหมาะสมในการติดตั้งตู้เก็บค่าผ่านทาง คือ รูปแบบการจัดตู้เก็บค่าผ่านทางแบบ ETC จำนวน 1 ตู้ เนื่องจากทำให้ความล่าช้าเฉลี่ยในการเดินทางน้อยกว่าการจัดตู้เก็บค่าผ่านทางแบบ ETC จำนวน 2 ตู้ ซึ่งเป็นผลมาจากการลดส่วนของผู้ไม่ใช้ระบบ ETC ยังมีค่ามากในขณะที่มีช่อง Manual น้อยลงจากการเพิ่มช่อง ETC เป็น 2 ตู้ เป็นผลทำให้เกิดความล่าช้าจากแฉค oy ของช่อง Manual มากขึ้น จากการจัดตู้เก็บค่าผ่านทางแบบ ETC 2 ตู้ นอกจากนี้ยังพบว่าตำแหน่งของช่อง ETC ที่มีความเหมาะสมในการจัดตู้เก็บค่าผ่านทางที่ทำให้สามารถลดความล่าช้าเฉลี่ยในการเดินทาง คือรูปแบบ 1E-4 และ 1E-5 เนื่องจากลักษณะกายภาพที่สามารถแยกช่องเดินรถระหว่างรถบรรทุกและรถส่วนตัวได้ดีกว่าทำให้เกิดการติดขัดในการเข้าช่องเก็บเงินน้อยลง

เมื่อวิเคราะห์ความล่าช้าเฉลี่ยในการเดินทางเปรียบเทียบในกรณีที่มีสัดส่วนผู้ใช้ระบบ ETC มากกว่า 70% พ布ว่า จะทำให้เกิดความล่าช้าเฉลี่ยในการเดินทางลดลง โดยความล่าช้าเฉลี่ยในการเดินทางจากการติดตั้งตู้เก็บค่าผ่านทางแบบ ETC จำนวน 1 ตู้ จะมีค่ามากกว่า การกรณีติดตั้งตู้ตู้เก็บค่าผ่านทางแบบ ETC จำนวน 2 ตู้ เนื่องจากมีสัดส่วนของรถใช้ระบบ ETC มากขึ้น ในขณะที่มีช่อง ETC เพียง 1 ตู้เป็นผลทำให้เกิดความล่าช้าจากแฉค oy ของช่อง ETC มากขึ้น นอกจากนี้ยังพบว่า ตำแหน่งที่มี

ความเหมาะสมในการจัดตู้เก็บค่าผ่านทางคือ รูปแบบ 2E-5&6 เนื่องจากทำให้ความล่าช้าเฉลี่ยในการเดินทางน้อยที่สุดและสามารถระบายน้ำในการเข้าซองเก็บเงินได้ดีกว่า

#### 4.2 ผลการศึกษาจากการจำลองสถานการณ์ที่ปริมาณจราจร 2,000 คันต่อชั่วโมง

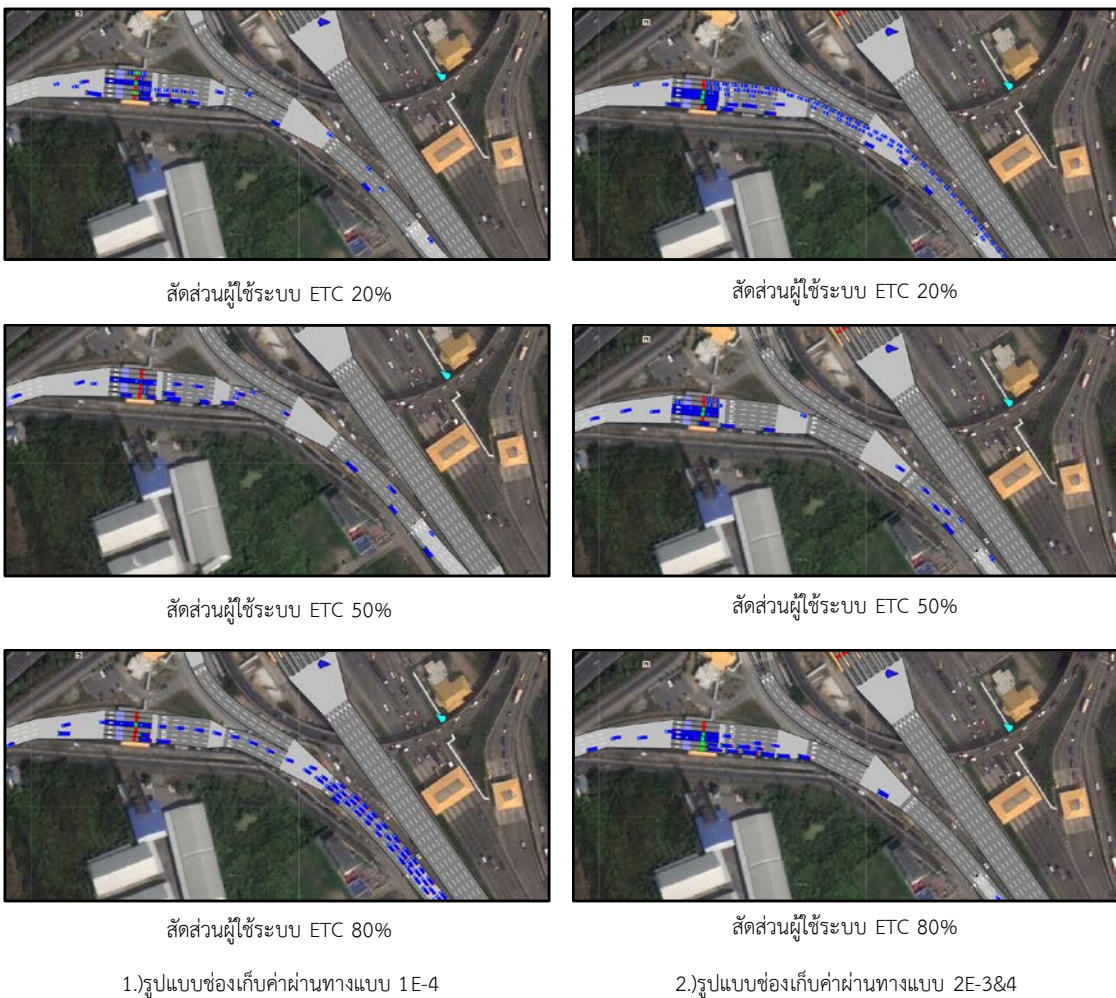


รูปที่ 4.3 เปรียบเทียบความล่าช้าในการเดินทาง กับสัดส่วนผู้ใช้งานระบบ ETC  
ในช่วงปริมาณจราจร 2,000 คัน/ชม.

รูปที่ 4.3 แสดงความความล่าช้าเฉลี่ยในการเดินทางผ่านด่านเก็บเงินของรูปแบบของการติดตั้งด่านเก็บเงินที่แตกต่างกัน เมื่อมีการเปลี่ยนแปลงสัดส่วนการใช้ระบบ ETC ในสถานการณ์ที่ปริมาณจราจร 2,000 คันต่อชั่วโมง ซึ่งมีค่าใกล้เคียงกับสภาพการจราจรในปัจจุบัน จากผลการศึกษา พบว่าในในกรณีที่สภาพจราจรอยู่ในช่วง 2,000 คันต่อชั่วโมง การจราจร ณ ด่านเก็บค่าผ่านทางเริ่มมีสภาพติดขัดมากขึ้น โดยความล่าช้าเฉลี่ยในการเดินทางผ่านด่านเก็บค่าผ่านทางอยู่ในช่วง 6-210 วินาทีต่อ กิโลเมตร สภาพการจราจรบริเวณด่านเก็บค่าผ่านทางแสดงดังรูปที่ 4.4

เมื่อวิเคราะห์เปรียบเทียบในกรณีที่มีสัดส่วนการใช้ระบบ ETC น้อยกว่า 30% พบว่ารูปแบบการจัดตู้เก็บค่าผ่านทางแบบ ETC จำนวน 2 ตู้ ทำให้ความล่าช้าเฉลี่ยในการเดินทางมากกว่าการจัดตู้เก็บค่าผ่านทางแบบ ETC เพียง 1 ตู้ เนื่องจากสัดส่วนของผู้ใช้ระบบ Manual ยังมีจำนวนมากในขณะที่มีช่อง Manual น้อยลงจากการเพิ่มช่อง ETC เป็น 2 ตู้ เป็นผลทำให้ช่อง Manual ให้บริการเกินความจุที่สามารถรองรับได้ ทำให้เกิดความล่าช้าจากแตรอกอย่างของช่อง Manual มากขึ้น นอกจากนี้เมื่อวิเคราะห์

ตำแหน่งที่มีความเหมาะสมในการจัดตู้เก็บค่าผ่านทางที่ทำให้สามารถลดความล่าช้าเฉลี่ยในการเดินทาง พนว่ารูปแบบการติดตั้งตู้เก็บค่าผ่านทางแบบ ETC จำนวน 1 ตู้ในตำแหน่งที่แตกต่างกัน ไม่ส่งผลต่อความล่าช้าเฉลี่ยในการเดินทางอย่างมีนัยสำคัญ



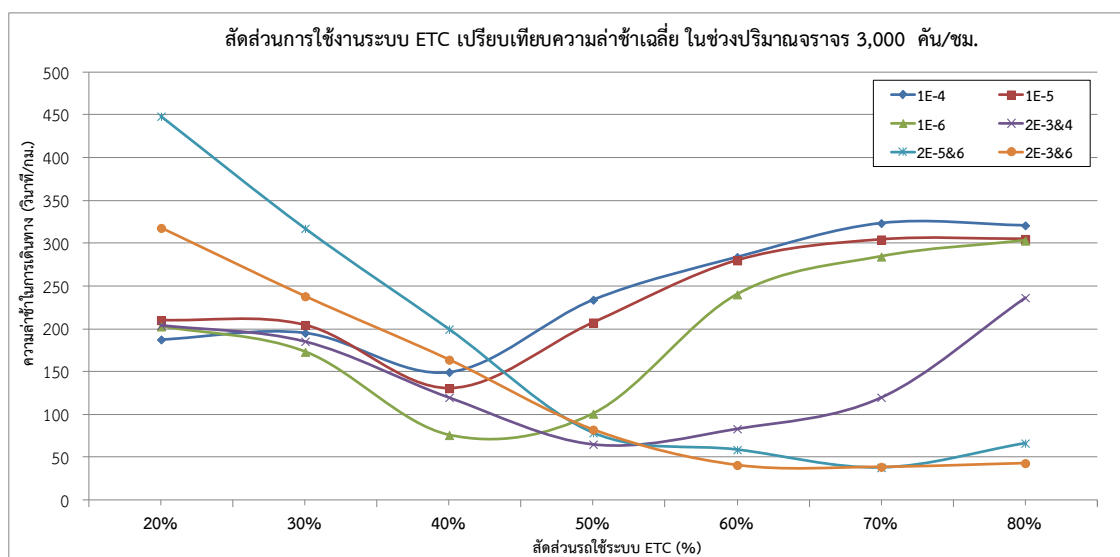
**รูปที่ 4.4** แสดงตัวอย่างสภาพจริงบริเวณด้านเก็บค่าผ่านทางในรูปแบบการจัดช่องเก็บค่าผ่านทางแบบ 1E-4 และ แบบ 2E-3&4 กรณีมีปริมาณจราจร 2,000 คัน/ชม.

เมื่อวิเคราะห์เปรียบเทียบในกรณีที่มีสัดส่วนผู้ใช้ระบบ ETC อยู่ในช่วง 40-60% พนว่ารูปแบบกรณีติดตั้งตู้เก็บค่าผ่านทางแบบ ETC จำนวน 2 ตู้ มีความล่าช้าเฉลี่ยในการเดินทางที่ลดลง ใกล้เคียงกับกรณีติดตั้งตู้เก็บค่าผ่านทางแบบ ETC 1 ตู้ เนื่องจากสัดส่วนของผู้ใช้ระบบ Manual มีค่าลดลง เป็นผลทำให้ช่อง Manual สามารถรองรับการให้บริการได้ดีขึ้นทำให้เกิดความล่าช้าจากแควรอยของช่อง Manual น้อยลง นอกจากราคาที่มีวิเคราะห์รูปแบบตำแหน่งที่มีความเหมาะสมในการจัดตู้เก็บค่าผ่านทางที่ทำให้สามารถลดความล่าช้าเฉลี่ยในการเดินทาง พนว่ารูปแบบการติดตั้งตู้เก็บค่าผ่านทางแบบ 1

ดูแลรูปแบบการติดตั้งตู้เก็บค่าผ่านทางแบบ 2 ตู้ ในแต่ละตำแหน่ง ทำให้ความล้าช้าเฉลี่ยในการเดินทางไม่แตกต่างกันอย่างมีนัยสำคัญ

เมื่อวิเคราะห์เปรียบเทียบในกรณีที่มีสัดส่วนผู้ใช้ระบบ ETC มากกว่า 70% จะทำให้รูปแบบการติดตั้งตู้เก็บค่าผ่านทางแบบ ETC 2 ตู้ มีความล่าช้าเฉลี่ยในการเดินทางลดลงจนเกือบคงที่ เนื่องจากสัดส่วนผู้ใช้ระบบ ETC มีค่ามากขึ้นและสัดส่วนผู้ใช้ระบบ Manual มีค่าลดลง ทำให้ช่อง Manual สามารถรองรับการให้บริการได้ดีขึ้น ในขณะที่ ช่อง ETC สามารถรองรับให้บริการที่เพิ่มมากขึ้นภายใต้ความจุที่สามารถรองรับได้จากการเพิ่มตู้ ETC 2 ตู้ ทำให้ความล่าช้าเฉลี่ยในการเดินทางลดลง ในขณะที่ รูปแบบการติดตั้งตู้เก็บค่าผ่านทางแบบ ETC 1 ตู้ มีความล่าช้าเฉลี่ยในการเดินทางมากขึ้น เนื่องจากสัดส่วนผู้ใช้ระบบ ETC ที่มีค่ามากขึ้น ขณะที่มีช่องเก็บค่าผ่านทางแบบ ETC เพียง 1 ตู้ เป็นผลทำให้ช่อง ETC ให้บริการเกินความจุที่สามารถรองรับได้ ทำให้เกิดความล่าช้าจากแฉะอยของช่อง ETC มากขึ้น นอกจากนี้เมื่อวิเคราะห์รูปแบบที่มีความเหมาะสมในการจัดตู้เก็บค่าผ่านทางที่ทำให้สามารถลดความล่าช้าเฉลี่ยในการเดินทาง พนว่าตำแหน่งการติดตั้งตู้เก็บค่าผ่านทางแบบ 2 ตู้ในแต่ละตำแหน่ง ทำให้ความล่าช้าเฉลี่ยในการเดินทางไม่แตกต่างกันอย่างมีนัยสำคัญ

#### 4.3 ผลการศึกษาจากการจำลองสถานการณ์ที่ปริมาณจราจร 3,000 คันต่อชั่วโมง



รูปที่ 4.5 เปรียบเทียบความล่าช้าในการเดินทาง กับสัดส่วนผู้ใช้งานระบบ ETC  
ในช่วงปริมาณจราจร 3,000 คัน/ชม.

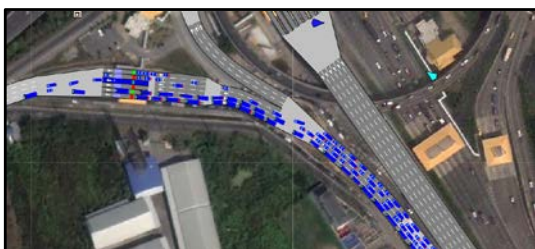
รูปที่ 4.5 แสดงความล่าช้าเฉลี่ยในการเดินทางผ่านด่านเก็บเงิน เปรียบเทียบกับแต่ละรูปแบบของการติดตั้งด่านเก็บเงิน และสัดส่วนการใช้ระบบ ETC ในสถานการณ์ที่ปริมาณจราจร 3,000 คันต่อชั่วโมง จากรูปที่ 4.5 พบร่วมกันว่าการจราจรบริเวณด่านเก็บค่าผ่านทางมีสภาพติดขัดมากขึ้น จากสภาพจราจรที่เพิ่มมากขึ้นจนเกินความจุที่ด่านเก็บค่าผ่านทางสามารถรองรับได้ ทำให้มีความล่าช้าเฉลี่ยในการเดินทางอยู่ในช่วง 45-450 วินาทีต่อ กิโลเมตร ตัวอย่างสภาพจราจรแสดงดังรูปที่ 4.6



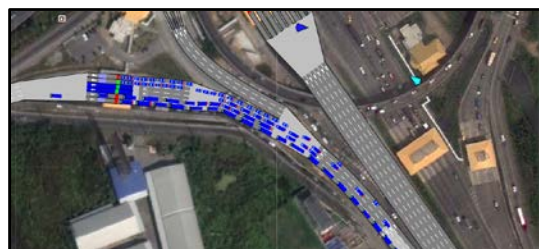
สัดส่วนผู้ใช้ระบบ ETC 20%



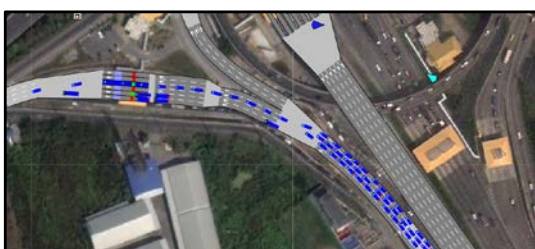
สัดส่วนผู้ใช้ระบบ ETC 20%



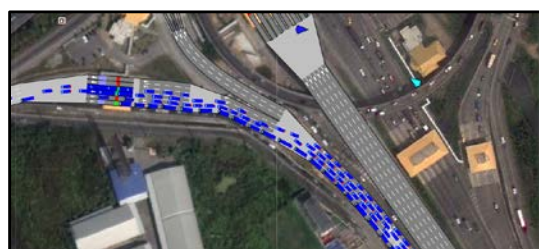
สัดส่วนผู้ใช้ระบบ ETC 50%



สัดส่วนผู้ใช้ระบบ ETC 50%



สัดส่วนผู้ใช้ระบบ ETC 80%



สัดส่วนผู้ใช้ระบบ ETC 80%

1.)รูปแบบช่องเก็บค่าผ่านทางแบบ 1E-4

2.)รูปแบบช่องเก็บค่าผ่านทางแบบ 2E-3&4

รูปที่ 4.6 แสดงตัวอย่างสภาพจราจรบริเวณด่านเก็บค่าผ่านทางในรูปแบบการจัดช่องเก็บค่าผ่านทาง

แบบ 1E-4 และ แบบ 2E-3&4 กรณีมีปริมาณจราจร 3,000 คัน/ชม.

ในกรณีที่มีสัดส่วนการใช้ระบบ ETC น้อยกว่า 30% รูปแบบการจัดตู้เก็บค่าผ่านทางแบบ ETC จำนวน 2 ตู้ จะมีความล่าช้าเฉลี่ยในการเดินทางมากกว่า รูปแบบการจัดตู้เก็บค่าผ่านทางแบบ ETC เพียง 1 ตู้ เนื่องจากสัดส่วนผู้ใช้ระบบ Manual มีค่ามาก ในขณะที่มีช่อง Manual น้อยลงจากการเพิ่มช่อง ETC เป็น 2 ตู้ เป็นผลทำให้ช่อง Manual ให้บริการเกินความจุที่สามารถรองรับได้ ทำให้เกิดความล่าช้าจากแฉค oy ของช่อง Manual มากขึ้น นอกจากนี้ยังพบว่ารูปแบบที่มีความเหมาะสมใน

การจัดตั้งเก็บค่าผ่านทางที่ทำให้สามารถลดความล่าช้าเฉลี่ยในการเดินทาง กือ รูปแบบ 1E-4 เนื่องจาก ลักษณะภัยภาพที่สามารถแยกช่องเดินรถระหว่างรถบรรทุกและรถส่วนตัวได้ดีกว่าทำให้เกิดการ ติดขัดในการเข้าซองเก็บเงินน้อยลง

ในกรณีที่มีสัดส่วนผู้ใช้ระบบ ETC อยู่ในช่วง 30-40% พบรูปแบบกรณีติดตั้งตู้เก็บค่าผ่านทางแบบ ETC 2 ตู้ มีความล่าช้าเฉลี่ยในการเดินทางที่ลดลง เนื่องจากสัดส่วนของผู้ใช้ระบบ Manual มีค่าลดลง เป็นผลทำให้ช่อง Manual สามารถรองรับการให้บริการได้ดีขึ้นทำให้เกิดความล่าช้าจากแวงค์ของ ช่องManual น้อยลง และเมื่อพิจารณา\_rูปแบบกรณีติดตั้งตู้เก็บค่าผ่านทางแบบ ETC 1 ตู้ พบรูปแบบที่มีความ ล่าช้าเฉลี่ยในการเดินทางที่ลดลงตามไปด้วย เนื่องจากสัดส่วนของผู้ใช้ระบบ Manual มีค่าลดลง เป็น ผลทำให้ช่อง Manual สามารถรองรับการให้บริการได้ดีขึ้นทำให้เกิดความล่าช้าจากแวงค์ของ ช่อง Manual น้อยลง และช่อง ETC ยังสามารถรองรับปริมาณรถที่เพิ่มมากขึ้น ได้ภายใต้ความจุที่สามารถ รองรับได้ทำให้เกิดความล่าช้าเฉลี่ยในการเดินทางน้อยลง นอกจากนี้เมื่อวิเคราะห์รูปแบบตำแหน่งที่ มีความเหมาะสมในการกำหนดตำแหน่งตู้เก็บค่าผ่านทางที่ทำให้สามารถลดความล่าช้าเฉลี่ยในการ เดินทาง พบรูปแบบการติดตั้งตู้เก็บค่าผ่านทางแบบ ETC เพียง 1 ตู้ ให้บริการได้ดีกว่ารูปแบบการ ติดตั้งตู้เก็บค่าผ่านทางแบบ ETC จำนวน 2 ตู้ โดยรูปแบบ 1E-6 เป็นตำแหน่งที่มีความเหมาะสมที่สุด เนื่องจากลักษณะภัยภาพที่สามารถแยกช่องเดินรถระหว่างรถบรรทุกและรถส่วนตัวได้ดีกว่าทำให้ เกิดการติดขัดในการเข้าซองเก็บเงินน้อยลง

ในกรณีที่มีสัดส่วนผู้ใช้ระบบ ETC มากกว่า 70% จะทำให้รูปแบบการติดตั้งตู้เก็บค่าผ่านทางแบบ ETC จำนวน 2 ตู้ มีความล่าช้าเฉลี่ยในการเดินทางลดลง เนื่องจากสัดส่วนผู้ใช้ระบบ ETC มีค่ามากขึ้น และสัดส่วนผู้ใช้ระบบ Manual มีค่าลดลง ทำให้ช่อง Manual สามารถรองรับการให้บริการได้ดีขึ้น ในขณะที่ ช่อง ETC สามารถรองรับให้บริการที่เพิ่มมากขึ้น ได้ภายใต้ความจุที่สามารถรับได้ จากการ เพิ่มตู้ ETC 2 ตู้ ทำให้ความล่าช้าเฉลี่ยในการเดินทางลดลง ในขณะที่รูปแบบการติดตั้งตู้เก็บค่าผ่าน ทางแบบ ETC 1 ตู้ มีความล่าช้าเฉลี่ยในการเดินทางมากขึ้น เนื่องจากสัดส่วนผู้ใช้ระบบ ETC ที่มีค่า มากขึ้น ขณะที่ มีช่องเก็บค่าผ่านทางแบบ ETC เพียง 1 ตู้ เป็นผลทำให้ช่อง ETC ให้บริการเกินความจุ ที่สามารถรองรับได้ ทำให้เกิดความล่าช้าจากแวงค์ของช่อง ETC มากขึ้น นอกจากนี้เมื่อวิเคราะห์ รูปแบบตำแหน่งที่มีความเหมาะสมในการจัดตั้งตู้เก็บค่าผ่านทางที่ทำให้สามารถลดความล่าช้าเฉลี่ยใน การเดินทาง พบรูปแบบการติดตั้งตู้เก็บค่าผ่านทางแบบ ETC จำนวน 2 ตู้ ให้บริการได้ดีกว่า รูปแบบการติดตั้งตู้เก็บค่าผ่านทางแบบ ETC 1 ตู้ โดยรูปแบบ 2E-3&6 และ 2E-5&6 เป็นตำแหน่งที่มี ความเหมาะสมที่สุดเนื่องจากลักษณะภัยภาพที่สามารถแยกช่องเดินรถระหว่างรถบรรทุกและรถ ส่วนตัวได้ดีกว่าทำให้เกิดการติดขัดในการเข้าซองเก็บเงินน้อยลง

## บทที่ 5

### สรุปผลการศึกษา

การวิจัยนี้ได้มุ่งเน้นการศึกษาการกำหนดจำนวนช่องเก็บเงิน และการจัดวางตำแหน่งของช่องเก็บเงิน ให้มีความเหมาะสม และเกิดประสิทธิภาพสูงสุด โดยเลือกศึกษาค่าต้นเก็บเงิน บางชุมชนเที่ยน หาอุก ของทางค่านพิเศษหมายเลข 37 ช่วงบังพลี-สุขสวัสดิ์ เป็นกรณีศึกษา ซึ่งเป็นเส้นทางสำคัญในการ กระจายสินค้าไปยังภาคใต้ของประเทศไทย เนื่องจากมีปัญหาสภาพภาระติดขัดในปัจจุบัน แม้ว่าจะมีการ ศึกษาด้วยวิธีแบบสำรวจ แต่ก็ยังไม่สามารถหาข้อมูลที่น่าเชื่อถือได้ จึงต้องใช้วิธีการเดา รวมทั้งข้อจำกัดทางด้าน พื้นที่ในการเพิ่มจำนวนช่องเก็บเงินให้สอดคล้องกับสภาพภาระในอนาคต ผลการศึกษาสามารถสรุป ได้เป็น 2 ประเด็น เกี่ยวกับพฤติกรรม สัดส่วนของผู้ใช้ทางค่านในระบบการชำระเงินแบบ ETC ในปัจจุบัน และผลสรุปจากการวิเคราะห์ผลกระบวนการเพิ่มจำนวนช่องเก็บเงินระบบ ETC และการกำหนดตำแหน่ง ที่ได้จากแบบจำลองด้วยคอมพิวเตอร์

#### 5.1 พฤติกรรมของผู้ใช้ทางค่าน ณ ค่านเก็บเงินบางชุมชนเที่ยน หาอุก ในปัจจุบัน

จากสภาพการจราจรบริเวณพื้นที่ศึกษา สรุปได้ว่า ปริมาณจราจรเฉลี่ยต่อวันในช่วง 1 สัปดาห์ พบว่า ว่า ประจำวัน มีปริมาณจราจรมากในช่วงวันจันทร์ และวันศุกร์ เนื่องจากมีปริมาณรถที่วิ่งจากภาค ตะวันออกไปยังภาคใต้เป็นจำนวนมากในช่วงก่อนวันหยุดสุดสัปดาห์ และหลังวันหยุดสุดสัปดาห์ โดยช่วงเวลาที่มีปริมาณจราจรสูงสุดในแต่ละวัน อยู่ระหว่างเวลา 15:00 – 18:00 น. ในช่วงชั่วโมง เร่งด่วนจะมีรถเข้าใช้บริการ ณ ค่านเก็บค่าผ่านทางเฉลี่ย 1,655 กันต่อชั่วโมง แบ่งออกตามประเภทรถ คือ รถยนต์ส่วนบุคคล รถบรรทุก และรถใช้ระบบ ETC โดยมีสัดส่วนรถที่ผ่านค่านเก็บเงินเป็น รถยนต์ส่วนบุคคลประมาณ 54 % รถบรรทุกประมาณ 24 % รถใช้ระบบ ETC ประมาณ 22 %

#### 5.2 การพัฒนาแบบจำลอง

การศึกษานี้ได้พัฒนาแบบจำลองด้วยโปรแกรม Aimsun ซึ่งเป็นแบบจำลองการจราจรระดับ ชุมชน จำลองการทำงานด้วยระบบคอมพิวเตอร์ที่แสดงลักษณะการเคลื่อนตัวของယอดขายแต่ละคัน ในระบบโครงข่ายถนน เพื่อแสดงสภาพการจราจรบริเวณหน้าช่องเก็บเงินค่าผ่านทาง ที่แบร์เพนตาม สัดส่วนพฤติกรรมของผู้ใช้บริการทางพิเศษ ในการตัดสินใจเลือกชำระเงินค่าผ่านทางด้วยช่องเก็บ เงินอัตโนมัติ (ETC) รวมทั้งจำนวนและตำแหน่งช่องเก็บเงินค่าผ่านทางที่ออกแบบ ภายใต้ข้อจำกัด ทางค่านเรขาคณิต เพื่อตรวจสอบการออกแบบค่านเก็บค่าผ่านทางให้มีประสิทธิภาพมากที่สุด

ในการศึกษาได้ทำการเก็บข้อมูลปริมาณรถที่เข้าสู่ค่าผ่านทาง เพื่อตรวจสอบ และปรับเทียบ แบบจำลองที่พัฒนา เพื่อให้แบบจำลองที่สร้างขึ้นสามารถสะท้อนสภาพการจราจรที่แท้จริงของพื้นที่ ศึกษาแต่ละพื้นที่ให้ใกล้เคียงที่สุดเท่าที่จะทำได้ เพื่อให้ผลลัพธ์จากการวิเคราะห์หรือประเมิน ประสิทธิภาพแนวทางแก้ไขปัญหาระยะรด้วยแบบจำลองมีระดับความถูกต้องน่าเชื่อถือสูง

ในการศึกษานี้ได้ทำการทดลองแบบ Multi-level factorial design โดยมีตัวแปรทั้งสิ้น 3 ตัวแปร ได้แก่ ตัวแปรสัดส่วนการใช้ ETC จำนวน 7 ค่า ตัวแปรการจัดตำแหน่งค่าผ่านเก็บเงิน 6 รูปแบบ และตัวแปร ปริมาณจราจรจำนวน 3 ค่า รวมสถานการณ์จำลองทั้งสิ้น 126 สถานการณ์ โดยตัวแปรที่ใช้วัด ประสิทธิภาพ ใน การศึกษาครั้งนี้ คือตัวแปรด้านความล่าช้าเฉลี่ยในการเดินทาง (Average Total Travel Delay) ซึ่งเป็นตัวแปรที่ชี้ให้เห็นถึงความล่าช้าในการเดินทางจากสภาพการติดขัดในการเดินทางผ่านค่าผ่านเก็บเงิน

### **5.3 การประเมินผลจากการเพิ่มจำนวนและการกำหนดตำแหน่งของค่าผ่านเก็บเงินอัตโนมัติ**

ผลการวิเคราะห์จากการพัฒนาแบบจำลองที่ผ่านการประมวลผลความถูกต้องของแบบจำลอง เพื่อประเมินรูปแบบและความสามารถในการจัดช่องเก็บค่าผ่านทางในแต่ละมาตรการ เพื่อ ประเมินผลด้านจราจรในพื้นที่ศึกษาซึ่งจะแสดงในรูปของความล่าช้าเฉลี่ยในการเดินทาง โดยได้แบ่ง การวิเคราะห์ 3 ส่วน ตามสภาพจราจรที่กำหนดสถานการณ์ขึ้น ได้แก่ สภาพปริมาณจราจรที่ 1,000 กันต่อชั่วโมง 2,000 กันต่อชั่วโมง และ 3,000 กันต่อชั่วโมง

#### **5.3.1 การเพิ่มจำนวนช่องเก็บเงินอัตโนมัติ**

ประสิทธิภาพที่ได้จากการจำลองสถานการณ์ที่ปริมาณจราจร 1,000 กันต่อชั่วโมง ซึ่งเป็น สภาพจราจรที่ปริมาณจราจน้อยกว่าความจุของช่องเก็บค่าผ่านทางที่สามารถรองรับได้ทั้งในช่อง แบบ Manual และช่อง ETC จากผลการวิเคราะห์พบว่า ความล่าช้าเฉลี่ยในการเดินทางจะมีแนวโน้ม ลดลงเมื่อสัดส่วนผู้ใช้ระบบ ETC มีค่ามากขึ้น และเมื่อวิเคราะห์ประสิทธิภาพการจัดรูปแบบการ ติดตั้งตู้เก็บค่าผ่านทาง พบร่วมกับรูปแบบการติดตั้งตู้เก็บค่าผ่านทางแบบ ETC 1 ตู้ และรูปแบบการจัดตู้ เก็บค่าผ่านทางแบบ ETC 2 ตู้ จะให้เกิดความล่าช้าจากการเดินทางผ่านค่าผ่านเก็บค่าผ่านทางไม่แตกต่าง กันมากนัก เนื่องจากค่าผ่านเก็บค่าผ่านทางทั้งสองระบบยังสามารถรองรับการให้บริการได้ ทำให้ไม่เกิด การติดขัดจากแควนอยในการเข้าใช้บริการค่าผ่านเก็บค่าผ่านทางนอกจากนี้ความล่าช้าเฉลี่ยในการ เดินทางจะมีแนวโน้มลดลงเมื่อสัดส่วนผู้ใช้ระบบ ETC มากขึ้น และเมื่อเปรียบเทียบความเหมาะสม ในการออกแบบช่องเก็บค่าผ่านทางพบว่า รูปแบบการจัดตู้เก็บค่าผ่านทางแบบ ETC 1 ตู้ เหมาะสม

สำหรับกรณีที่มีสัดส่วนผู้ใช้ระบบ ETC น้อยกว่า 30% และรูปแบบการจัดตู้เก็บค่าผ่านทางแบบ ETC 2 ตู้ หมายความสำหรับกรณีที่มีสัดส่วนผู้ใช้ระบบ ETC มากกว่า 30%

ประสิทธิภาพที่ได้จากการจำลองสถานการณ์ที่ปริมาณจราจร 2,000 คัน/ชั่วโมง เป็นสภาพจราจรที่ปริมาณจราจรจริงที่เริ่มน้ำหนักตัวในการเดินทางเนื่องจากเกิดการติดขัดจากจราจรและคุณภาพในการเข้าใช้บริการด้านเก็บค่าผ่านทาง จากผลการวิเคราะห์แสดงให้เห็นว่า รูปแบบการจัดตู้เก็บค่าผ่านทางแบบ ETC จำนวน 1 ตู้ จะให้บริการได้ดีเมื่อสัดส่วนผู้ใช้ระบบ ETC น้อยกว่า 60% และเมื่อมีสัดส่วนผู้ใช้ระบบ ETC มากกว่า 60% จะทำให้เกิดความล่าช้าเฉลี่ยในการเดินทางมากขึ้นจากการติดขัดของจราจรและคุณภาพในช่อง ETC ในส่วนของรูปแบบการจัดตู้เก็บค่าผ่านทางแบบ ETC จำนวน 2 ตู้ จะให้บริการได้ดีเมื่อสัดส่วนผู้ใช้ระบบ ETC มากกว่า 40%

ประสิทธิภาพที่ได้จากการจำลองสถานการณ์ที่ปริมาณจราจร 3,000 คันต่อชั่วโมง เป็นสภาพจราจรที่ปริมาณจราจรมีการติดขัดจากจราจรและคุณภาพในการเข้าใช้บริการด้านเก็บค่าผ่านทาง จากผลการวิเคราะห์แสดงให้เห็นว่า รูปแบบการจัดตู้เก็บค่าผ่านทางแบบ ETC จำนวน 1 ตู้ จะให้บริการได้ดีเมื่อสัดส่วนผู้ใช้ระบบ ETC น้อยกว่า 40% ในส่วนของรูปแบบการจัดตู้เก็บค่าผ่านทางแบบ ETC จำนวน 2 ตู้ จะให้บริการได้ดีเมื่อสัดส่วนผู้ใช้ระบบ ETC มากกว่า 40%

สรุปการเพิ่มจำนวนช่องเก็บเงินแบบอัตโนมัติ นั้นต้องพิจารณาถึงปริมาณรถที่เข้าสู่ด่านเก็บค่าผ่านทางต่อชั่วโมง และสัดส่วนของผู้ใช้ ETC ทั้ง 2 ปัจจัยจะมีความสัมพันธ์กับการเพิ่มขึ้นของความล่าช้าเฉลี่ยในการเดินทาง ทั้งนี้การเพิ่มช่องเก็บเงินอัตโนมัติ จำนวน 1 ช่อง จะส่งผลต่อประสิทธิภาพการทำงานของด่านเก็บค่าผ่านทางโดยทำให้มีการลดลงของความล่าช้าเฉลี่ยในการเดินทางภายใต้ปริมาณรถที่ใช้ระบบ ETC ไม่เกิน 1,200 คันต่อชั่วโมง และความเหมาะสมของ การเพิ่มช่องเก็บเงินอัตโนมัติ จำนวน 2 ช่อง จะทำให้การทำงานโดยรวมของด่านเก็บค่าผ่านทางมีประสิทธิภาพสูงสุดในการรองรับปริมาณจราจรของรถที่ใช้ระบบ ETC อยู่ 1,200 ถึง 1,800 คันต่อชั่วโมง โดยหากมีการเพิ่มขึ้นของปริมาณจราจรที่เข้าสู่ด่านเก็บค่าผ่านทาง และปริมาณผู้ใช้ระบบ ETC มากขึ้น จะต้องพิจารณาปรับเพิ่มจำนวนช่องเก็บค่าผ่านทางอัตโนมัติให้มากขึ้น

### 5.3.2 การกำหนดตำแหน่งของช่องเก็บค่าผ่านทางอัตโนมัติ

ในการศึกษาการกำหนดตำแหน่งของช่องของช่องเก็บค่าผ่านทางอัตโนมัติ ว่ามีผลกระทบต่อความล่าช้าเฉลี่ยจากการเดินทางผ่านด่านเก็บเงิน พบว่า หากมีการเพิ่มจำนวนช่องเก็บค่าผ่านทางอัตโนมัติ เพียง 1 ช่อง เมื่อกำหนดให้ตำแหน่งของช่อง ETC อยู่ด้านขวา จะทำให้ความล่าช้าเฉลี่ยต่ำกว่าการวาง

ไว้ในตำแหน่งอื่นๆ เนื่องจากสามารถแยกช่องเดินรถระหว่างรถบรรทุก และรถส่วนตัวได้ดีกว่าทำให้เกิดการติดขัดในการเข้าช่องเก็บเงินน้อยลง แต่เมื่อปริมาณรถที่เข้าสู่ค่าผ่านทางเพิ่มขึ้น และมีสัดส่วนรถที่ใช้ ETC สูงขึ้นอยู่ในเกณฑ์ที่เหมาะสมสำหรับเพิ่มช่อง ETC เป็น 2 ช่องนั้น การกำหนดให้ช่อง ETC อยู่ช่องขวาสุด 1 ช่องและช่องตรงกลาง 1 ช่อง (ช่องที่ 3 และ 6) จะทำให้มีความล่าช้าเฉลี่ยในการเดินทางผ่านค่าผ่านทางเพิ่มขึ้นกว่าการกำหนดตำแหน่งรูปแบบอื่น

สรุปได้ว่า การปรับเปลี่ยนตำแหน่งของช่องเก็บค่าผ่านทางอัตโนมัติส่งผลต่อความล่าช้าเฉลี่ยในการเดินทาง ภายใต้สถานการณ์ที่มีปริมาณจราจรแตกต่างกัน โดยหากมีช่องเก็บค่าผ่านทางระบบ ETC 1 ช่องพบว่าการวางแผนตำแหน่งช่องเก็บค่าผ่านทางขวาสุดจะทำให้ความล่าช้าเฉลี่ยต่ำกว่าการวางแผนตำแหน่งอื่นๆ และหากเพิ่มช่อง ETC เป็น 2 ช่องนั้น การกำหนดให้ช่อง ETC อยู่ช่องขวาสุด 1 ช่องและช่องตรงกลาง 1 ช่อง (ช่องที่ 3 และ 6) จะทำให้มีความล่าช้าเฉลี่ยในการเดินทางผ่านค่าผ่านทางเพิ่มขึ้น ทั้งนี้ เพื่อให้เกิดความเป็นไปได้ในการปฏิบัติและมีประสิทธิภาพในการทำงานสูงสุด ช่องเก็บค่าผ่านทางควรสามารถใช้งานสับเปลี่ยนระบบการทำงานได้ทั้งระบบ Manual และระบบ ETC

## บรรณานุกรม

มานพ วราภักษ์ (2550), การจำลอง, พิมพ์ครั้งที่ 1, สำนักพิมพ์แห่งจุฬาลงกรณ์มหาวิทยาลัย,  
กรุงเทพมหานคร.

อนุชา หริัญญ์วัฒน์, กระบวนการแบบจำลองปัญหา, (บทความอิเลคทรอนิกส์) มหาวิทยาลัยเทคโนโลยี  
พระจอมเกล้าพระนครเหนือ ที่มา: [http://www.thaimht.net/knowledge\\_detail.php?id=14](http://www.thaimht.net/knowledge_detail.php?id=14)

AIMSUN's Microsimulator User's Manual Version 5.1. (2006). Barcelona: Transport Simulation  
Systems.

Al-Deek, H. M. (2001). Analyzing performance of ETC plazas using new computer software.  
*Journal of computing in civil engineering*, 15(4), 309-319.

Chao, X. (2000). Design and evaluation of toll plaza systems. *Department of Industrial and  
Manufacturing Engineering New Jersey Institute of Technology*.

Gardes, Y., May, A. D., Dahlgren, J., & Skabardonis, A. (2002). Freeway calibration and  
application of the Paramics model. Paper presented at the 81st Annual Meeting of the  
Transportation Research Board, Washington, DC.

Gerlough, D. L., & Huber, M. J. (1976). Traffic flow theory-A Monograph. Special Report 165,  
Transportation Research Board.

Gross, D., & Harris, C. M. (1998). *Fundamentals of queuing theory*: Wiley New York.

Ito, T. (2005). Process simulation approach to design and evaluation of toll plaza with etc gates.  
*International Journal of Simulation*, 6(5), 14-21.

ITS, University of Leeds (GB). (2000). "SMARTEST: Final Report for Publication", Available  
on <http://www.its.leeds.ac.uk/projects/smarest/finalrep.PDF>

Junsuwan, S. (2001). Assessment of Area Traffic Control System in Bangkok by the Microscopic  
Simulation Model. Thesis for the Degree of Master, Faculty of Engineering(Chulalongkorn  
University).

Poon, N., & Dia, H. (2005). *Evaluation of toll collection performance using traffic simulation*.  
Paper presented at the conference of Australian Institutes of Transport Research (CAITR),  
27th, Brisbane, Queensland, AUSTRALIA.

- Prabnasak, J., Yue, W. L., & Australia, S. (2001). Using aaSIDRA and PARAMICS in Evaluation of a Traffic Signal Coordination Development in Khon Kaen City, Thailand.
- Quadstone, L. (2003). PARAMICS V4.2 Modelling for Traffic Problems V4. Edinburgh.
- Schaufler, A. E. (1997). *Toll plaza design*, National Cooperative Highway Research Program, Synthesis of Highway Practice, 240, Transportation Research Board. Washington, D.C.
- Van Dijk, N. M., Hermans, M. D., Teunisse, M. J., & Schuurman, H. (1999). *Designing the westerscheldetunnel toll plaza using a combination of queueing and simulation*. Paper presented at the Simulation Conference Proceedings, 1999 Winter.

## ประวัติผู้วิจัย

นางกานุจักร ลุองคง เกิดวันที่ 19 ตุลาคม พ.ศ.2520 ได้รับทุนพัฒนาอาจารย์วิทยาเขตสารสนเทศ จากมหาวิทยาลัย ปีงบประมาณ 2545 เพื่อศึกษาระดับบัณฑิต สาขาวิชาวิศวกรรมขนส่ง มหาวิทยาลัยเทคโนโลยีพระจอมเกล้าธนบุรี เมื่อปี พ.ศ. 2547 ได้มีโอกาสเข้าร่วมทำงานกับบริษัทเอก-ชั้นดิสทริบิวชั่น จำกัด ในตำแหน่งนักวิเคราะห์การขนส่ง (Transport Analyst) เป็นระยะเวลา 1 ปี และได้รับการบรรจุเข้าเป็นพนักงานของรัฐ ในตำแหน่งอาจารย์ประจำสาขาวิชาวิศวกรรมขนส่ง สำนักวิชา วิศวกรรมศาสตร์ มหาวิทยาลัยเทคโนโลยีสุรนารี จังหวัดนครราชสีมาในวันที่ 4 มกราคม พ.ศ. 2549 มีความสนใจในการเกี่ยวกับการบริหารจัดการระบบขนส่งสินค้า และมีความสนใจที่จะศึกษาในงานเกี่ยวกับการวางแผน บริหารระบบขนส่งสาธารณะ